

**REPUBLIKA E SHQIPËRISË  
BASHKIA TIRANE**



**RAPORTI TEKNIK I LLOGARITJES  
STRUKTURORE TE MUREVE PRITESE –  
QENDRUESHMERISE SE SKARPATAVE  
DHE PILOTAVE**

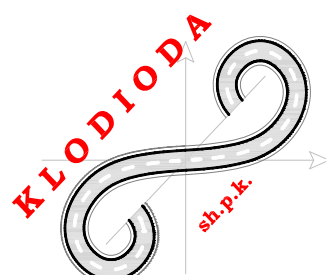
**STUDIM – PROJEKTIM**

**“NDËRTIMI I RRUGËS LIDHËSE MIDIS SHESHIT FREDERIK  
SHOPEN DHE RRUGES KOSOVARE”**

**PROJEKT ZBATIM**

**KLODIODA SH.P.K.**

Rr. Barrikadave P.118  
Kati III – Zyra Nr.2  
Tiranë – Shqipëri  
Tel: 06940 43470  
Email: [klodioda@yahoo.com](mailto:klodioda@yahoo.com)  
Email: [klodioda@gmail.com](mailto:klodioda@gmail.com)



**“JANAR 2019”**

## Hyrje

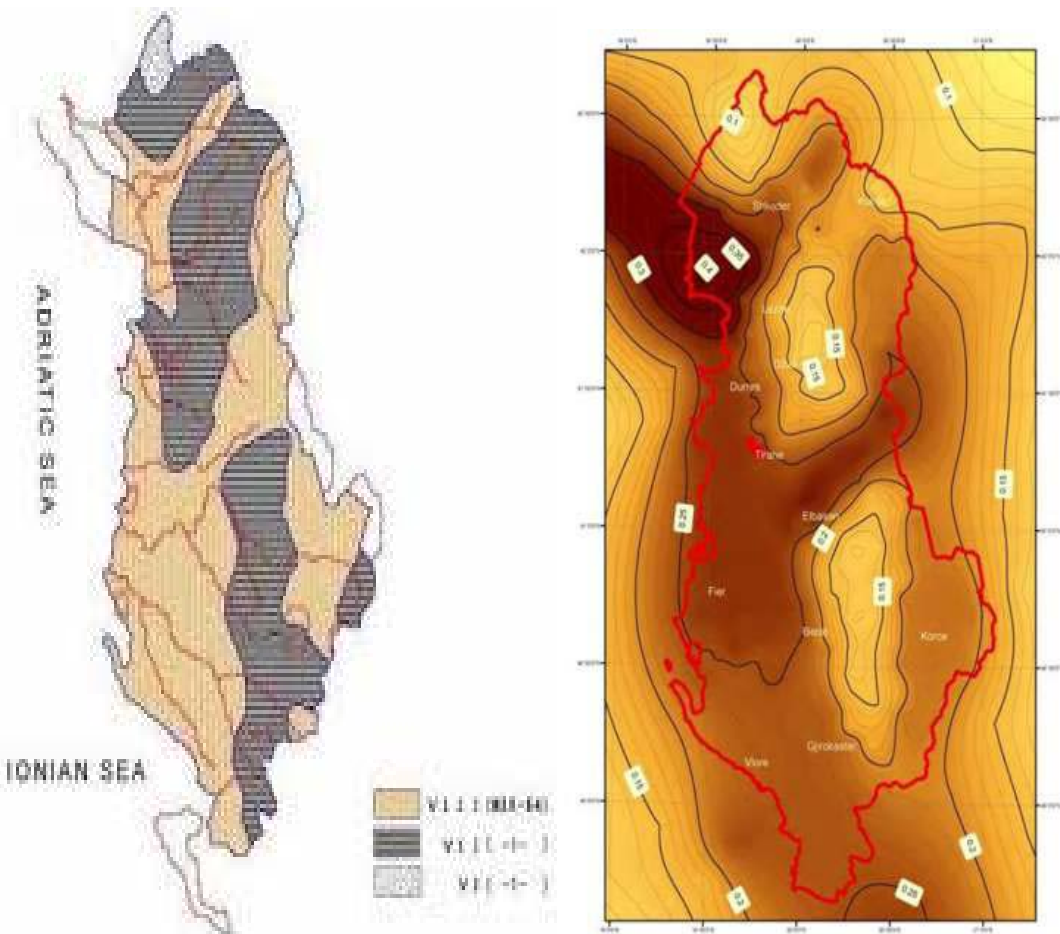
Strukturat e veprave te artit, te cilat perfshihen ne kete projekt, jane konceptuar, dimensionuar apo llogaritur referuar Rregullave Teknike te Projektimit te Veprave te Artit si Shqiptare ashtu edhe atyre Europeane (Eurocodeve)

## Gjeologja

Per percaktimin e kuotes se bazamentit ku do ndertohen objekti, jemi mbeshtetur ne rekomandimet e raportit gjeologo-inxhinierik.

## Sizmiciteti

Per percaktimin e sizmicitetit te zones ku shtrihet sheshi i ketyre strukturave, jemi mbeshtetur ne harten e rajonizimit sizmik sipas hartës të vitit '78, (referuar KTP-N.2-89) si dhe ne "Hartën e ripunuar te nxitimeve maksimale referencë në truall të Tipit A" Tirane 2010, me autor Aliaj, Sh.; Koçi, S.; Muço, B.; Sulstarova, E.. Sipas ketij rapporti, sheshi i ndertimit te perfshihet ne zonen me Intensitet Sizmik te shkalles 7.5-8.0 ( $a/g = 0.2-0.25$ ), i cili i perket zones 2 sipas Eurocode 8.



## ASPEKTE TEORIKE MBI I LLOGARITJEN E MUREVE MBAJTESE/PRITESE

### Llogaritjet numerike

Llogaritjet e mureve mbajtes dhe prites do realizohen ne nje nga softet komerciale , i cili ofron mundesine e llogaritjeve referuar normative se vjeter (sipas tensioneve te lejuara) dhe asaj te re, mbeshtetur ne Eurocode 7 (sipas gjendjes kufitare te fundme). Ne skeden llogariteze ofrohen mundesite e realizimit te verifikimeve per:

- a) Gjendjen kufitare te ekilibrit, si trup rigjid (EQU)
  - b) Gjendjen kufitare te rezistences se struktures (STR)
  - c) Gjendjen kufitare te rezistences se terrenit (GEO)
- ku, per secilin tit e verifikimit ndryshojne koeficientat e sigurise (referuar EC7).

### Materialet

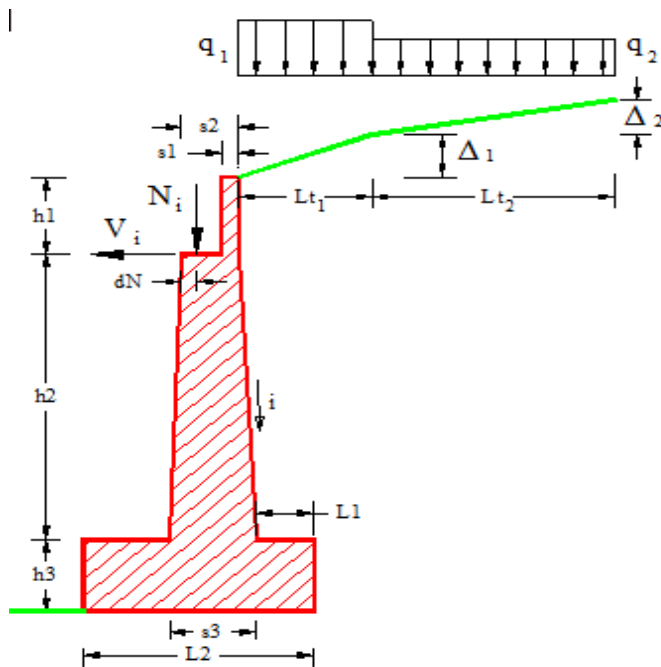
Muret mbajtes apo prites do realizohen prej betoni te armuar me beton C25/30 dhe hekur S-500s

### Gjeometria e murit

Ne llogaritje, dimensionet e murit jane marre duke bere nje perafrim te seksionit real me ate llogarites. Shmangja e dimesioneve te marra per murin ne llogaritje ne krahasim me dimensionet e paraqitura ne vizatimin ekzekutiv eshte i paperfillshem dhe ne favor te sigurise. Llogaritjet jane kryer duke iu referuar njesise se gjatesise se murit (d.m.th -1ml mur.)

### Karakteristikat e mbushjes pas murit

Ne zonen e mbushjes, parashikohet te vendoset material me veti te mira drenazhuese (konsistenca e klasses A1-A2) dhe me kend ferkimi te brendshem te materialit jo me te vogel se  $\varphi =30^{\circ}$ . Ne kete zone, ne varesi te kushteve te ngarkimit do aplikohet ose jo ngarkese shtese (ne rastin e mureve mbajtes, aplikohet ngarkesa e mjeteve levizese, etj).



### Karakteristikat e terrenit dhe bazamentit mbeshtetes

Karakteristikat e terrenit te bazamentit mbeshtetes lidhet me peshen volumore te materialit poshte themelit, me kedin e ferkimit te brendshem te terrenit me themelin, kedin e ferkimit terrenit me themelin si dhe kohezionin e terrenit.

Gjate verifikimeve ndër parametrat gjeoteknikë që merren në konsiderat Jane:

- $\phi$  – kendi i ferkimit te rendshem te materialit [grade]
- $\delta$  – kendi i ferkimit terren-mure. Normalisht pranohet  $\delta < 2/3 \phi$ .
- $\phi_f$  – kendi i ferkimit themel-bazament
- $\gamma_t$  - pesha volumore e mbushjes mbas murit, terrenit
- $\gamma_m$  – pesha volumore e materialit te murit

### **Percaktimi i parametrave te zones sizmike**

Ashtu sic u pasqyrua edhe tek pjesa e ngarkesave dhe veprimeve ne veprat e artit, edhe ne rastin e mureve mbajtese dhe pritese, per percaktimin e sizmicitetit te zones ku shtrihet sheshi i ketyre strukturave, jemi mbeshtetur ne harten e rajonizimit sizmik sipas hartës të vitit '78, (referuar KTP-N.2-89) si dhe ne "Hartën e ripunuar te nxitimeve maksimale referencë në truall të Tipit A" Tirane 2010, me autor Aliaj, Sh.; Koçiu, S.; Muço, B.; Sulstarova, E.. Sipas ketij reporti, sheshi i ndertimit te perfshihet ne zonen me Intensitet Sizmik te shkalles 7.5-8.0 (nxitimi maksimal horizontal i sheshit  $a_{max}/g = 0.20-0.25$ ), i cili i perket zones 2 sipas Eurocode 8.

Kategorite e truallit Jane marre konform mormave europiane EC.7 ; D.M/2008, te cilin ben një klasifikim per terrenin ne klasat A,B,C,D,E, ne funksion te formacionit dhe parametrave gjeoteknikë  $V_{30s}$ ,  $N_{SPT}$ ,  $C_u$ , .etj

Ashtu sic cituam mesiper, nen veprimin e presioneve te dheut, presioni shtese nga veprimi sizmik, mbeshtetur ne metoden pseudo-statike, merret sipas drejtimeve horizontale dhe vertikale ne reference te koeficientave perkates dinamik  $k_h$ ,  $k_v$ , te cilat percaktohen nga shprehjet e meposhtme

$$k_h = \beta_m \cdot a_{max}/g \quad k_v = \pm 0.5 k_h$$

ku:

$a_{max} = S * a_g = S_s * S_T * a_g$  - eshte nxitimi maksimal horizontal i sheshit;

$a_g$  - eshte nxitimi maksimal horizontal i sheshit ne terren rigid (kategoria A-shkemb);

$S_s, S_T$  - jane koeficiente te amplifikimit te shtresezimit topografik

$S$  - eshte faktori i te spektrit reagimit elastik

$g$  - nxitimi i renies se lire

$\beta_m$  - koeficient i reduktimit te nxitimit maksimal, i cili merret ne funksion te kategorise se tokes dhe nxitimit maksimal  $a_g$

$\beta_m$  si ricava dalla

**Tabella 7.11.II**



Categoria di sottosuolo	
A	B, C, D, E
$\beta_m$	$\beta_m$
$0.2 < a_g(g) \leq 0.4$	0,31
$0.1 < a_g(g) \leq 0.2$	0,29
$a_g(g) \leq 0.1$	0,20

Categ. suolo fond.	s
A	1,00
B	1,25
C	1,25
D	1,35
E	1,25

Per mure/struktura te cilat nuk Jane ne gjendje te pranojne spostime relative  $\beta_m = 1$ .

Pika e aplikimit te veprimit sizmik ne struktura te lira (psh parete vertikale fleksibile-konsol), te cilat mund te rrotullohen/spostohen, ne te njejtene pike ku vepron edhe presioni statik i dheut. Ne raste te tjera, ne mungese te studimeve specifike, ne mesin e lartesise se murit/paretit.

Per rastin tone kemi:

$$K_h = \beta_m * a_g * S_s * S_T = 0.31 * 0.25 * 1.25 * 1 = 0.0999 \text{ (referuar parametrave te mesiperm)}$$

$$K_v = 0.5 * K_h = 0.5 * 0.0999 = 0.050$$

### Percaktimi i koeficientit te shtytjes aktive dhe pasive

Per percaktimin e koeficientave te shtytjes aktive dhe pasive, ne situata josizmike, shfrytezohen relacionet e meposhtme (te autoreve Coulomb dhe Rankine):

COULOMB

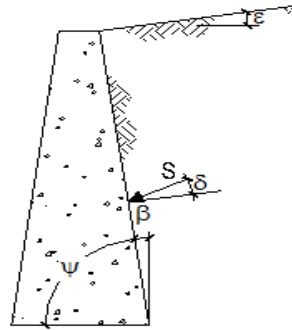
$$k_a = \frac{\sin^2(\psi + \phi')}{\sin^2\psi \cdot \sin(\psi - \delta) \left[ 1 + \sqrt{\frac{\sin(\phi' + \delta) \cdot \sin(\phi' - \varepsilon)}{\sin(\psi - \delta) \cdot \sin(\psi + \varepsilon)}} \right]^2}$$

$$k_p = \frac{\sin^2(\psi - \phi')}{\sin^2\psi \cdot \sin(\psi + \delta) \left[ 1 - \sqrt{\frac{\sin(\phi' + \delta) \cdot \sin(\phi' + \varepsilon)}{\sin(\psi + \delta) \cdot \sin(\psi + \varepsilon)}} \right]^2}$$

RANKINE ( $\psi = 90^\circ$ )

$$k_a = \frac{\cos \varepsilon - \sqrt{\cos^2 \varepsilon - \cos^2 \phi'}}{\cos \varepsilon + \sqrt{\cos^2 \varepsilon - \cos^2 \phi'}}$$

$$k_p = \frac{\cos \varepsilon + \sqrt{\cos^2 \varepsilon - \cos^2 \phi'}}{\cos \varepsilon - \sqrt{\cos^2 \varepsilon - \cos^2 \phi'}}$$



Koeficienti i shtytjes (aktive dhe pasive) ne situata sizmike llogaritet sipas shprehjes te Mononobe-Okave, si ne vijim:

$$\text{per } \varepsilon \leq \phi' - \theta \quad k_a = \frac{\sin^2(\psi + \phi' - \theta)}{\cos \theta \cdot \sin^2\psi \cdot \sin(\psi - \theta - \delta) \left[ 1 + \sqrt{\frac{\sin(\phi' + \delta) \cdot \sin(\phi' - \varepsilon - \theta)}{\sin(\psi - \theta - \delta) \cdot \sin(\psi + \varepsilon)}} \right]^2}$$

$$\text{per } \varepsilon > \phi' - \theta \quad k_a = \frac{\sin^2(\psi + \phi' - \theta)}{\cos \theta \cdot \sin^2\psi \cdot \sin(\psi - \theta - \delta)}$$

$$k_p = \frac{\sin^2(\psi + \phi' - \theta)}{\cos \theta \cdot \sin^2\psi \cdot \sin(\psi + \theta) \left[ 1 - \sqrt{\frac{\sin \phi' \cdot \sin(\phi' + \varepsilon - \theta)}{\sin(\psi + \varepsilon) \cdot \sin(\psi + \theta)}} \right]^2}$$

$$1. \theta = \arctan \left( \frac{k_h}{1 \pm k_v} \right) \quad 2. \theta = \arctan \left( \frac{\gamma_{sat}}{\gamma_{sat} - \gamma_w} \frac{k_h}{1 \pm k_v} \right) \quad 3. \theta = \arctan \left( \frac{\gamma_d}{\gamma_{sat} - \gamma_w} \frac{k_h}{1 \pm k_v} \right)$$

### Shtytja aktive dinamike e mbushjes

Ne keto raste presioni i mbipresionit dinamik llogaritet nga diferenca midis presionit total sizmik dhe presionit statik te dheut. Shumatorja e presionit total sizmik jepet nga shprehja:

$$S_{s,tot} = \frac{1}{2} \gamma * H^2 * K_a * (1 \pm k_v) + H_{hidro}$$

Ne mungese te presionit te ujtit ( $H_{hidr}=0$ ), jepet nga shprehja:

$$S_{s,tot} = \frac{1}{2} \gamma * H^2 * K_a * (1 \pm k_v)$$

ku:  $H$ - lartesia e murit perfshire edhe lartesine e themelit;  $K_a$ - koeficienti i shtytjes aktive;  $k_v$  eshte koeficienti sizmik vertikal, i dhene ne shprehjet e mesiperm.

Per te marre efektin e vetem presionit dinamik duhet:

$$S_{sizmike} = S_{s,tot} - S_{statike}, \text{ ku}$$

$S_{statike} = \frac{1}{2} \gamma * H^2 * K_a$  eshte rezultatja e presioni i shtytjes aktive se dheut e cila merret sipas rasteve ne

funksion te koeficientit te shtytjes aktive  $K_a$  ne situata josizmike

### Shtytja dinamike e mbingarkeses mbi mbushje

Shtytja horizontale qe vjen si rezultat i ngarkeses mbi mbushje  $S_q$  (statike dhe dinamike), jepet nga shprehja:

$$S_q = q * H * K_a$$

ku  $q$ - ngarkesa mbi prizmin e mbushjes pas murit.

### Shtytja pasive dinamike

Presioni pasiv dinamik (statik+dinamik) qe kundershton veprimin e presioneve aktive dhe qe vepron ne pjesen e themeleve, jepet nga shprehja:

$$S_{p,tot} = 50\% \frac{1}{2} \gamma * D^2 * K_p * (1 \pm k_v) + H_{hidro}$$

Ne mungese te presionit te ujtit ( $H_{hidr}=0$ ) , jepet nga shprehja:

$$S_{p,tot} = 0.5 * \frac{1}{2} \gamma * D^2 * K_p * (1 \pm k_v)$$

ku:  $D$ - thellesia e zhytjes se murit perfshire edhe lartesine e themelit;  $K_p$ - koeficienti i shtytjes pasive;  $k_v$  eshte koeficienti sizmik vertikal i dhene ne shprehjet e mesiperme.

Behet reduktimi me 50% te efektit per arsyet te kushteve jo te favorshme gjate realizimit te punimeve.

Per te marre efektin e vetem presionit dinamik pasiv, mund te perdoret e njejtë llogjike si ajo e dhene mesiperme

$$S_{p,sizmike} = S_{p,tot} - S_{p,statike}, \text{ ku}$$

$S_{p,statike} = \frac{1}{2} \gamma * D^2 * K_p$  eshte rezultatja e presioni i shtytjes se dheut pasiv, e cila merret sipas rasteve ne

funksion te koeficientit te shtytjes pasive  $K_p$  ne situata josizmike

### Ngarkesat vepruese mbi strukture

Llogaritja e veprimeve statike dhe dinamike zhvillohet sipas nje analize pseudo-statike. Modeli llogarites referues perbehet nga vete vepra (muri+themeli) dhe nga prizmi i ngarkimit (ndikimit) qe shkakton gjendjen e ekilibrit aktiv limit. Verifikimet me marrjen ne konsiderate te veprimeve sizmike, zhvillohet me shfrytezimin e kombinimeve qe sugjerojnë normativat.

$$E_d = \xi_i * E + G_i + \sum \psi * Q_k \quad \text{ku:}$$

$G_i$  - vlerat karakteristike te ngarkesave apo veprimeve te perhershme

$\xi_i$  – koeficient qe merr parasysh rendesine e struktura ( merret e barabarte me “1” per struktura te zakonshme)

$E_d$  – vlera e veprimit sizmik te projektit ne reference te periudhes se perseritjes

$\psi$  – koeficient per percaktimin e veprimeve aksidentale (per veprime sizmike = 1)

$Q_k$  – vlera karakteristike e veprimeve aksidentale

Verifikimet e paraqitura ne kete relacion i referohen gjendjes kufitare te fundme (SLD – gjendjes kufitare dinamike)

### **Ngarkesat apo veprimet statike stabilizuese (ngarkesat e peshes vetjake)**

Ngarkesat nga pesha vetjake do merren ne konsiderate sipas volumit (siperfaqes perkatese pasi llogaritjet realizohen per gjatesi njesi te murit) dhe peshes volumore perkatese te materialit perberes sipas shprehjes se me poshtme:

$$G_i = A_i * \gamma_i , (\text{kN ose me e sakte kN/m}) , \text{ku:}$$

Ai- Siperfaqja e prerjes terthore te murit, themelit, terrenit, etj

$\gamma_i$  – pesha volumore e materialit ( $\text{kN/m}^3$ ) , do marrim  $25\text{kN/m}^3$  per betonin e armuar;  $24\text{kN/m}^3$  per betonin dhe  $22\text{kN/m}^3$  per murin e gurit.

### **Koeficientet e sigurise per verifikimet**

Koeficientet e sigurise per verifikimet sipas EC7, ne situate statike dhe sizmike merren sipas tabelave se me poshtme.

	Verifiche STATICHE		Verifiche SISMICHE		
	Verifica Parete	Ribalt.	Scorr.	Schiacc.	
Angolo d'attrito interno	$\gamma_\phi$	1,25	1,25	1,25	1,25
Peso cuneo di spinta	$\gamma_{GS}$	1,1	1,1	1	1
Peso zavorra	$\gamma_{GZ}$	1,1	0,9	1	1
Peso proprio muro	$\gamma_{GM}$	1,1	0,9	1	1
Sovraccarico	$\gamma_Q$	1,5	1,5	1,3	1,3
Azione verticale impalcato	$\gamma_{Ni}$	1,1	0,9	1	1
Azione orizzontale impalcato	$\gamma_{Vi}$	1,5	1,5	1,3	1,3

	Verifiche STATICHE		Verifiche SISMICHE		
	Verifica Parete	Ribalt.	Scorr.	Schiacc.	
Angolo d'attrito interno	$\gamma_\phi$	1,25	1,25	1,25	1,25
Peso cuneo di spinta	$\gamma_{GS}$	1	1	1	1
Peso zavorra	$\gamma_{GZ}$	1	1	1	1
Peso proprio muro	$\gamma_{GM}$	1	1	1	1
Sovraccarico	$\gamma_Q$	1	1	1	1
Azione verticale impalcato	$\gamma_{Ni}$	1	1	1	1
Azione orizzontale impalcato	$\gamma_{Vi}$	1	1	1	1

Ne tabelat e mesiperme koeficientet e mbingarkimit jane dhene per kontolle ne permbyse, rreshqitje dhe shkeputje.

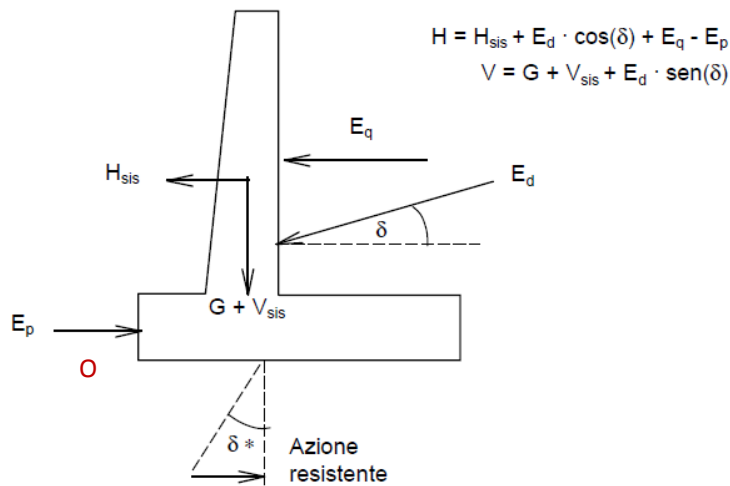
### **Veprimet dinamike te masave**

Veprimet dinamike sipas drejtimit vertikal dhe horizontal percaktohen sipas shprehjeve te me poshtme:

$$V_{siz} = G_i * k_v \quad \text{dhe} \quad H_{siz} = G_i * k_h \quad (\text{kN ose me e sakte kN/m}) , \text{ku:}$$

$G_i$  - vlerat karakteristike te ngarkesave apo veprimeve te perhershme (pesha vetjake);

$k_v, k_h$  – koeficientet dinamike per veprimin vertikal dhe horizontal, percaktuar sipas shprehjeve te mesiperme.



### Verifikimi ne permbyse

Kontrolli ne permbyse vleresohej sipas faktorit  $F_{s,permbyse}$ , i cili merret nga rapporti mes momentit stabilizues dhe momentit permbyses. Keto momente merren perkundrejt pikes "O" te pozicionuar ne skajin jashtem te themelit (shiko fig. e mesiperme). Sipas normave te vjetra (tensioneve te lejuara), koeficienti i sigurise (F) duhet te jete  $\geq 1.5$ ; ndersa sipas gjendjes kufitare te fundme, mbi te cilet mbeshtetet EC7, ky koeficient duhet te jete  $\geq 1.0$ ;

$$F_{s,permbyse} = \frac{M_{stab,O}}{M_{perm,O}} \geq 1.5 \text{ - per metoden sipas tensioneve te lejuara (metoda klasike)}$$

ose  $F_{s,permbyse} > 1.0$ , per rastin e gjendjes kufitare te fundme (referuar Ec7 ose NTC 2008), e cila merret per rastet kur kemi efektin e  $-k_v$ .

$$M_{stab,O} = \sum_1^n V_i * b_i \quad \text{dhe} \quad M_{perm,O} = \sum_1^n H_i * h_i, \quad \text{ku}$$

$V_i$ - ngarkesat dhe veprimet ne drejtimin vertikal

$H_i$ - ngarkesat dhe veprimet ne drejtimin horizontal

$b_i$ - distanca nga pika "O" ne pikeprerjen e veprimit te ngarkeses vertikale (matur sipas projekzionit horizontal)

$h_i$ - distanca nga pika "O" ne pikeprerjen e veprimit te ngarkeses horizontale (matur sipas projekzionit vertikal)

### Verifikimi ne rreshqite/spostim

Kontrolli ne rreshqite vleresohej sipas faktorit  $F_{s,rreshqite}$ , i cili merret nga rapporti mes veprimit te ngarkesave stabilizuese dhe ngarkesave shtytese. Sipas normave te vjetra (tensioneve te lejuara), koeficienti i sigurise (F) duhet te jete  $\geq 1.3$ ; ndersa sipas gjendjes kufitare te fundme, mbi te cilet mbeshtetet EC7, ky koeficient duhet te jete  $\geq 1.0$ ;

$$F_{s,rreshqite} = \frac{H_{rezistuese}}{H_{aktive}} \geq 1.3 \text{ - per metoden sipas tensioneve te lejuara (metoda klasike)}$$

ose  $F_{s,rreshqite} > 1.0$ , per rastin e gjendjes kufitare te fundme (referuar Ec7 ose NTC 2008), e cila merret per rastet kur kemi efektin e  $-k_v$ .

Nese do i referohemi figures se mesiperme mbi ngarkesat dhe veprimet, ky koeficient jepet nga rapporti  $(H \cdot \sin i + V \cdot \cos i) \cdot \tan \delta^*$

$$\frac{H \cdot \cos i - V \cdot \sin i}{}, \text{ ku "i" eshte kendi i inklinimit te planit te rreshqitjes}$$

### Verifikimi i sforcimeve (ne aftesi mbajtse) te bazamentit mbeshtetes

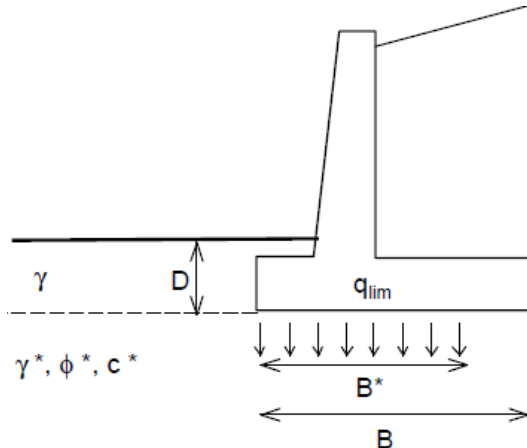
Per te vleresuar pjesen (gjatesine) e themelit efektivisht rezistuese ndaj veprimeve, nevojitet te percaktohet jashteqendersia e ngarkesave vertikale.

$$C = \frac{M_{stabiliz} - M_{permbyse}}{V}$$

$$\text{Atehere jashteqendersia do jepet sipas shprehjes } e = \frac{B}{2} - C$$

Pranohet ngarkesa limite  $q_{lim}$  provokon shkatterrimin e terrenit te bazamentit, ate te shprehur nga formula Brinch-Hasen. Ky relacion shpreh qe vlera e presionit mesatar limit mbi gjurmen mbeshtetese te themelit, eventualisht i parcializuar ne baze. Per te percaktuar vleren e ngarkeses limite, nevojitet te percaktohet gjeresia ne baze ekuivalente  $B^*$ , e cila jepet nga shprehja:

$$B^* = B - 2e$$



$$N_q = e^{\pi \operatorname{tg} \phi^*} \operatorname{tg}(45^\circ - \phi^*/2)$$

$$N_c = (N_q - 1)/\operatorname{tg} \phi^*$$

$$N_y = 2(N_q + 1)/\operatorname{tg} \phi^*$$

$$A_q = s_q \cdot d_q \cdot i_q \cdot g_q \cdot b_q$$

$$A_c = s_c \cdot d_c \cdot i_c \cdot g_c \cdot b_c :$$

$$A_y = s_y \cdot d_y \cdot i_y \cdot g_y \cdot b_y =$$

$$q_{lim} = A_q \cdot N_q \cdot \gamma \cdot D + A_c \cdot N_c \cdot c^* + A_y \cdot N_y \cdot \gamma^* \cdot B^*/2$$

ku pramametrat e mesiperme  $N_q$ ,  $N_c$ ,  $N_y$ ,  $A_q$ ,  $A_c$ ,  $A_y$  merren ne funksion te parametrave te terrenit dhe faktoreve te ndryshem qe lidhen me formen, thellesine, inklinimin e ngarkesave, etj

$$Q_{lim} = q_{lim} \cdot B^* \text{ dhe verifikimet ne aftesi mbajtse jepen nga shprehja:}$$

$$F_{s,Kapaciteti-mbajtes} = \frac{Q_{lim}}{V} \geq 1.0 \quad (\text{merret per rastet kur kemi efektin e } +k_v)$$

### Kombinimet e ngarkesave

Ne llogaritje dhe verifikime, per kombinimin e ngarkesave, parametrave gjeoteknikе, etj, duhen marre koeficientet e sigurise sipas tabeles se mesiperme, per situate te favorshme dhe jo te favorshme te veprimeve apo efekteve. Meposhte jepen ne menyre te permblehdhur keto kombinime.

Approccio	Tipo SLU	Azioni <b>sfavorevoli</b>		
		Permanentni		Variabili $\gamma_{Qi}$
		Strutturali $\gamma_{G1}$	Non strutturali $\gamma_{G2}$	
Approccio 1-C1	STR (A1)	1.30	1.50	1.50
Approccio 1-C2	GEO (A2)	1.00	1.30	1.30
Approccio 2	STR-GEO (A1)	1.30	1.50	1.50

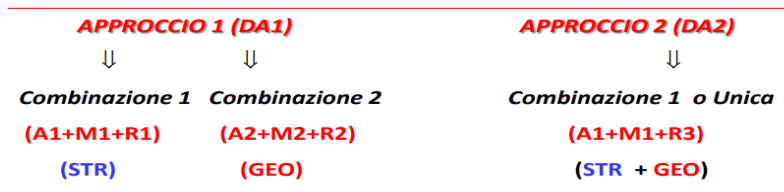
per veprime ne situata te pafavorshme

Approccio	Tipo SLU	Azioni <b>favorevoli</b>		
		Permanentni		Variabili $\gamma_{Qi}$
		Strutturali $\gamma_{G1}$	Non strutturali $\gamma_{G2}$	
Approccio 1-C1	STR (A1)	1.00	0	0
Approccio 1-C2	GEO (A2)			
Approccio 2	STR-GEO (A1)			

per veprime ne situata te favorshme

Parametro	Approccio 1		Approccio 2 STR-GEO (M1)
	Combinazione 1 STR (M1)	Combinazione 2 GEO (M2)	
$\gamma_k$	1.00	1.00	1.00
$c'_k$	1.00	1.25	1.00
$\tan(\varphi'_k)$	1.00	1.25	1.00
$c_{uk}$	1.00	1.40	1.00

per parametrat gjeoteknik



Le **Combinazioni** sono formate da gruppi di **coefficienti parziali  $\gamma$**

con

**A = Azioni  $\gamma_F$**

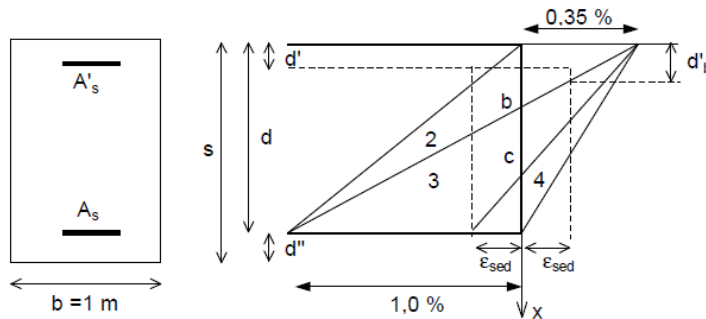
**M = resistenza dei materiali (terreno)  $\gamma_M$**

**R = Resistenza globale del sistema  $\gamma_R$**

Kombinimet per gjendjet kufitare strukturore STR dhe gjeoteknike GEO

### Verifikimi i resistences se elementeve strukturore ne gjendjen kufitare te fundme (SLU) per rastin e mureve te armuara

Per secilin element te murit, percaktohet momenti perkules dhe forca prerese per te cilin nevojitet te behet armimi i tyre (ne rastin e mureve te armuara). Duhet theksuar qe ne struktura te tilla, ne mjaft raste efekti i forcave prerese nuk jepin vlera problematike, ndersa momentet perkulese jepin efekte qe duhet detyrimisht marre ne konsiderate.



Ne rastin e perkuljes se thjeshte, kur elementi (seksioni i murit, me gjeresi 1m) eshte armuar me armature per dy zonat, dallojme gjendjet 2 (armature te lehte) dhe 3,4 (presence te larte te armatures). Pozicioni i aksit neutral jepet nga shprehjet

$$x_b = d \cdot \frac{\varepsilon_{cu}}{\varepsilon_{su} + \varepsilon_{cu}}$$

$$x_c = d \cdot \frac{\varepsilon_{cu}}{\varepsilon_{cu} + \varepsilon_{sed}}$$

Hipotezojme vodosjen e nje sasie armature ne zonen e terhequr , te percaktuar nga shprehja:

$$A_{s,hypotez} = \frac{M_{sd}}{0.9d f_{sd}} \text{ e cila duhet te plotesoje kushtin e perqindjes minimale te armatures prej } 0.15\%$$

te seksionit te betonit.

Kur shkaterrimi per perkulje te thjeshte shoqerohet me vlere te  $x_c$  (per gjendjen 3dhe 4) , armature  $A_s$  cilesohet si “armature kritike” dhe vleresohet sipas shprehjes se meposhtme

$$A_{s,Crit} = A'_s + 0.8 \cdot b \cdot x_c \cdot f_{cd}^* / f_{sd}$$

ku:

$A'$ -s-armatura ne zonen e shtypur

$f_{cd}^*$ -sforcimet (rezistenza) kufitare e projektit, per betonin

$f_{sd}$ -resistenca ne armature ( sforcimet kufitare te projektit)

$\varepsilon_{su}$  – deformimi kufitar i armatures ne terheqje (=1%)

$\varepsilon_{sed}$  – deformimi maksimal elastik (sipas ligjit te Hook) (=0.182%)

$\varepsilon_{cu}$  – deformimi kufitar i betonit ne shtypje (=0.35%)

Situata te tilla “me armature kritike” duhet te shmangen per shkak te zvogelimit te duktilitetit

Per te cilen rezulton  $A_s < A_{s,Crit}$

Llogaritim madhesine finale te  $d'_b$  per te cilen armatura ne shtypje mund te kaloje ne faze rrjedhshmerie:

$$d'_b = x_b + (x_b - d) \cdot \varepsilon_{sed} / \varepsilon_{su}$$

Per te cilen rezulton  $d' < d'_b$

Ne gjendjen 2, armatura ne zonen e shtypur  $A_s'$  mund te jete ne faze elastike ose ne faze rrjedhshmerie (e gjithe kjo per te cilesuar qe armatura ne zone te shtypur nuk te kaloje ne faze rrjedhshmerie)

Pozicioni i aksit neutral qe ndan dy nenzonat eshte  $x_2$  llogaritet sipas relacionit

$$x_2 = \frac{\varepsilon_{su} \cdot d' + \varepsilon_{sed} \cdot d}{\varepsilon_{su} + \varepsilon_{sed}}$$

Pranojme qe armatura ne zonen e shtypur mbetet ne faze elastike , zgjidhim ekuacionin e grades se dyte :

$$x^2 - x \left( d + \frac{\epsilon_{su} E_s}{0,8bf_{cd}^*} A'_s + \frac{f_{sd}}{0,8bf_{cd}^*} A_s \right) + \frac{\epsilon_{su} E_s}{0,8bf_{cd}^*} d' A'_s + \frac{f_{sd}}{0,8bf_{cd}^*} d A_s = 0$$

Hipoza jone do jete e vertete derisa aksi neutral "x" eshte me i vogel sese "x<sub>2</sub>" dmth gjendet ne gjendjen 2, ku seksioni eshte armuar normalisht (armature te lehte).\\

Llogaritim sforcimet ne armaturen e zones se shtypur ne faze elastike dhe mandej llogaritim momentin rezistent ne reference te qendres se zones se shtypur te betonit:

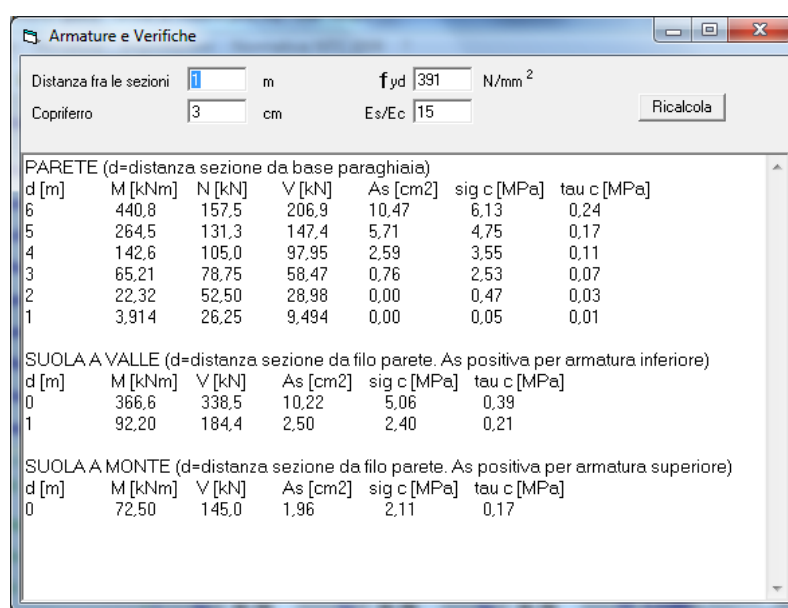
$$\sigma'_s = E_s \cdot \epsilon_{su} \cdot (x-d') / (d-x)$$

$$M_{Rd} = \sigma'_s \cdot (0,4 \cdot x - d') \cdot A'_s + f_{sd} \cdot (d - 0,4 \cdot x) \cdot A_s$$

Seksioni per gjendjen ne perkulje te thjeshte rezulton e verifikuar nese faktori i sigurise eshte me i madh se 1.

$$F_s = M_{Rd} / M_{Sd} \quad (\text{merret per rastet kur kemi efektin e } +k_v)$$

Programi generon automatikisht sasine e armatures referuar seksionit cfaredo te paretit vertikal dhe pllakes se themelit.

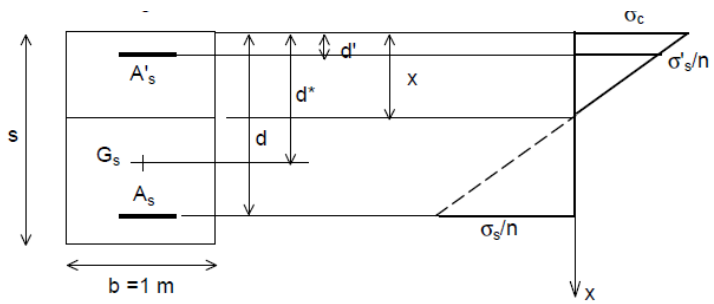


### Verifikimi i resistences se elementeve strukturore ne gjendjen kufitare te sherbimit (SLE), per rastin e mureve te armuara

Sekcionet e elementeve te murit duhet te verifikohen edhe per gjendjen kufitare te sherbimit. Ne kete rast momenti vepruesh  $M_{Sd}$  shumezohet me nje koeficient sigurie te barabarte me njesine (1).

Per vleresimin e momentit rezistent, pranohen keto hipoteza:

- Regjimi tensional ne faze elastike
- Sekzionet mbesin plane
- Koeficienti i homogenitetit te materialeve per seksionin n=15



Per kete rast, pozicioni i aksit neutral jepet nga shprehja:

$$x = \frac{n \cdot (A_s + A'_s)}{b} \cdot \left( -1 + \sqrt{1 + \frac{2 \cdot b \cdot d^*}{n \cdot (A_s + A'_s)}} \right)$$

Per te cilin pozicioni i qendres se gravitetit dhe armatures, eshte:

$$d^* = \frac{d \cdot A_s + d' \cdot A'_s}{A_s + A'_s}$$

Momenti rezistent i inertesise per sekcionin do jepet nga shprehja:

$$J = bx^3/3 + n A'_s (x-d')^2 + n A_s (d-x)^2$$

Momenti rezistent merret me i vogli mes vlerave:

$$M_{Rc} = J \cdot 0,45 f_{ck} / x$$

$$M_{Rb} = \frac{J \cdot 0,7 f_y}{n(d-x)}$$

Sekcioni rezulton te verifikohet per situaten e gjendjes se sherbimeve me një faktor sigurie sipas shprehjes se meposhtme duhet te rezultoje me i madh se "1"

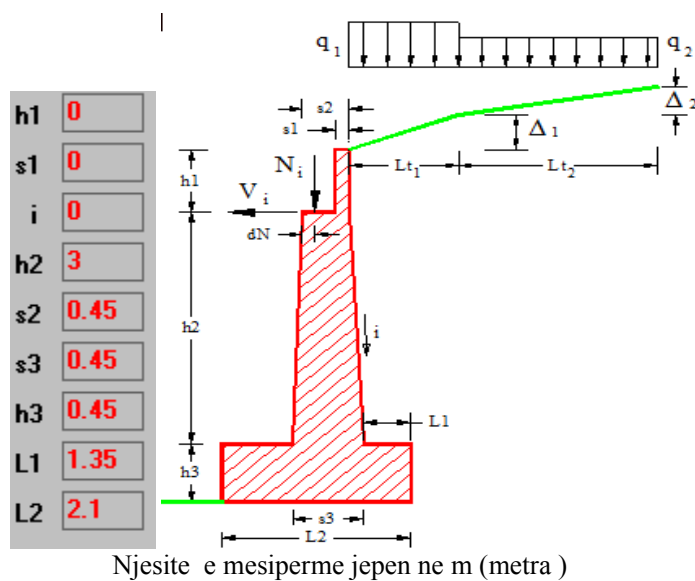
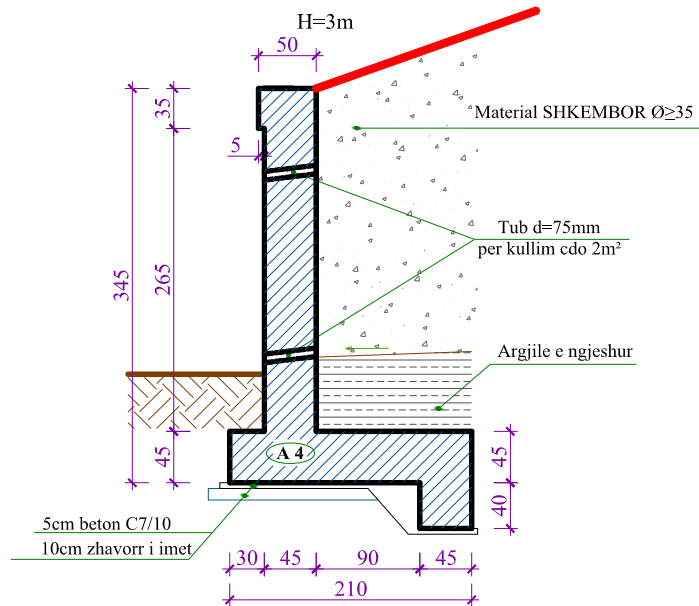
$$F_s = M_{Rd} / M_{Sd} \quad (\text{merret per rastet kur kemi efektin e } +k_v)$$

*Meposhte jepen ne menyre te permblehdhur pjese te relacionit te llogaritjes se mureve mbajtese dhe priteze (per dy raste per gjithesuese) sipas procedures se cituar mesiper. Llogaritjet jane kryer ne skeda te caktuara te cilën kryejne veprimet ne menyre automatike konform normave europiane.*

## **MURI PRITES, (b/arme) H=3.0 M**

➤ *Parametrat gjeometrike te murit*

Ne skeden llogaritese, jepen dimensionet e murit per te krijuar gjeometrine e tij.



➤ **Parametrat fizike-mekanike te materialeve**

Jane paraqitur ne vijim karakteristikat e terrenit, duke u mbeshtetur tek normativa referuese.

$\varphi^o$	30
$\delta^o$	20
$\varphi_f^o$	30
$\gamma_t$	18
$\gamma_m$	25

Ku kemi shenuar :

$\varphi_o$  – kendi i ferkimit te brendshem te materialit te mbushjes ( $^0$ )

$\delta^o$  – kendi i ferkimit te materialit me murin ( $^0$ )

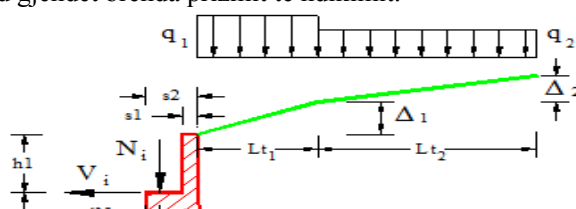
$\varphi_f^o$  – kendi i ferkimit te terrenit ne bazamentin mbeshtetes ( $^0$ )

$\gamma_t$  – pesha volumore e terrenit ( $kN/m^3$ )

$\gamma_m$  – pesha volumore e materialit ndertimor te murit ( $kN/m^3$ )

➤ **Ngarkesa mbi mbushje**

Ne skeden llogaritese, te ofrohet mundesi te implementohen ngarkesat mbi pjesen e mbushjes (te shenuara ne skicen baze te mesiperme si  $q_1, q_2$ ). Ne vijim jane paraqitur futja e ngarkesave mbi mbushje si  $q=5kN/m^2$  edhe pse kjo e fundit mund gjendet brenda prizmit te ndikimit.



	Lungh.	Dislivello	q
Lato 1	6	1.5	5

➤ **Parametrat sizmike**

Ashtu sic u shtjellua ne paragrafin mbi teorine e llogaritjes se mureve, parametrat dinamike te cilet nevojiten per llogaritjen e mureve jane koeficient dinamike sipas drejtimeve vertikale dhe horizontale ( $k_v$  dhe  $k_h$ ) te cilat merren ne funksion te parametraleve :  $a_{max}$  - nxitimit maksimal horizontal te sheshit;  $a_g$  - nxitimit maksimal horizontal te sheshit ne terren rigjid (kategoria A-shkemb);

$S$  - faktorit te spektrit reagimit elastik;  $\beta_m$  - koeficientit te reduktimit per nxitim maksimal dhe kategorive te tokes.

Sipas "Hartës se ripunuar te nxitimeve maksimale referencë në truall të Tipit A per Republiken e Shqiperise", sheshi i ndertimit te perfshihet ne zonen me Intensitet Sizmik te shkalles 7.5-8.0. Kjo do te thote qe nxitimi maksimal horizontal i sheshit dojete  $a_{max}/g = 0.25$ , i cili i perket zones 2 sipas Eurocode 8. Gjithshtu do pranohet qe faktori i spektrit reagimit elastik qe merr parasysh shtresezimin e terrenit, merret  $S = 1.25$ , per kategori trualli C (shiko tabelen e mesiperme).

#### ➤ Percaktimi i koeficienteve dinamike per dy drejtimet

Sipas procedures se dhene mesiper, behet percaktimi i koeficienteve te shtytes aktive dhe pasive per gjendjen ne situata normale (statike) dhe sizmike. Per situata sizmike do llogaritim gjithashtu edhe koeficientet dinamike per drejtimin horizontal dhe vertikal. Meposhte paraqiten vlerat e keture koeficientave te nxjerra nga relacioni i skedes llogaritese automatike.

$$\text{per } \varepsilon \leq \phi' - \theta \quad k_z = \frac{\sin^2(\psi + \phi' - \theta)}{\cos \theta \cdot \sin^2 \psi \cdot \sin(\psi - \theta - \delta) \left[ 1 + \sqrt{\frac{\sin(\phi' + \delta) \cdot \sin(\phi' - \varepsilon - \theta)}{\sin(\psi - \theta - \delta) \cdot \sin(\psi + \varepsilon)}} \right]^2}$$

$$\text{per } \varepsilon > \phi' - \theta \quad k_z = \frac{\sin^2(\psi + \phi' - \theta)}{\cos \theta \cdot \sin^2 \psi \cdot \sin(\psi - \theta - \delta)}$$

$$k_p = \frac{\sin^2(\psi + \phi' - \theta)}{\cos \theta \cdot \sin^2 \psi \cdot \sin(\psi + \theta) \left[ 1 - \sqrt{\frac{\sin \phi' \cdot \sin(\phi' + \varepsilon - \theta)}{\sin(\psi + \varepsilon) \cdot \sin(\psi + \theta)}} \right]^2}$$

$$1. \theta = \arctan\left(\frac{k_n}{1 \pm k_v}\right) \quad 2. \theta = \arctan\left(\frac{\gamma_{\text{sat}}}{\gamma_{\text{sat}} - \gamma_w} \frac{k_n}{1 \pm k_v}\right) \quad 3. \theta = \arctan\left(\frac{\gamma_d}{\gamma_{\text{sat}} - \gamma_w} \frac{k_n}{1 \pm k_v}\right)$$

massima accelerazione al suolo  $a_g/g = 0.25$  (-)  
 coefficiente stratigrafico  $S = 1.25$  (-)

Koeficientat dinamike per veprime horizontale dhe vertikale rezultojne:

$$K_u: K_h = \beta_m * a_g * S_s * S_T = 0.31 * 0.25 * 1.25 * 1 = 0.0999 \text{ (referuar parametruve te mesiperm)}$$

$$K_v = 0.5 * K_h = 0.5 * 0.0999 = 0.050$$

Procedohet me tej me percaktimin e presioneve perkatese qe veprojne ne mur sipas koeficientave te percaktuar mesiper.

➤ Ngarkesat vepruese (presionet) rezultante mbi paretin vertikal te murit

Sipas shprehjeve te dhena mesiper behet (tek aspektet teorike te llogaritjes se mureve), behet percaktimi i presioneve vepruese nga mbushja e dheut ne situata statike, ne situata sizmike, nga ngarkesa mbi mbushje, etj.

Meposhte jepen rezultatet e llogaritjeve te rezultateve te keture presioneve, perfituar nga skeda llogaritese automatike (softwar-i).

Parete		
St	41.05	kN
Sq	10.37	kN
Ss	0	kN
Si	0	kN
M	49.23	kNm
N	54.71	kN
V	48.31	kN
	?	
	?	
	?	

Te dhenat e mesiperme rezultojne per rastet:

- 1- Situata josizmike (situata statike);

- 2- Situata sizmike me  $k_v > 0$  (situata me e pafavorshme);  
 3- Situata sizmike me  $k_v < 0$  ;  
 ku:

*St* – Rezultatja e presionit nga mbushja e dheut;

*Sq* – Rezultatja e presionit nga ngarkesa mbi mbushje;

*Ss* – Rezultatja e presionit shtese nga veprimet sizmike

*Si* – Rezultatja e presionit nga forcat inerciale sizmike

➤ **Ngarkesat vepruese (presionet) rezultante mbi themelin e murit**

Ashtu sic u citua tek aspektet teorike te llogaritjes se mureve behet percaktimi i presioneve vepruese nga mbushja e dheut ne situata statike, ne situata sizmike, nga ngarkesa mbi mbushje, etj.

Meposhte jepen rezultatet e llogaritjeve te rezultateve te keture presioneve, perfituara. Vlen te theksohet qe rezultantet e presioneve/ngarkesave te transmetuara ne pjesen e themelit merren per te tre situatat (josizmike, sizmike +kv, sizmike -kv) duke patur parasysh verifikimet perkatese lidhur me permbyshjen, rreshqitjen dhe spostimin e murit.

<b>Fondazione</b>					
<b>Ribaltamento</b>	<b>Scorrimento</b>	<b>Schiacciamento</b>			
<b>St</b> 65.35	?1	<b>St</b> 59.41	?1	<b>St</b> 59.41	?1
<b>Sq</b> 13.07		<b>Sq</b> 11.33		<b>Sq</b> 11.33	
<b>Ss</b> 0		<b>Ss</b> 0		<b>Ss</b> 0	
<b>Si</b> 0		<b>Si</b> 0		<b>Si</b> 0	

1- Situata josizmike (situata statike);

<b>Fondazione</b>					
<b>Ribaltamento</b>	<b>Scorrimento</b>	<b>Schiacciamento</b>			
<b>St</b> 59.41	?2	<b>St</b> 59.41	?2	<b>St</b> 59.41	?2
<b>Sq</b> 8.714		<b>Sq</b> 8.714		<b>Sq</b> 8.714	
<b>Ss</b> 22.36		<b>Ss</b> 22.36		<b>Ss</b> 22.36	
<b>Si</b> 13.42		<b>Si</b> 13.42		<b>Si</b> 13.42	

2- Situata sizmike me  $k_v > 0$  ;

<b>Fondazione</b>					
<b>Ribaltamento</b>	<b>Scorrimento</b>	<b>Schiacciamento</b>			
<b>St</b> 59.41	?3	<b>St</b> 59.41	?3	<b>St</b> 59.41	?3
<b>Sq</b> 8.714		<b>Sq</b> 8.714		<b>Sq</b> 8.714	
<b>Ss</b> 16.16		<b>Ss</b> 16.16		<b>Ss</b> 16.16	
<b>Si</b> 13.42		<b>Si</b> 13.42		<b>Si</b> 13.42	

3- Situata sizmike me  $k_v < 0$ , (situata me e pafavorshme);

ku:

*St* – Rezultatja e presionit nga mbushja e dheut;

*Sq* – Rezultatja e presionit nga ngarkesa mbi mbushje;

*Ss* – Rezultatja e presionit shtese nga veprimet sizmike

*Si* – Rezultatja e presionit nga forcat inerciale

Presioni i mbipresionit dinamik llogaritet nga diferenca midis presionit total sizmik dhe presionit statik te dheut. Shumatorja e presionit total sizmik jepet nga shprehja:

$$S_{s,tot} = \frac{1}{2} \gamma * H^2 * K_a * (1 \pm k_v)$$

ku:  $H$ - lartesia e murit perfshire edhe lartesine e themelit;  $K_a$ - koeficienti i shtyqes aktive;  $k_v$  eshte koeficienti sizmik vertikal, i dhene ne shprehjet e mesiperme.

*Per te marre efektin e vetem presionit dinamik duhet:*

$$S_{sizmike} = S_{s,tot} - S_{statike}, \text{ ku}$$

$S_{statike} = \frac{1}{2} \gamma * H^2 * K_a$  eshte rezultatja e presioni i shtyqes aktive se dheut e cila merret sipas rasteve ne

funksion te koeficientit te shtyqes aktive  $K_a$  ne situata josizmike

#### ➤ Shtyja e ngarkeses mbi mbushje

Shtyja horizontale qe vjen si rezultat i ngarkeses mbi mbushje  $S_q$  (statike dhe dinamike), jepet nga shprehja:

$$S_q = q * H * K_a, \text{ sipas kombinimeve te mesiperme dhe situatave verifikuese,}$$

ku  $q=5kN/m^2$  - ngarkesa mbi prizmin e mbushjes pas murit, ne reference te ngarkesave te levizshme,  $K_a$ - koeficienti i shtyqes aktive ne situata statike dhe sizmike

#### ➤ Shtyja pasive mbi themel

Ky presion nuk perfshihet ne skeden e mesiperme per shkak te rezervave te sigurise. Gjithsesi vlera e ketij presioni eshte thelbesore gjate verifikimeve per spostim (rreshqitje) te murit. Per rastin e kontolleve ne permbsysje, nuk jep efekte te konsiderueshme dhe ne shumicen e rasteve neglizhohet.

Presioni pasiv dinamik (statik+dinamik) qe kundershton veprimin e presioneve aktive dhe qe vepron ne pjesen e themeleve, jepet nga shprehja:

$$S_{p,tot} = 0.5 * \frac{1}{2} \gamma * D^2 * K_p * (1 \pm k_v)$$

ku:  $D$ - thellesia e zhytjes se murit perfshire lartesine e themelit dhe dhembin poshte saj;  $K_p$ - koeficienti i shtyqes pasive;  $k_v$  eshte koeficienti sizmik vertikal i dhene ne shprehjet e mesiperme.

Behet reduktimi me 50% te efektit per arsyte te kushteve jo te favorshme gjate realizimit te punimeve, rekomanduar kjo nga normativa.

Per te marre efektin e vetem presionit dinamik pasiv, mund te perdoret e njejtë llogjike si ajo e dhene mesiperme

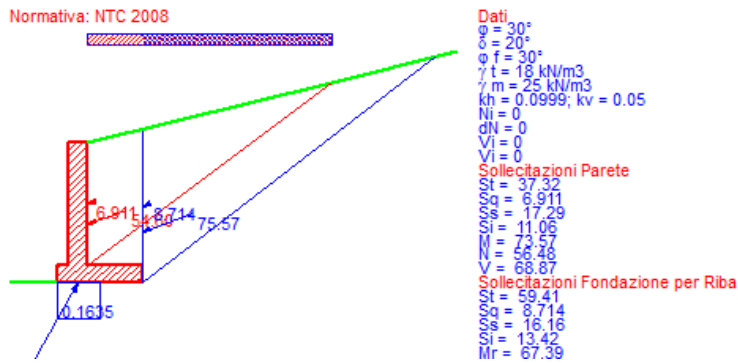
$$S_{p,sizmike} = S_{p,tot} - S_{p,statike}, \text{ ku}$$

$S_{p,statike} = \frac{1}{2} \gamma * D^2 * K_p$  eshte rezultatja e presioni i shtyqes se dheut pasiv, e cila merret sipas rasteve ne

funksion te koeficientit te shtyqes pasive  $K_p$  ne situata josizmike

#### ➤ Realizimi i llogaritjes se murit

*Ne vijim eshte paraqitur grafikisht llogaritia e murit, ku perfshin vlerat e presioneve vepruese, pozicionimin i presioneve rezultante, vlerat e sforcimeve ne taban, etj; per situata me te pafavorshme*



### ➤ Kontrolli ne permbyse

Kontrolli ne permbyse vleresohet sipas faktorit  $F_{s,permbyse}$ , i cili merret nga raporti mes momentit stabilizues dhe momentit permbyses. Keto momente merren perkundrejt pikes "O" te pozicionuar ne skajin jashtem te themelit (shiko fig. e mesiperme).

Sipas normave te vjetra (tensioneve te lejuara), koeficienti i sigurise (F) duhet te jete  $\geq 1.5$ ; ndersa sipas gjendjes kufitare te fundme, mbi te cilet mbeshtetet EC7, ky koeficient duhet te jete  $\geq 1.0$ ;

$$F_{s,permbyse} = \frac{M_{stab,O}}{M_{perm,O}} \geq 1.5 \text{ - per metoden sipas tensioneve te lejuara (metoda klasike)}$$

ose  $F_{s,permbyse} > 1.0$ , per rastin e gjendjes kufitare te fundme (referuar Ec7 ose NTC 2008), e cila merret per rastet kur kemi efektin e  $-k_v$ .

Nga rezultatet e nxjerra nga programmi per situata me te disfavorshme, referuar EC7 , shihet:

<b>Mr</b>	<b>67.39</b>
<b>Ms</b>	<b>145.5</b>
<b>Ms/Mr</b>	<b>2.159</b>

$M_r$ - momenti permbyses ( $\text{kN}\cdot\text{m}$ )

$M_s$ - momenti mbajtes ( $\text{kN}\cdot\text{m}$ )

$F_{s,permbyse} = 2.159, dmth > 1.0$ , Verifikimi rezulton pozitiv!.

### ➤ Kontrolli ne rreshqite

Kontrolli ne rreshqite vleresohet sipas faktorit  $F_{s,rreshqite}$ , i cili merret nga raporti mes veprimit te ngarkesave stabilizuese dhe ngarkesave shtytese.

$$F_{s,rreshqite} = \frac{H_{rezistuese}}{H_{aktive}} \geq 1.3 \text{ - per metoden sipas tensioneve te lejuara (metoda klasike)}$$

ose  $F_{s,rreshqite} > 1.0$ , per rastin e gjendjes kufitare te fundme (referuar Ec7 ose NTC 2008), e cila merret per rastet kur kemi efektin sizmik.

Nga rezultatet e nxjerra nga programmi per situata me te disfavorshme, referuar EC7 , shihet:

<b>c.scor.</b>	<b>1.102</b>
----------------	--------------

$F_{s,rreshqite}$  (situata statike, pa perfshire 50% Pres.pasiv te themelit))=1.102, dmth >1.0,  
 $F_{s,rreshqite}$  (situata sizmike + 50% Pres.pasiv te themelit) =1.07, dmth >1.0,

Verifikimi rezulton pozitiv!.

➤ Llogaritja e sforcimeve ne tabanin e themelit

Sic shikohet edhe ne figuren e mesiperme ku jepen grafikisht presionet, ne figure paraqiten gjithshtu edhe diagrama e sforcimeve ne taban, e cila rezulton sa meposhte:



$$\sigma_{\max} = 0.1635 \text{ N/mm}^2$$

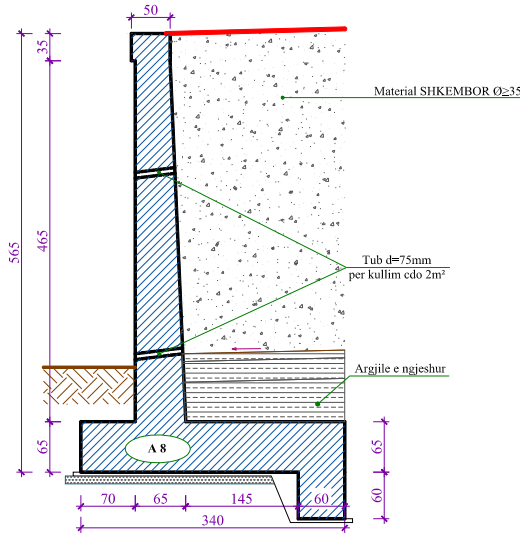
$$\sigma_{\min} = 0.0 \text{ N/mm}^2$$

➤ Llogaritja e sasise se armatures

Ne vijim eshte paraqitur ne trajte tabelare llogaritja e sasise se armatures per seksione te caktuara te murit.

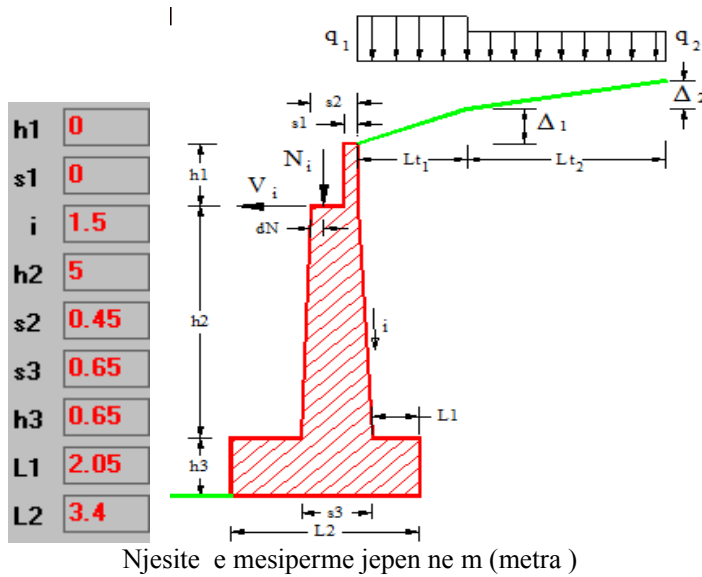
Armature e Verifiche						
Distanza fra le sezioni	0.5	m	$f_yd$	391	N/mm <sup>2</sup>	
Copriferro	3	cm	Es/Ec	15	<input type="button" value="Ricalcola"/>	
PARETE (d=distanza sezione da base paraghiaia)						
d [m]	M [kNm]	N [kN]	V [kN]	As [cm <sup>2</sup> ]	sig c [MPa]	tau c [MPa]
3	73.57	56.48	68.87	4.03	5.69	0.18
2.5	45.56	44.62	50.73	2.33	4.44	0.13
2	25.63	33.72	35.24	1.18	3.34	0.09
1.5	12.46	23.81	22.46	0.46	2.38	0.06
1	4.714	14.88	12.40	0.09	1.56	0.03
0.5	1.028	6.948	5.049	0.00	0.06	0.01
SUOLA A VALLE (d=distanza sezione da filo parete. As positiva per armatura inferiore)						
d [m]	M [kNm]	V [kN]	As [cm <sup>2</sup> ]	sig c [MPa]	tau c [MPa]	
0	6.849	45.66	0.42	1.48	0.12	
SUOLA A MONTE (d=distanza sezione da filo parete. As positiva per armatura superiore)						
d [m]	M [kNm]	V [kN]	As [cm <sup>2</sup> ]	sig c [MPa]	tau c [MPa]	
0	55.67	42.74	3.57	4.50	0.11	
0.5	25.31	59.00	1.59	2.93	0.16	
1	4.337	24.69	0.27	1.17	0.07	

## MURI PRITES, (b/armes) H=5.0 M



### ➤ Parametrat gjeometrike te murit

Ne skeden llogaritese, jepen dimensionet e murit per te krijuar gjeometrine e tij.



### ➤ Parametrat fizike-mekanike te materialeve

Jane paraqitur ne vijim karakteristikat e terrenit, duke u mbeshtetur tek normativa referuese.

$\Phi^o$	30
$\delta^o$	20
$\Phi_f^o$	30
$\gamma_t$	18
$\gamma_m$	25

Ku kemi shenuar :

$\varphi_o$  – kendi i ferkimit te brendshem te materialit te mbushjes ( $^0$ )

$\delta^o$  – kendi i ferkimit te materialit me murin ( $^0$ )

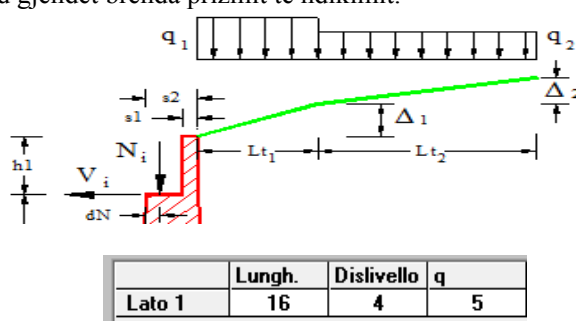
$\varphi_f^o$  – kendi i ferkimit te terrenit ne bazamentin mbeshtetes ( $^0$ )

$\gamma_t$  – pesha volumore e terrenit ( $kN/m^3$ )

$\gamma_m$  – pesha volumore e materialit ndertimor te murit ( $kN/m^3$ )

#### ➤ Ngarkesa mbi mbushje

Ne skeden llogaritese, te ofrohet mundesi te implementohen ngarkesat mbi pjesen e mbushjes (te shenuara ne skicen baze te mesiperme si  $q_1$ ,  $q_2$ ). Ne vijim jane paraqitur futja e ngarkesave mbi mbushje si  $q=5kN/m^2$  edhe pse kjo e fundit mund gjendet brenda prizmit te ndikimit.



#### ➤ Parametrat sizmike

Ashtu sic u shtjellua ne paragrafin mbi teorine e llogaritjes se mureve, parametrat dinamike te cilet nevojiten per llogaritjen e mureve jane koeficientet dinamike sipas drejtimeve vertikale dhe horizontale ( $k_v$  dhe  $k_h$ ) te cilat merren ne funksion te parametrave :  $a_{max}$  - nxitimit maksimal horizontal te sheshit;  $a_g$  - nxitimit maksimal horizontal te sheshit ne terren rigjid (kategoria A-shkemb);

$S$  - faktorit te spektrit reagimit elastik;  $\beta_m$  - koeficientit te reduktimit per nxitimimin maksimal dhe kategorive te tokes.

Sipas "Hartës se ripunuar te nxitimeve maksimale referencë në truall të Tipit A per Republiken e Shqiperise", sheshi i ndertimit te perfshihet ne zonen me Intensitet Sizmik te shkalles 7.5-8.0. Kjo do te thote qe nxitimi maksimal horizontal i sheshit dojete  $a_{max}/g = 0.25$ , i cili i perket zones 2 sipas Eurocode 8. Gjithashtu do pranohet qe faktori i spektrit reagimit elastik qe merr parasysh shtresezimin e terrenit, merret  $S = 1.25$ , per kategori trualli C (shiko tabelen e mesiperme).

#### ➤ Percaktimi i koeficienteve dinamike per dy drejtimet

Sipas procedures se dhene mesiper, behet percaktimi i koeficienteve te shtytes aktive dhe pasive per gjendjen ne situata normale (statike) dhe sizmike. Per situata sizmike do llogaritim gjithashtu edhe koeficientet dinamike per drejtimin horizontal dhe vertikal. Meposhte paraqiten vlerat e ketyre koeficientave te nxjerra nga relacioni i skedes llogaritese automatike.

$$\text{per } \varepsilon \leq \varphi' - \theta \quad k_a = \frac{\sin^2(\psi + \varphi' - \theta)}{\cos \theta \cdot \sin^2 \psi \cdot \sin(\psi - \theta - \delta) \left[ 1 + \sqrt{\frac{\sin(\varphi' + \delta) \cdot \sin(\varphi' - \varepsilon - \theta)}{\sin(\psi - \theta - \delta) \cdot \sin(\psi + \varepsilon)}} \right]^2}$$

$$\text{per } \varepsilon > \varphi' - \theta \quad k_a = \frac{\sin^2(\psi + \varphi' - \theta)}{\cos \theta \cdot \sin^2 \psi \cdot \sin(\psi - \theta - \delta)}$$

$$k_p = \frac{\sin^2(\psi + \varphi' - \theta)}{\cos \theta \cdot \sin^2 \psi \cdot \sin(\psi + \theta) \left[ 1 - \sqrt{\frac{\sin \varphi' \cdot \sin(\varphi' + \varepsilon - \theta)}{\sin(\psi + \varepsilon) \cdot \sin(\psi + \theta)}} \right]^2}$$

$$1. \quad \theta = \arctan\left(\frac{k_n}{1 \pm k_v}\right) \quad 2. \quad \theta = \arctan\left(\frac{\gamma_{sat}}{\gamma_{sat} - \gamma_w} \frac{k_n}{1 \pm k_v}\right) \quad 3. \quad \theta = \arctan\left(\frac{\gamma_d}{\gamma_{sat} - \gamma_w} \frac{k_n}{1 \pm k_v}\right)$$

massima accelerazione al suolo  $a_g/g = 0.25$  (-)  
coefficiente stratigrafico  $S = 1.25$  (-)

Koeficientat dinamike per veprime horizontale dhe vertikale rezultojne:

**Dati Sisma**  $K_v$  **0.0500**  $K_h$  **0.0999**

Ku:  $K_h = \beta_m * a_g * S_s * S_T = 0.31 * 0.25 * 1.25 * 1 = 0.0999$  (referuar parametrave te mesiperm)

$$K_v = 0.5 * K_h = 0.5 * 0.0999 = 0.050$$

Procedohet me tej me percaktimin e presioneve perkatese qe veprojne ne mur sipas koeficientave te percaktuar mesiper.

#### ➤ Ngarkesat vepruese (presionet) rezultante mbi paretin vertikal te murit

Sipas shprehjeve te dhena mesiper behet (tek aspektet teorike te llogaritjes se mureve), behet percaktimi i presioneve vepruese nga mbushja e dheut ne situata statike, ne situata sizmike, nga ngarkesa mbi mbushje, etj.

Meposhte jepen resultatet e llogaritjeve te rezultateve te keture presioneve, perfituar nga skeda llogaritese automatike (softwar-i).

Parete		
St	116.2	kN
Sq	17.54	kN
Ss	0	kN
Si	0	kN
M	206.8	kNm
N	123.2	kN
V	125.0	kN
	?1	
Parete		
St	105.6	kN
Sq	11.69	kN
Ss	45.73	kN
Si	26.65	kN
M	313.5	kNm
N	130.2	kN
V	179.0	kN
	?2	
Parete		
St	105.6	kN
Sq	11.69	kN
Ss	35.48	kN
Si	26.65	kN
M	298.6	kNm
N	119.7	kN
V	169.4	kN
	?3	

Te dhenat e mesiperme rezultojne per rastet:

- 4- Situata josizmike (situata statike);
- 5- Situata sizmike me  $k_v > 0$  (situata me e pafavorshme);
- 6- Situata sizmike me  $k_v < 0$  ;  
ku:

$St$  – Rezultata e presionit nga mbushja e dheut;

*Sq* – Rezultatja e presionit nga ngarkesa mbi mbushje;

*Ss* – Rezultatja e presionit shtese nga veprimet sizmike

*Si* – Rezultatja e presionit nga forcat inerciale sizmike

➤ *Ngarkesat vepruese (presionet) rezultante mbi themelin e murit*

Ashtu sic u citua tek aspektet teorike te llogaritjes se mureve behet percaktimi i presioneve vepruese nga mbushja e dheut ne situata statike, ne situata sizmike, nga ngarkesa mbi mbushje, etj.

Meposhte jepen rezultatet e llogaritjeve te rezultateve te keture presioneve, perfituara. Vlen te theksohet qe rezultantet e presioneve/ngarkesave te transmetuara ne pjesen e themelit merren per te tre situatat (josismike, sizmike +kv, sizmike -kv) duke patur parasysh verifikimet perkatese lidhur me permbyssjen, rreshqitjen dhe spostimin e murit.

<b>Fondazione</b>					
<b>Ribaltamento</b>	<b>Scorrimento</b>	<b>Schiacciamento</b>			
St 174.3	?1	St 158.4	?1	St 158.4	?1
Sq 21.36	Sq 18.51	Sq 18.51			
Ss 0	Ss 0	Ss 0			
Si 0	Si 0	Si 0			

4- Situata josizmike (situata statike);

<b>Fondazione</b>					
<b>Ribaltamento</b>	<b>Scorrimento</b>	<b>Schiacciamento</b>			
St 158.4	?2	St 158.4	?2	St 158.4	?2
Sq 14.24	Sq 14.24	Sq 14.24			
Ss 67.75	Ss 67.75	Ss 67.75			
Si 32.17	Si 32.17	Si 32.17			

5- Situata sizmike me  $k_v > 0$  ;

<b>Fondazione</b>					
<b>Ribaltamento</b>	<b>Scorrimento</b>	<b>Schiacciamento</b>			
St 158.4	?3	St 158.4	?3	St 158.4	?3
Sq 14.24	Sq 14.24	Sq 14.24			
Ss 52.63	Ss 52.63	Ss 52.63			
Si 32.17	Si 32.17	Si 32.17			

6- Situata sizmike me  $k_v < 0$ , (situata me e pafavorshme);

ku:

*St* – Rezultatja e presionit nga mbushja e dheut;

*Sq* – Rezultatja e presionit nga ngarkesa mbi mbushje;

*Ss* – Rezultatja e presionit shtese nga veprimet sizmike

*Si* – Rezultatja e presionit nga forcat inerciale

Presioni i mbipresionit dinamik llogaritet nga diferenca midis presionit total sizmik dhe presionit statik te dheut. Shumatorja e presionit total sizmik jepet nga shprehja:

$$S_{s,tot} = \frac{1}{2} \gamma * H^2 * K_a * (1 \pm k_v)$$

ku:  $H$ - lartesia e murit perfshire edhe lartesine e themelit;  $K_a$ - koeficienti i shtyqes aktive;  $k_v$  eshte koeficienti sizmik vertikal, i dhene ne shprehjet e mesiperme.

*Per te marre efektin e vetem presionit dinamik duhet:*

$$S_{sizmike} = S_{s,tot} - S_{statike}, \text{ ku}$$

$S_{statike} = \frac{1}{2} \gamma * H^2 * K_a$  eshte rezultatja e presioni i shtyqes aktive se dheut e cila merret sipas rasteve ne

funksion te koeficientit te shtyqes aktive  $K_a$  ne situata josizmike

#### ➤ Shtyja e mbingarkeses mbi mbushje

Shtyja horizontale qe vjen si rezultat i ngarkeses mbi mbushje  $S_q$  (statike dhe dinamike), jepet nga shprehja:

$S_q = q * H * K_a$ , sipas kombinimeve te mesiperme dhe situatave verifikuese,  
ku  $q=5kN/m^2$ - ngarkesa mbi prizmin e mbushjes pas murit, ne reference te ngarkesave te levizshme,  
 $K_a$ - koeficienti i shtyqes aktive ne situata statike dhe sizmike

#### ➤ Shtyja pasive mbi themel

Ky presion nuk perfshihet ne skeden e mesiperme per shkak te rezervave te sigurise. Gjithsesi vlera e ketij presioni eshte thelbesore gjate verifikimeve per spostim (rreshqitje) te murit. Per rastin e kontrolleve ne permbysje, nuk jep efekte te konsiderueshme dhe ne shumicen e rasteve neglizhohet.

Presioni pasiv dinamik (statik+dinamik) qe kundershton veprimin e presioneve aktive dhe qe vepron ne pjesen e themeleve, jepet nga shprehja:

$$S_{p,tot} = 0.5 * \frac{1}{2} \gamma * D^2 * K_p * (1 \pm k_v)$$

ku:  $D$ - thelllesia e zhytjes se murit perfshire lartesine e themelit dhe dhemin poshte saj;  $K_p$ - koeficienti i shtyqes pasive;  $k_v$  eshte koeficienti sizmik vertikal i dhene ne shprehjet e mesiperme.

Behet reduktimi me 50% te efektit per arsyte te kushteve jo te favorshme gjate realizimit te punimeve, rekomanduar kjo nga normativa.

Per te marre efektin e vetem presionit dinamik pasiv, mund te perdoret e njejtë llogjike si ajo e dhene mesiperme

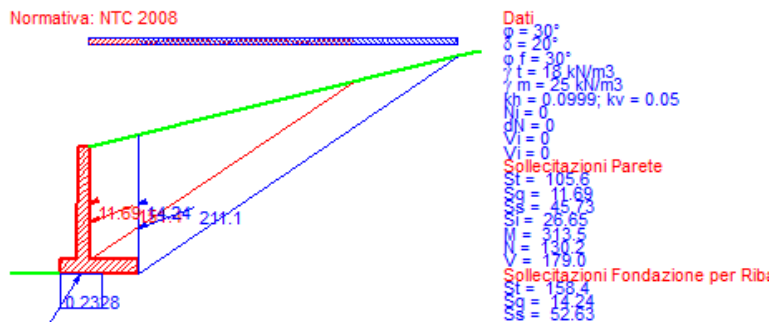
$$S_{p,sizmike} = S_{p,tot} - S_{p,statike}, \text{ ku}$$

$S_{p,statike} = \frac{1}{2} \gamma * D^2 * K_p$  eshte rezultatja e presioni i shtyqes se dheut pasiv, e cila merret sipas rasteve ne

funksion te koeficientit te shtyqes pasive  $K_p$  ne situata josizmike

#### ➤ Realizimi i llogaritjes se murit

*Ne vijim eshte paraqitur grafikisht llogaritia e murit, ku perfshin vlerat e presioneve vepruese, pozicionimin i presioneve rezultante, vlerat e sforcimeve ne taban, etj; per situata me te pafavorshme*



### ➤ Kontrolli ne permbyse

Kontrolli ne permbyse vleresohet sipas faktorit  $F_{s,permbyse}$ , i cili merret nga rapporti mes momentit stabilizues dhe momentit permbyses. Keto momente merren perkundrejt pikes "O" te pozicionuar ne skajin jashtem te themelit (shiko fig. e mesiperme).

Sipas normave te vjetra (tensioneve te lejuara), koeficienti i sigurise (F) duhet te jete  $\geq 1.5$ ; ndersa sipas gjendjes kufitare te fundme, mbi te cilet mbeshtetet EC7, ky koeficient duhet te jete  $\geq 1.0$ ;

$$F_{s,permbyse} = \frac{M_{stab,O}}{M_{perm,O}} \geq 1.5 - \text{per metoden sipas tensioneve te lejuara (metoda klasike)}$$

ose  $F_{s,permbyse} > 1.0$ , per rastin e gjendjes kufitare te fundme (referuar Ec7 ose NTC 2008), e cila merret per rastet kur kemi efektin e  $-k_v$ .

Nga rezultatet e nxjerra nga programmi per situata me te disfavorshme, referuar EC7 , shihet:

Mr	275.7
Ms	603.4
Ms/Mr	2.189

Mr- momenti permbyses (kN\*m)  
Ms- momenti mbajtes (kN\*m)

$F_{s,permbyse} = 2.189$ , dmth  $> 1.0$ , Verifikimi rezulton pozitiv!.

### ➤ Kontrolli ne rreshqitje

Kontrolli ne rreshqitje vleresohet sipas faktorit  $F_{s,rreshqitje}$ , i cili merret nga rapporti mes veprimit te ngarkesave stabilizuese dhe ngarkesave shtytese.

$$F_{s,rreshqitje} = \frac{H_{rezistuese}}{H_{aktive}} \geq 1.3 - \text{per metoden sipas tensioneve te lejuara (metoda klasike)}$$

ose  $F_{s,rreshqitje} > 1.0$ , per rastin e gjendjes kufitare te fundme (referuar Ec7 ose NTC 2008), e cila merret per rastet kur kemi efektin sizmik.

Nga rezultatet e nxjerra nga programmi per situata me te disfavorshme, referuar EC7 , shihet:

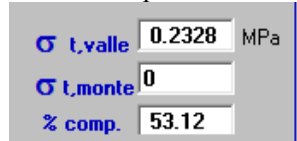
c.scor.	1.063
---------	-------

$F_{s,rreshqitje}$  (situata statike, pa perfshire 50% Pres.pasiv te themelit))=1.063, dmth  $> 1.0$ ,  
 $F_{s,rreshqitje}$  (situata sizmike + 50% Pres.pasiv te themelit) =1.055, dmth  $> 1.0$ ,

Verifikimi rezulton pozitiv!.

➤ Llogaritja e sforcimeve ne tabanin e themelit

Sic shikohet edhe ne figuren e mesiperme ku jepen grafikisht presionet, ne figure paraqiten gjithshtu edhe diagrama e sforcimeve ne taban, e cila rezulton sa meposhte:



$$\sigma_{\max} = 0.2328 \text{ N/mm}^2$$

$$\sigma_{\min} = 0.0 \text{ N/mm}^2$$

➤ Llogaritja e sasise se armatures

Ne vijim eshte paraqitur ne trajte tabelare llogaritja e sasise se armatures per sekson te caktuara te murit.

Armature e Verifiche						
Distanza fra le sezioni	0.5	m	$f_yd$	391	N/mm <sup>2</sup>	
Copriferro	3	cm	Es/Ec	15		Ricalcola
<b>PARETE (d=distanza sezione da base paraghiaia)</b>						
d [m]	M [kNm]	N [kN]	V [kN]	As [cm <sup>2</sup> ]	sig c [MPa]	tau c [MPa]
5	313.5	130.2	179.0	12.45	8.27	0.32
4.5	235.8	111.3	148.7	9.45	7.32	0.28
4	172.1	93.74	121.2	6.94	6.39	0.23
3.5	120.9	77.44	96.46	4.88	5.50	0.19
3	80.97	62.45	74.49	3.24	4.64	0.15
2.5	50.87	48.77	55.29	1.98	3.81	0.12
2	29.24	36.40	38.87	1.07	3.02	0.09
1.5	14.73	25.34	25.23	0.47	2.27	0.06
1	5.953	15.59	14.36	0.13	1.57	0.03
0.5	1.554	7.139	6.263	0.00	0.27	0.02
<b>SUOLA A VALLE (d=distanza sezione da filo parete, As positiva per armatura inferiore)</b>						
d [m]	M [kNm]	V [kN]	As [cm <sup>2</sup> ]	sig c [MPa]	tau c [MPa]	
0	53.05	151.6	2.26	2.87	0.27	
0.5	4.330	43.30	0.18	0.78	0.08	
<b>SUOLA A MONTE (d=distanza sezione da filo parete, As positiva per armatura superiore)</b>						
d [m]	M [kNm]	V [kN]	As [cm <sup>2</sup> ]	sig c [MPa]	tau c [MPa]	

**SHENIM: Meposhte eshte paraqitur rapporti i kontrollit te qendrueshmerise se skarpatave “ne gjuhen italiane” per murin me H=5m, ne zonen Pr.7-11**

## KONTROLLI I QENDRUESHMERISE SE SKARPATAVE TE GERMIMIT

### Relazione di calcolo “

#### Indice

- 1.Dati generali
- 2.Vertici profilo
- 3.Vertici strato .....1
- 4.Vertici strato .....2

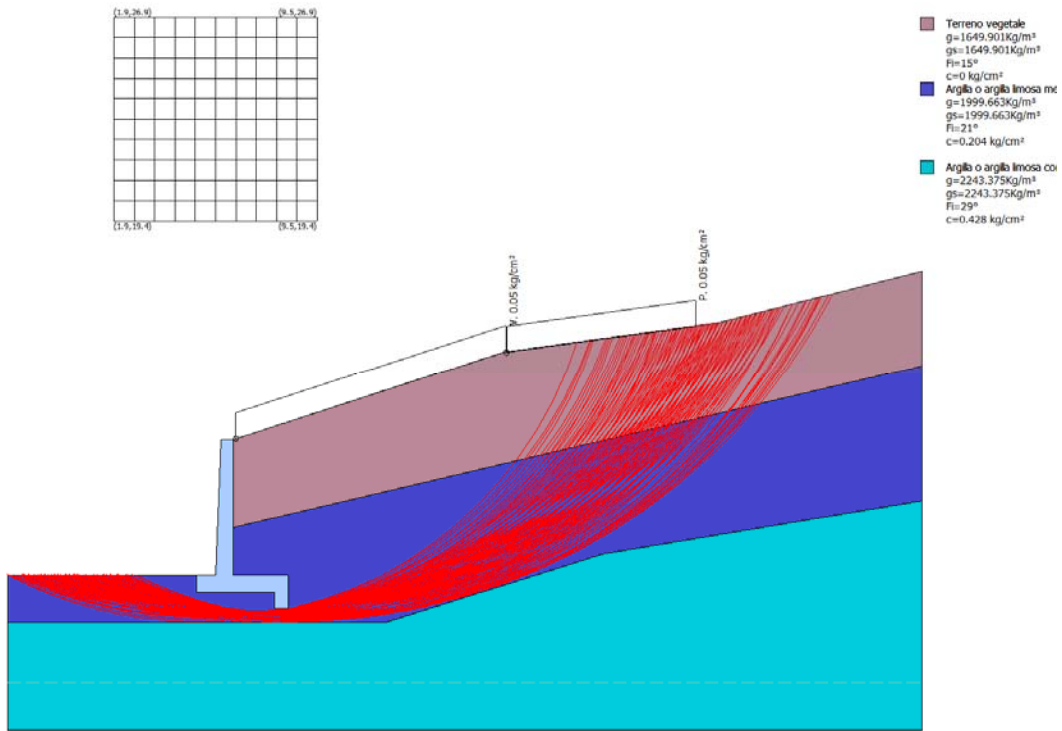
5.Coefficienti parziali azioni

6.Coefficienti parziali per i parametri geotecnici del terreno

7.Stratigrafia

8.Risultati analisi pendio [EC7 - EC8]

Indice



### Definizione

Per pendio s'intende una porzione di versante naturale il cui profilo originario è stato modificato da interventi artificiali rilevanti rispetto alla stabilità. Per frana s'intende una situazione di instabilità che interessa versanti naturali e coinvolgono volumi considerevoli di terreno.

1. . .

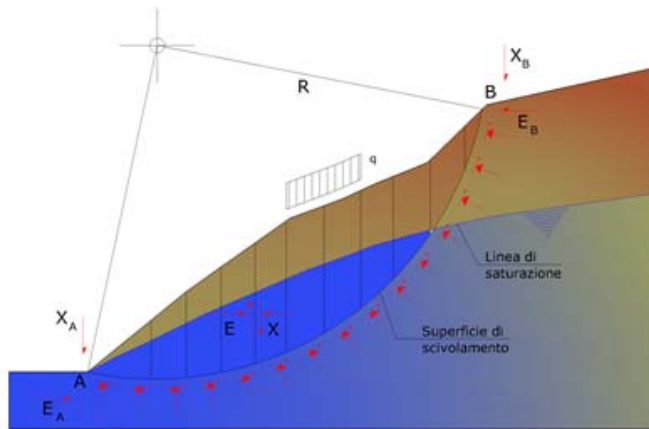
### Metodo equilibrio limite (LEM)

Il metodo dell'equilibrio limite consiste nello studiare l'equilibrio di un corpo rigido, costituito dal pendio e da una superficie di scorrimento di forma qualsiasi (linea retta, arco di cerchio, spirale logaritmica); da tale equilibrio vengono calcolate le tensioni da taglio ( $\tau$ ) e confrontate con la resistenza disponibile ( $\tau_f$ ), valutata secondo il criterio di rottura di Coulomb, da tale confronto ne scaturisce la prima indicazione sulla stabilità attraverso il coefficiente di sicurezza:

$$F = \tau_f / \tau$$

Tra i metodi dell'equilibrio limite alcuni considerano l'equilibrio globale del corpo rigido (Culman), altri a causa della non omogeneità dividono il corpo in conci considerando l'equilibrio di ciascuno (Fellenius, Bishop, Janbu ecc.).

Di seguito vengono discussi i metodi dell'equilibrio limite dei conci.



### Metodo dei conci

La massa interessata dallo scivolamento viene suddivisa in un numero conveniente di conci. Se il numero dei conci è pari a  $n$ , il problema presenta le seguenti incognite:

- $n$  valori delle forze normali  $N_i$  agenti sulla base di ciascun concio;
- $n$  valori delle forze di taglio alla base del concio  $T_i$ ;
- $(n-1)$  forze normali  $E_i$  agenti sull'interfaccia dei conci;
- $(n-1)$  forze tangenziali  $X_i$  agenti sull'interfaccia dei conci;
- $n$  valori della coordinata  $a$  che individua il punto di applicazione delle  $E_i$ ;
- $(n-1)$  valori della coordinata che individua il punto di applicazione delle  $X_i$ ;
- una incognita costituita dal fattore di sicurezza  $F$ .

Complessivamente le incognite sono  $(6n-2)$ .

Mentre le equazioni a disposizione sono:

- equazioni di equilibrio dei momenti  $n$ ;
- equazioni di equilibrio alla traslazione verticale  $n$ ;
- equazioni di equilibrio alla traslazione orizzontale  $n$ ;
- equazioni relative al criterio di rottura  $n$ .

Totale numero di equazioni  $4n$ .

Il problema è staticamente indeterminato ed il grado di indeterminazione è pari a :

$$i = (6n - 2) - (4n) = 2n - 2$$

Il grado di indeterminazione si riduce ulteriormente a  $(n-2)$  in quanto si fa l'assunzione che  $N_i$  sia applicato nel punto medio della striscia. Ciò equivale ad ipotizzare che le tensioni normali totali siano uniformemente distribuite.

I diversi metodi che si basano sulla teoria dell'equilibrio limite si differenziano per il modo in cui vengono eliminate le  $(n-2)$  indeterminazioni.

$$F_{sm} = F_{sf}$$

### Valutazione dell'azione sismica

La stabilità dei pendii nei confronti dell'azione sismica viene verificata con il metodo pseudo-statico. Per i terreni che sotto l'azione di un carico ciclico possono sviluppare pressioni interstiziali elevate viene considerato un aumento in percento delle pressioni neutre che tiene conto di questo fattore di perdita di resistenza.

Ai fini della valutazione dell'azione sismica vengono considerate le seguenti forze:

$$F_H = K_x W$$

$$F_V = K_y W$$

Essendo:

- **F<sub>H</sub>** e **F<sub>V</sub>** rispettivamente la componente orizzontale e verticale della forza d'inerzia applicata al baricentro del concio;
- **W** peso concio;
- **K<sub>x</sub>** coefficiente sismico orizzontale;
- **K<sub>y</sub>** coefficiente sismico verticale.

### Ricerca della superficie di scorrimento critica

In presenza di mezzi omogenei non si hanno a disposizione metodi per individuare la superficie di scorrimento critica ed occorre esaminarne un numero elevato di potenziali superfici.

Nel caso vengano ipotizzate superfici di forma circolare, la ricerca diventa più semplice, in quanto dopo aver posizionato una maglia dei centri costituita da m righe e n colonne saranno esaminate tutte le superfici aventi per centro il generico nodo della maglia m×n e raggio variabile in un determinato range di valori tale da esaminare superfici cinematicamente ammissibili.

### Analisi di stabilità dei pendii con: JANBU (1967)

Calcolo eseguito secondo	EC7 - EC8
Numero di strati	3.0
Numero dei conci	10.0
Grado di sicurezza ritenuto accettabile	1.0
Coefficiente parziale resistenza	1.0
Parametri geotecnici da usare. Angolo di attrito:	Picco
Analisi	Condizione drenata
Superficie di forma circolare	

### Maglia dei Centri

Ascissa vertice sinistro inferiore xi	1.94 m
Ordinata vertice sinistro inferiore yi	19.35 m
Ascissa vertice destro superiore xs	9.46 m
Ordinata vertice destro superiore ys	26.88 m
Passo di ricerca	10.0
Numero di celle lungo x	10.0
Numero di celle lungo y	10.0

### Sisma

Coefficiente azione sismica orizzontale	0.1
Coefficiente azione sismica verticale	0.05

### Vertici profilo

Nr	X (m)	y (m)
1	-2.0	6.25
2	5.0	6.25
3	5.7	6.25
4	6.35	11.25
5	6.35	11.25
6	16.35	14.5
7	24.35	15.6
8	31.85	17.5

**Vertici strato .....1**

N	X (m)	y (m)
1	-2.0	6.25
2	5.0	6.25
3	5.7	6.25
4	6.35	8.0
5	31.85	14.0

**Vertici strato .....2**

N	X (m)	y (m)
1	-2.0	4.5
2	12.0	4.5
3	20.0	7.0
4	31.85	9.0

**Coefficienti parziali azioni**

Sfavorevoli: Permanenti, variabili	1.0	1.0
Favorevoli: Permanenti, variabili	1.0	1.0

**Coefficienti parziali per i parametri geotecnici del terreno**

Tangente angolo di resistenza al taglio	1.25
Coesione efficace	1.25
Coesione non drenata	1.4
Riduzione parametri geotecnici terreno	No

**Stratigrafia**

Strato	Coesione (kg/cm <sup>2</sup> )	Coesione non drenata (kg/cm <sup>2</sup> )	Angolo resistenza al taglio (°)	Peso unità di volume (Kg/m <sup>3</sup> )	Peso saturo (Kg/m <sup>3</sup> )	Litologia	
1	0		15	1649.901	1649.901	Terreno vegetale	
2	0.204		21	1999.663	1999.663	Argilla o argilla limosa media	
3	0.428		29	2243.375	2243.375	Argilla o argilla limosa consistente	

**Carichi distribuiti**

N°	x <sub>i</sub> (m)	y <sub>i</sub> (m)	x <sub>f</sub> (m)	y <sub>f</sub> (m)	Carico esterno (kg/cm <sup>2</sup> )
1	6.44	11.29	16.44	14.54	0.05
2	16.48	14.51	23.48	15.4725	0.05

**Risultati analisi pendio [EC7 - EC8]**

Fs minimo individuato	1.1
Ascissa centro superficie	4.95 m
Ordinata centro superficie	20.1 m
Raggio superficie	15.5 m

**Numero di superfici esaminate....(122)**

N°	Xo	Yo	Ro	Fs
KLODIODA Sh.p.k				

1	4.9	19.4	14.8	1.11
2	5.3	19.7	15.1	1.15
3	5.7	19.4	14.7	1.15
4	6.1	19.7	15.0	1.15
5	6.5	19.4	14.6	1.14
6	6.8	19.7	14.9	1.15
7	7.2	19.4	14.6	1.14
8	7.6	19.7	15.1	1.16
9	8.0	19.4	14.6	1.16
10	8.3	19.7	15.0	1.17
11	8.7	19.4	14.6	1.18
12	9.1	19.7	15.0	1.19
13	9.5	19.4	14.7	1.20
14	4.9	20.1	15.5	1.10
15	5.3	20.5	15.8	1.17
16	5.7	20.1	15.4	1.16
17	6.1	20.5	15.7	1.16
18	6.5	20.1	15.3	1.15
19	6.8	20.5	15.7	1.16
20	7.2	20.1	15.3	1.16
21	7.6	20.5	15.7	1.17
22	8.0	20.1	15.3	1.17
23	8.3	20.5	15.7	1.19
24	8.7	20.1	15.4	1.19
25	9.1	20.5	15.8	1.21
26	9.5	20.1	15.5	1.22
27	5.3	21.2	16.5	1.18
28	5.7	20.9	16.1	1.17
29	6.1	21.2	16.5	1.17
30	6.5	20.9	16.1	1.16
31	6.8	21.2	16.4	1.18
32	7.2	20.9	16.0	1.17
33	7.6	21.2	16.4	1.19
34	8.0	20.9	16.0	1.19
35	8.3	21.2	16.4	1.20
36	8.7	20.9	16.1	1.20
37	9.1	21.2	16.5	1.23
38	9.5	20.9	16.2	1.24
39	5.3	22.0	17.3	1.19
40	5.7	21.6	16.9	1.18
41	6.1	22.0	17.2	1.18
42	6.5	21.6	16.8	1.18
43	6.8	22.0	17.2	1.19
44	7.2	21.6	16.8	1.19
45	7.6	22.0	17.1	1.20
46	8.0	21.6	16.8	1.20
47	8.3	22.0	17.2	1.21
48	8.7	21.6	16.8	1.22
49	9.1	22.0	17.3	1.24
50	9.5	21.6	16.9	1.25
51	5.3	22.7	18.0	1.20
52	5.7	22.4	17.6	1.19
53	6.1	22.7	17.9	1.20
54	6.5	22.4	17.5	1.19
55	6.8	22.7	17.9	1.20
56	7.2	22.4	17.5	1.20
57	7.6	22.7	17.9	1.21
58	8.0	22.4	17.5	1.21
59	8.3	22.7	17.9	1.23
60	8.7	22.4	17.6	1.24
61	9.1	22.7	18.0	1.26

62	9.5	22.4	17.7	1.26
63	5.7	23.1	18.3	1.20
64	6.1	23.5	18.7	1.21
65	6.5	23.1	18.3	1.21
66	6.8	23.5	18.6	1.22
67	7.2	23.1	18.3	1.21
68	7.6	23.5	18.6	1.23
69	8.0	23.1	18.3	1.23
70	8.3	23.5	18.7	1.25
71	8.7	23.1	18.3	1.25
72	9.1	23.5	18.7	1.27
73	9.5	23.1	18.4	1.27
74	5.7	23.9	19.1	1.22
75	6.1	24.2	19.4	1.22
76	6.5	23.9	19.0	1.22
77	6.8	24.2	19.4	1.23
78	7.2	23.9	19.0	1.23
79	7.6	24.2	19.4	1.24
80	8.0	23.9	19.0	1.25
81	8.3	24.2	19.4	1.26
82	8.7	23.9	19.1	1.26
83	9.1	24.2	19.7	1.27
84	9.5	23.9	19.1	1.27
85	5.7	24.6	19.8	1.23
86	6.1	25.0	20.2	1.24
87	6.5	24.6	19.8	1.23
88	6.8	25.0	20.1	1.24
89	7.2	24.6	19.7	1.24
90	7.6	25.0	20.1	1.26
91	8.0	24.6	19.8	1.26
92	8.3	25.0	20.1	1.27
93	8.7	24.6	19.8	1.27
94	9.1	25.0	20.4	1.26
95	9.5	24.6	19.9	1.26
96	5.7	25.4	20.6	1.24
97	6.1	25.8	20.9	1.25
98	6.5	25.4	20.5	1.25
99	6.8	25.8	20.9	1.26
100	7.2	25.4	20.5	1.26
101	7.6	25.8	20.9	1.27
102	8.0	25.4	20.5	1.27
103	8.3	25.8	21.2	1.27
104	8.7	25.4	20.8	1.26
105	9.1	25.8	21.1	1.25
106	9.5	25.4	20.6	1.24
107	5.7	26.1	21.3	1.26
108	6.1	26.5	21.6	1.27
109	6.5	26.1	21.3	1.26
110	6.8	26.5	21.6	1.27
111	7.2	26.1	21.2	1.27
112	7.6	26.5	21.6	1.28
113	8.0	26.1	21.2	1.28
114	8.3	26.5	22.0	1.26
115	8.7	26.1	21.6	1.25
116	9.1	26.5	21.7	1.24
117	9.5	26.1	21.4	1.30
118	6.5	26.9	22.0	1.27
119	7.2	26.9	22.0	1.28
120	8.0	26.9	22.4	1.27
121	8.7	26.9	22.3	1.24
122	9.5	26.9	22.1	1.31



## **LLOGARITJA NUMERIKE E PERDEVE ME PILOTA D=60/60CM**

(shembull aplikimi Pr.1-3)

➤ **HYRJE**

Verifikimet e perdeve me pilota, jane te pergatitura ne perputhje me projektin gjeomtrik te rruges dhe skarpatave te saj, bazuar ne te dhenat e meposhtme:

➤ **GJEOLOGJIA**

Per shtresat e tokes ne te cilat do te ndertohen perdet me pilota eshte marre si reference studimi gjeologjik i bere nga shoqeria. Toka ne te cilen do te zhyten perdet me pilota i perkasin kategorive C (sipas Eurocode 7).

➤ **SIZMICITETI**

Ashtu sic u pasqyrua edhe tek pjesa e ngarkesave dhe veprimeve ne veprat e artit, edhe ne rastin e mbrojtjeve me perde me pilota, per percaktimin e sizmicitetit te zones ku shtrihet sheshi i ketyre strukturave, jemi mbeshtetur ne harten e rajonizimit sizmik sipas hartes te vitit '78, (referuar KTP-N.2-89) si dhe ne "Harten e ripunuar te nxitimeve maksimale referencë ne truall te Tipit A" Tirane 2010, me autor Aliaj, Sh.; Koçi, S.; Muço, B.; Sulstarova, E.. Sipas ketij raporti, sheshi i ndertimit te perfshihet ne zonen me Intensitet Sizmik te shkalles 7.5-8.0 (nxitimi maksimal horizontal i sheshit  $a_{max}/g = 0.20-0.25$ ), i cili i perket zones 2 sipas Eurocode 8.

Zona sizmike sipas EC8	(a/g = 0.25)
Kategoria e dherave	C
Spektri elastik	Gjendja e fundit limite
Faktori i rendesise	1.2

➤ **GJENDJA E FUNDIT LIMITE**

Perqindja e shuarjes	5%
Numri i formave modale	22
Faktori i sjelljes	$q = 3.5$

➤ **PARAMETRAT SIZMIK**

Kendi i sizmicitetit ne plan horizontal	$90^\circ$
Sizmiciteti Vertikal	Jo
Kombinimet e veprimit sizmik	Eurocode 8
Spektri elastik	Type 1 ( $M > 5.5$ )

➤ **LLOGARITJA E MODELIT**

Perdet e pilotave jane llogaritur me ane te programit **Tower v.7** e kompanise Radimpex. Futja e te dhenave dhe llogaritjet eshte bere duke marre per baze normativat Europiane te cilat jane ne menyre te konsiderueshme me kerkuese se normativat tona.

Per te dhenat e futura ne programin **Tower v.7**, jane bere duke marre parasysh keto tregues te cilet ndikojne ne llogaritjet statike dhe sizmike te ndertimit.

- Vlera e pershpjemitit sizmik  $a_g$ , e cila perfaqeson reportin midis tokes dhe pershpjimin e renies se lire g, eshte marre 0.25. Ky koeficient eshte perdorur per toka me sizmicitet te shkalles Rihter te barabarte me 7.5-8.
- Per shkak te funksionit te tij, koeficienti per rendesine e objektit eshte marre i barabarte me 1.2 ne perputhje te plete me normativat dhe modelimet e Eurocode.
- Ne llogaritjen e strukturave, per kombinimet sizmike, koeficienti sizmik i kombinimit per veprimin sizmik eshte marre nga EC dhe Standartet e vendit tone.

➤ **MODULI I SHTRESES -  $K_s$  (Koeficienti i sustes ne modelimin e bazamentit)**

Moduli i shtreses lidh ne menyre te persosur presionin e dheut me zhvendosjen. Mund te thuhet qe presioni i dheut dhe forcat e brendshme (momentet), ndikohen pak nga ky. Ky perfundim na con ne faktin qe rigjiditeti i elementeve te struktures eshte per gjithesisht 10 here me i madh se rigjiditeti i terrenit i shprehur nga  $k_s$ .

$$k_s = A_s + B_s \cdot z^n \quad \text{ose} \quad k_s = 40 q_{ult}, \quad \text{ku :}$$

$A_s$ - Konstantaj per elementet vertikale dhe horizontale e cila llogaritet sipas shprehjes se meposhtme :

$$A_s = C \cdot (c \cdot N_c + 0.8 \cdot \gamma \cdot B \cdot N_y)$$

$B_s$ - koeficienti i thellesise

$$B_s = C \cdot (\gamma \cdot N_q)$$

$z$ - thellesia

$n$ - eksponent, percaktues i  $k_s$

$c$ - Kohezioni i shtresave te tokes

$\gamma$ - Pesha specifike e shtresave te tokes

$B$ - Diametri ose gjeresia e pilotave

Ne shprehjet e mesiperme, koeficientet e Terzaghi-t ose Hansen mund te perdoren per te llogaritur kapacitetin mbajtes kufirar (shikon tabelat e meposhtme). Koeficienti C arrin vleren 40 (sipas sistemit SI) per gjendjen limite, nese arrihet nje zhvendosje prej  $d=2.54\text{cm}$  ( $1''$ ).

Ne menyre qe ta shmanget vlera te pafundme te koeficientit te shtreses shprehja ekzakte per llogaritjen e  $k_s$  eshte si me poshte :

$$k_s = A_s + B_s \cdot \tan^{-1} \frac{z}{B}$$

Per pilota te zhytura ne tokat e shkrifta do te perdoret shprehja e meposhtme:

$$k_s = s_1 \cdot A_s + s_2 \cdot B_s \cdot z^n$$

Ku koeficientet e formes  $s_1$  dhe  $s_2$  merren te barabarte me 1 ne rastin e pilave me seksion katerkendor ndersa per pilota me seksion rrethor merren :

$$s_1=1.3-1.7 \quad s_2=2.0-4.4$$

Tabela 1. Koeficientet e Terzaghi-t

$\phi$	$N_c$	$N_q$	$N_r$
0	5.7	1.0	0.0
5	7.3	1.6	0.5
10	9.6	2.7	1.2
15	12.9	4.4	2.5
20	17.7	7.4	5.0
25	25.1	12.7	9.7
30	37.2	22.5	19.7
34	52.6	36.5	36.0
35	57.8	41.4	42.4
40	95.7	81.3	100.4
45	172.3	173.3	297.5
48	258.3	287.9	780.1
50	347.5	415.1	1153.2

Ne mund te dyfishojme vleren e "C" nga 40 ne 80 per te vleresuar efektin e presionit perreth pilotes

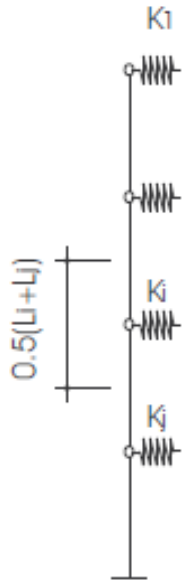
Tabela 2. Koeficientet Hansen

$\phi$	$N_c$	$N_q$	$N_r$
0	5.14	1.0	0.0
5	6.49	1.6	0.1
10	8.34	2.5	0.4
15	10.97	3.9	1.2
20	14.83	6.4	2.9
25	20.71	10.7	6.8
26	22.25	11.8	7.9
28	25.79	14.7	10.9
30	30.13	18.4	15.1
32	35.47	23.2	20.8
34	42.14	29.4	28.7
36	50.55	37.7	40.0
38	61.31	48.9	56.1
40	75.25	64.1	79.4
45	133.73	134.7	200.5
50	266.50	318.5	567.4

### **Koeficienti i sustes se Winkler-it**

Koeficienti i sustes  $k_s (F/L^3)$  jepet nga koeficienti i sistemit te modelimit te terrenit  $K_i (F/L)$  nepermjet shprehjes se meposhtme:

$$K_i = \frac{L_i + L_j}{2} \cdot B \cdot k_s$$



Per llogaritjen e ketij koeficienti, ne mund te perdomim shprehjen e mesiperme dhe parametrat sipas autoreve te permendur me siper.

### **Te dhenat numerike**

#### Karakteristikat e perdeve me pilota:

Diametri  $D_p = 0.6m$

Moduli i elasticitetit  $E_p = 200000 \text{ MPa}$

Momenti i inercise per seksionin e pilotes  $I = 0.02009 \text{ m}^4$

#### Terreni perbehet nga shtresat me karakteristikat e meposhtme:

#### **Shtresa 1**

Dhera te hedhura

#### **Shtresa 2 (suargjila)**

$\gamma = 19.8 \text{ kN/m}^3$ ;  $\rho = 27.2 \text{ kN/m}^3$ ;

Kohezioni  $c = 20 \text{ kN/m}^2$

Kendi i ferkimit  $\phi=18^0$

Moduli i deformimit  $E=8000\text{kN/m}^2$

**Shtresa 3 (suargjila dhe surera)**

$\gamma = 19.8\text{kN/m}^3$ ;  $\rho = 27.2\text{kN/m}^3$ ;

Kohezioni  $c=30\text{kN/m}^2$

Kendi i ferkimit  $\phi=21^0$

Moduli i deformimit  $E=24500\text{kN/m}^2$

**Shtresa 3 (argjilit, formacion rrenjesor)**

$\gamma = 22.4\text{kN/m}^3$ ;  $\rho = 26.7\text{kN/m}^3$ ;

Kohezioni  $c=42\text{kN/m}^2$

Kendi i ferkimit  $\phi=29^0$

Moduli i deformimit  $E=650 \text{ kN/m}^2$

Rezistenza ne shtypje njeboshtore  $R=18\text{kg/cm}^2$

Me poshte jane paraqitur llogaritjet e koeficientit te shtresave per thellesi te ndryshme, duke marre parasysh parametrat e shtresave te tokes te mesiperme. Llogaritjet e paraqitura ne vijim jane per nje rast te per gjithhem perfaquesues per segmentin .

	$\gamma$	c Kohesion	$\phi$ Kendi Ferkimit	$z$ Thellesia	Diametri B	C	$N_c$	$N_y$	$N_q$	$K_s$ Koef .Shtr.	0.5 (Li+Lj)	$K_i$ Koefic .Shtr.
	kN/m <sup>3</sup>	kN/m <sup>2</sup>	0	m	m					kN/m <sup>3</sup>	m	kN/m
Shtr. 2	19	0	18	0	0.6	80	15.78	6.2	4	3,675.4	0.0	-
	19	0	18	1	0.6	80	15.78	6.2	4	15,835.4	1.0	9,501.2
	19	0	18	2	0.6	80	15.78	6.2	4	27,995.4	1.0	16,797.2
	19	0	18	3	0.6	80	15.78	6.2	4	40,155.4	1.0	24,093.2
	19	0	18	4	0.6	80	15.78	6.2	4	52,315.4	1.0	31,389.2
Shtr. 3	19.8	30	21	5	0.6	80	19.2	8.46	5.94	159,219.8	1.0	95,531.9
	19.8	30	21	6	0.6	80	19.2	8.46	5.94	178,037.8	1.0	106,822.7
	19.8	30	21	7	0.6	80	19.2	8.46	5.94	196,855.7	1.0	118,113.4
	19.8	30	21	8	0.6	80	19.2	8.46	5.94	215,673.6	1.0	129,404.2
	19.8	30	21	9	0.6	80	19.2	8.46	5.94	234,491.5	1.0	140,694.9
Shtr. 4	22.4	42	29	10	0.6	80	34.8	20.5	17.7	800,701.4	1.0	480,420.9
	22.4	42	29	11	0.6	80	34.8	20.5	17.7	864,138.2	1.0	518,482.9
	22.4	42	29	12	0.6	80	34.8	20.5	17.7	927,575.0	1.0	556,545.0
	22.4	42	29	13	0.6	80	34.8	20.5	17.7	991,011.8	1.0	594,607.1

Tabela 3 – Llogaritjet e koeficientit te shtresave nga Hansen, V-2 (me mos marrjen ne konsiderate te kohezionit te shtreses “2”)

	$\gamma$ kN/m <sup>3</sup>	c Kohesion kN/m <sup>2</sup>	$\phi$ Kendi Ferkimit 0	z Thellesia m	Diametri B m	C	N <sub>c</sub>	N <sub>y</sub>	N <sub>q</sub>	K <sub>s</sub> Koef .Shtr. kN/m <sup>3</sup>	0.5 (Li+Lj) m	K <sub>i</sub> Koe fic .Shtr. kN/m
	kN/m <sup>3</sup>	kN/m <sup>2</sup>	0	m	m						m	
<b>Shtr. 2</b>	19	0	18	0	0.6	80	13.28	5.4	2.22	3,201.1	0.0	-
	19	0	18	1	0.6	80	13.28	5.4	2.22	9,949.9	1.0	5,970.0
	19	0	18	2	0.6	80	13.28	5.4	2.22	16,698.7	1.0	10,019.2
	19	0	18	3	0.6	80	13.28	5.4	2.22	23,447.5	1.0	14,068.5
	19	0	18	4	0.6	80	13.28	5.4	2.22	30,196.3	1.0	18,117.8
<b>Shtr. 6</b>	19.8	30	21	5	0.6	80	16.06	7.26	3.68	112,883.3	1.0	67,730.0
	19.8	30	21	6	0.6	80	16.06	7.26	3.68	124,541.6	1.0	74,724.9
	19.8	30	21	7	0.6	80	16.06	7.26	3.68	136,199.8	1.0	81,719.9
	19.8	30	21	8	0.6	80	16.06	7.26	3.68	147,858.1	1.0	88,714.8
	19.8	30	21	9	0.6	80	16.06	7.26	3.68	159,516.3	1.0	95,709.8
<b>Shtr. 7</b>	22.4	42	29	10	0.6	80	27.96	16.55	13.0	599,615.7	1.0	359,769.4
	22.4	42	29	11	0.6	80	27.96	16.55	13.0	646,207.7	1.0	387,724.6
	22.4	42	29	12	0.6	80	27.96	16.55	13.0	692,799.7	1.0	415,679.8
	22.4	42	29	13	0.6	80	27.96	16.55	13.0	739,391.7	1.0	443,635.0

Tabela 4 – Llogaritjet e koeficientit te shtresave nga Terzaghi, V-2 (pa marrjen ne konsiderate te kohezionit te shtreeses “2”)

	<b>E<sub>s</sub></b> Moduli i deformimi t	<b>B</b> Diametri i pilotes	<b>μ</b> Koefic. Poisonit	<b>E<sub>f</sub></b> Moduli Elast Piles	<b>I<sub>f</sub></b> Mom. i Inertesise se Seks.	<b>ks -Formula llog.</b>	<b>K<sub>s</sub></b> Koef. Shtreses.	<b>(L<sub>el</sub>)</b>	<b>K<sub>i</sub></b> Koefic i Shtreses
	kN/m <sup>2</sup>	m	0	kN/m <sup>2</sup>	kN/m <sup>2</sup>		kN/m <sup>3</sup>		kN/m
Shtr.2	8,000.00	0.6	0.3	200,000,000.0	0.0063585		6,846.5	1.0	4,792.5
Shtr.3	24,500.0	0.6	0.3	200,000,000.0	0.0063585	$k_s = \frac{0.65}{B} \sqrt[12]{\frac{E_s B^4}{E_f I_f}} \frac{E_s}{1 - \mu^2}$	23,016.1	1.0	16,111.3
Shtr.4	65,000.00	0.6	0.3	200,000,000.0	0.0063585		66,233.5	1.0	46,363.5

Tabela 5 – Llogaritjet e koeficientit te shtresave nga Vesic

Nga tabelat e mesiperme shikojme qe vlerat minimale te  $k_s$ , perfitohen nga shprehjet e Terzaghi-Hansen:

$$K_1=590.7\text{kN/m} \text{ (shtresa 2)}$$

$$K_2=67730.0\text{kN/m} \text{ (shtresa 3)}$$

$$K_3=359769.4\text{kN/m} \text{ (shtresa 4)}$$

Nga tabelat e mesiperme shikojme qe vlerat minimale te  $k_s$ , perfitohen nga shprehjet e

Vesic.

$$K_1=4792.5\text{kN/m} \text{ (shtresa 2)}$$

$$K_2=16111.3\text{kN/m} \text{ (shtresa 3)}$$

$$K_3=46363.5\text{kN/m} \text{ (shtresa 4)}$$

*Ne vijim paraqitet ne menyre te permledhur rapporti i llogaritjeve, nxjerre nga modeli numerik me elemente te fundem sipas ngarkesave vepruese, konform normave te pasqyruara mesiper duke marre ne konsiderate gjithashtu bashkeprimin truall-strukture te modeluar me susta me shtangesi sipas vlerave minimale te perfituar mesiper (vlerat e  $K_s$  nga Vesic).*

### Përbajtja

Vetitë themelore të modelit \_\_\_\_\_

Të dhënat hyrëse

Të dhënat hyrëse - Struktura \_\_\_\_\_

Të dhënat hyrëse - Ngarkesa \_\_\_\_\_

Rezultatet

Analiza Modale \_\_\_\_\_

Analiza sizmike \_\_\_\_\_

Analiza strukturore \_\_\_\_\_

Projektimi (beton) \_\_\_\_\_

**Vetitë themelore të modelit**

Baza e të dhënavë: m1.twp  
Data e analizës: 8.11.2018

Lloji i analizës: 3D modeli

- Teoria Lineare     Analiza Modale     Qëndrueshmëria  
 Teoria jo-lineare     Analiza sizmike     Faza e Ndërtimit  
 Analiza jolineare

**Madhësia e modelit**

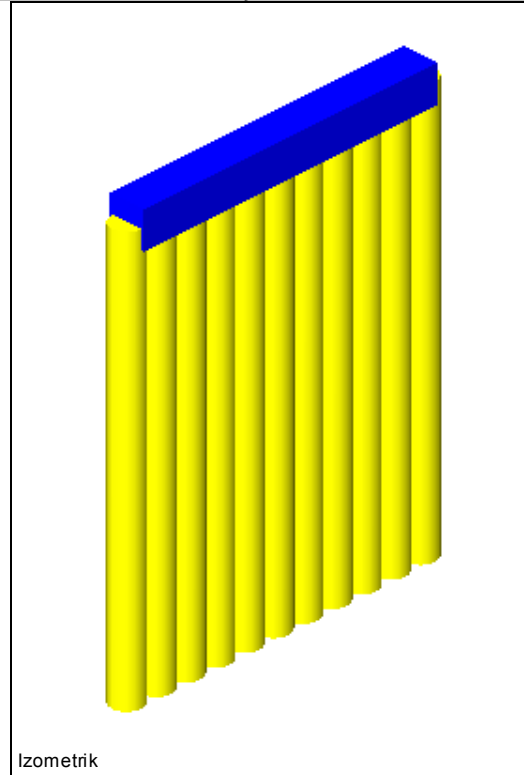
Numri i nyjeve: 187  
Numri i elementëve 0  
sipërfaqësorë:  
Numri i trarëve: 186  
Numri i elementëve kufitarë: 1089  
Numri i rasteve themelorë të ngarkimit: 5  
Numri i kombinimeve të ngarkesave: 78

**Njësitë**

Gjatësia: m [cm,mm]  
Forca: kN  
Temperatura: Celsius

RAPORT I LLOGARITJEVE STRUKTURORE

*Të dhënrat hyrëse - Struktura*



Skema e niveleve

Emri	z [m]	h [m]		
	0.00	3.00		
	-3.00	5.00		-8.00

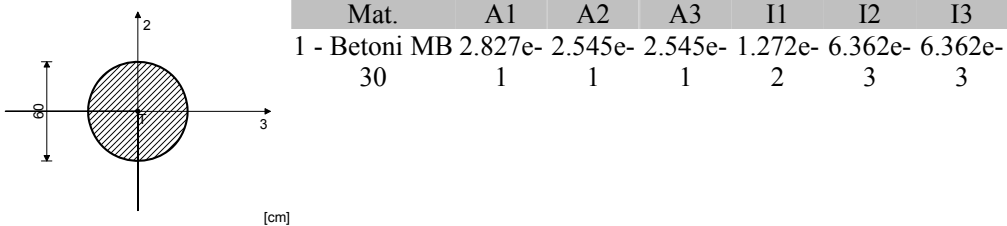
Tabela e materialeve

No	Emri i materialit	E[kN/m <sup>2</sup> ]	$\mu$	$\gamma$ [kN/m <sup>3</sup> ]	$\alpha t$ [1/C]	Em[kN/m <sup>2</sup> ]	$\mu m$
1	Betoni MB 30	3.150e+7	0.2 0	25.00	1.000e-5	3.150e+7	0.2 0

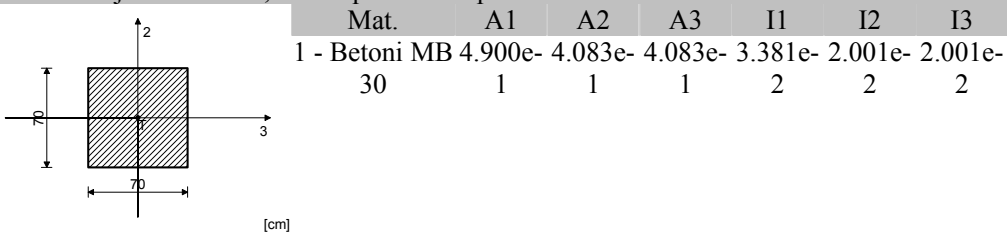
Setet e traut

RAPORT I LLOGARITJEVE STRUKTURORE

**Set: 1 Prerja: D=60, Jashtëqendërsia e përafruar**

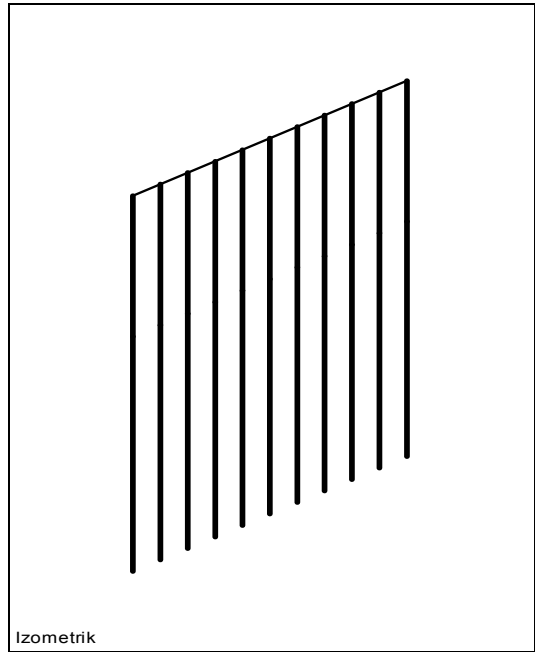


**Set: 2 Prerja: b/d=70/70, Jashtëqendërsia e përafruar**



**Setet e mbështetjes lineare**

Set	K,R1	K,R2	K,R3	K,M1	Dheu [m]
1	4.793e+3	4.793e+3	4.793e+3		0.600
2	1.611e+4	1.611e+4	1.611e+4		0.600



**RAPORT I LLOGARITJEVE STRUKTURORE**

---

***Të dhënrat hyrëse - Ngarkesa***

**Lista e rasteve të ngarkimit**

LC	Emri
1	P.V (g)
2	Presioni i dheut
3	Presion mbushjeje
4	Presioni nga sizmika
5	sx
6	Komb.: 1.35xI+1.35xII+1.5xIII
7	Komb.: 1.35xI+II+1.5xIII
8	Komb.: I+1.35xII+1.5xIII
9	Komb.: I+II+1.5xIII
10	Komb.: I+II+0.3xIII+V
11	Komb.: I+II+0.3xIII+IV
12	Komb.: I+II+0.3xIII-1xIV
13	Komb.: I+II+0.3xIII-1xV
14	Komb.: I+II-1xIV
15	Komb.: I+II+IV
16	Komb.: I+II-1xV
17	Komb.: I+II+V
18	Komb.: 1.35xI+1.35xII
19	Komb.: I+1.35xII
20	Komb.: 1.35xI+II
21	Komb.: I+II
22	Komb.: 1.35xI
23	Komb.: 1.35xII
24	Komb.: 1.35xI+1.35xII
25	Komb.: III
26	Komb.: 1.35xI+III
27	Komb.: 1.35xII+III
28	Komb.: 1.35xI+1.35xII+III
29	Komb.: IV
30	Komb.: 1.35xI+IV
31	Komb.: 1.35xII+IV
32	Komb.: 1.35xI+1.35xII+IV
33	Komb.: III+IV
34	Komb.: 1.35xI+III+IV
35	Komb.: 1.35xII+III+IV
36	Komb.: 1.35xI+1.35xII+III+IV
37	Komb.: V
38	Komb.: 1.35xI+V
39	Komb.: 1.35xII+V
40	Komb.: 1.35xI+1.35xII+V
41	Komb.: III+V

**RAPORT I LLOGARITJEVE STRUKTURORE**

---

42	Komb.: 1.35xI+III+V
43	Komb.: 1.35xII+III+V
44	Komb.: 1.35xI+1.35xII+III+V
45	Komb.: IV+V
46	Komb.: 1.35xI+IV+V
47	Komb.: 1.35xII+IV+V
48	Komb.: 1.35xI+1.35xII+IV+V
49	Komb.: III+IV+V
50	Komb.: 1.35xI+III+IV+V
51	Komb.: 1.35xII+III+IV+V
52	Komb.: 1.35xI+1.35xII+III+IV+V
53	Komb.: 1.35xI
54	Komb.: 1.35xII
55	Komb.: 1.35xI+1.35xII
56	Komb.: III
57	Komb.: 1.35xI+III
58	Komb.: 1.35xII+III
59	Komb.: 1.35xI+1.35xII+III
60	Komb.: IV
61	Komb.: 1.35xI+IV
62	Komb.: 1.35xII+IV
63	Komb.: 1.35xI+1.35xII+IV
64	Komb.: III+IV
65	Komb.: 1.35xI+III+IV
66	Komb.: 1.35xII+III+IV
67	Komb.: 1.35xI+1.35xII+III+IV
68	Komb.: -1xV
69	Komb.: 1.35xI-1xV
70	Komb.: 1.35xII-1xV
71	Komb.: 1.35xI+1.35xII-1xV
72	Komb.: III-1xV
73	Komb.: 1.35xI+III-1xV
74	Komb.: 1.35xII+III-1xV
75	Komb.: 1.35xI+1.35xII+III-1xV
76	Komb.: IV-1xV
77	Komb.: 1.35xI+IV-1xV
78	Komb.: 1.35xII+IV-1xV
79	Komb.: 1.35xI+1.35xII+IV-1xV
80	Komb.: III+IV-1xV
81	Komb.: 1.35xI+III+IV-1xV
82	Komb.: 1.35xII+III+IV-1xV
83	Komb.: 1.35xI+1.35xII+III+IV-1xV

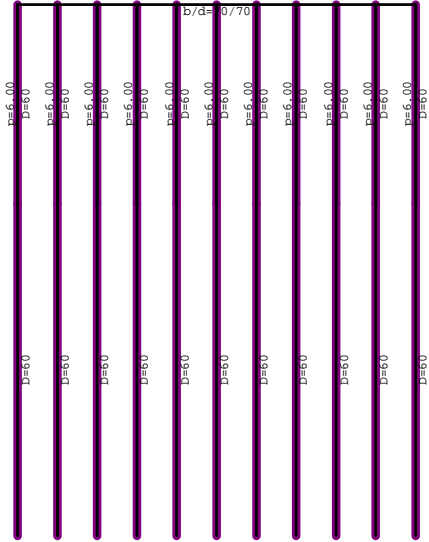
## RAPORT I LLOGARITJEVE STRUKTURORE

Ngarkesa 2: Presioni i dheut



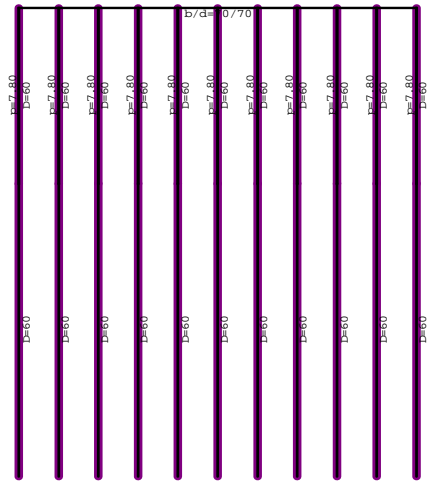
Rama: V\_1

Ngarkesa 3: Presion mbushjeje



Rama: V\_1

Ngarkesa 4: Presioni nga sizmika



Rama: V\_1

***Analiza Modale*****Opsione të avancuara për analizën sizmike:**

Shuarja e lëkundjeve në drejtimin Y

Shuarja e lëkundjeve në drejtimin Z

**Faktorët e ngarkesave për llogaritje të masave**

No	Emri	Faktori
1	P.V (g)	1.00
2	Presioni i dheut	0.00
3	Presion mbushjeje	0.00
4	Presioni nga sizmika	0.00

**Shpërndarja e masës sipas niveleve**

Niveli	Z [m]	X [m]	Y [m]	Masa [T]	T/m <sup>2</sup>
	0.00	0.00	3.00	19.39	
	-3.00	0.00	3.00	31.71	
	-8.00	0.00	3.00	19.82	
Total:	-3.58	0.00	3.00	70.92	

**Pozicioni i qendrave të rigjiditetit (e përafërt)**

Niveli	Z [m]	X [m]	Y [m]
	0.00	0.00	3.00
	-3.00	0.00	3.00
	-8.00	0.00	3.00

**Jashtëqendërsia për nivelet. (e përafërt)**

Niveli	Z [m]	eox [m]	eoy [m]
	0.00	0.00	0.00
	-3.00	0.00	0.00
	-8.00	0.00	0.00

**Frekuencia natyrore e strukturës**

No	T [s]	f [Hz]
1	0.1037	9.6471
2	0.0913	10.9520
3	0.0451	22.1493
4	0.0445	22.4839
5	0.0419	23.8545
6	0.0410	24.3940
7	0.0407	24.5730
8	0.0405	24.7167
9	0.0404	24.7658

10	0.0403	24.8210
11	0.0403	24.8384
12	0.0402	24.8571
13	0.0402	24.8739
14	0.0278	35.9700
15	0.0234	42.7838
16	0.0232	43.0906
17	0.0226	44.3409
18	0.0223	44.8090

RAPORT I LLOGARITJEVE STRUKTURORE

---

19	0.0222	45.0807
20	0.0221	45.2044
21	0.0221	45.3080
22	0.0221	45.3408

RAPORT I LLOGARITJEVE STRUKTURORE

***Analiza sizmike***

Analiza sizmike: EC8 (EN 1998)

Kategoria e dheut:	C
Faktori i rëndësisë:	III ( $\gamma=1.2$ )
Raporti ag/g:	0.25
Koefiqjent i shuarjes:	0.05

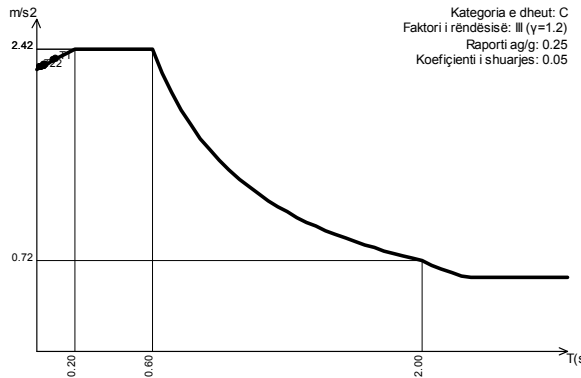
**Faktorët e drejtimeve të tërmetit:**

Rast ngarkimi	Këndi $\alpha[^\circ]$	$k, \alpha$	$k, \alpha+90^\circ$	$k_z$	Faktori i sjelljes
SX	0	1.000	0.000	0.000	3.500

**Lloji i spektrit**

Rast ngarkimi	S	T <sub>b</sub>	T <sub>c</sub>	T <sub>d</sub>
SX	1.150	0.200	0.600	2.000

**Projektni spektar**



SX

Niveli	Z [m]	Moda 1			Moda 2			Moda 3		
		P <sub>x</sub> [kN]	P <sub>y</sub> [kN]	P <sub>z</sub> [kN]	P <sub>x</sub> [kN]	P <sub>y</sub> [kN]	P <sub>z</sub> [kN]	P <sub>x</sub> [kN]	P <sub>y</sub> [kN]	P <sub>z</sub> [kN]
	0.00	60.81	-0.00	0.00	0.00	0.00	-0.00	-0.60	-0.00	0.00
	-3.00	31.17	0.00	0.00	0.00	-0.00	-0.00	2.35	0.00	0.00
	-8.00	0.37	-0.00	-0.00	0.00	0.00	0.00	1.00	-0.00	-0.00
	$\Sigma =$	92.35	-0.00	-0.00	0.00	0.00	0.00	2.75	-0.00	-0.00

RAPORT I LLOGARITJEVE STRUKTURORE

---

Niveli	Z [m]	Moda 4			Moda 5			Moda 6		
		Px [kN]	Py [kN]	Pz [kN]	Px [kN]	Py [kN]	Pz [kN]	Px [kN]	Py [kN]	Pz [kN]
	0.00	- 13.4 7	-0.00	0.00	0.00	-0.00	0.00	-0.00	-0.00	0.00
	-3.00	49.1 8	0.00	0.00	0.00	0.00	0.00	0.00	0.00	-0.00
	-8.00	22.0 5	-0.00	-0.00	0.00	-0.00	-0.00	0.00	-0.00	-0.00
	$\Sigma=$	57.76	-0.00	-0.00	0.00	-0.00	-0.00	0.00	-0.00	-0.00

Niveli	Z [m]	Moda 7			Moda 8			Moda 9		
		Px [kN]	Py [kN]	Pz [kN]	Px [kN]	Py [kN]	Pz [kN]	Px [kN]	Py [kN]	Pz [kN]
	0.00	0.00	0.00	0.00	-0.00	-0.00	-0.00	0.00	-0.00	0.00
	-3.00	0.00	-0.00	0.00	0.00	0.00	0.00	0.00	0.00	0.00
	-8.00	0.00	0.00	0.00	0.00	-0.00	-0.00	0.00	-0.00	-0.00
	$\Sigma=$	0.00	0.00	0.00	0.00	-0.00	-0.00	0.00	-0.00	-0.00

Niveli	Z [m]	Moda 10			Moda 11			Moda 12		
		Px [kN]	Py [kN]	Pz [kN]	Px [kN]	Py [kN]	Pz [kN]	Px [kN]	Py [kN]	Pz [kN]
	0.00	-0.00	-0.00	-0.00	0.00	-0.00	-0.00	-0.00	0.00	0.00
	-3.00	0.00	0.00	-0.00	0.00	0.00	-0.00	0.00	-0.00	0.00
	-8.00	0.00	-0.00	-0.00	0.00	-0.00	-0.00	0.00	0.00	0.00
	$\Sigma=$	0.00	-0.00	-0.00	0.00	-0.00	-0.00	0.00	0.00	0.00

Niveli	Z [m]	Moda 13			Moda 14			Moda 15		
		Px [kN]	Py [kN]	Pz [kN]	Px [kN]	Py [kN]	Pz [kN]	Px [kN]	Py [kN]	Pz [kN]
	0.00	0.00	0.00	-0.00	-0.00	-0.00	0.00	3.79	-0.00	0.00
	-3.00	0.00	-0.00	-0.00	-0.01	0.00	0.00	-9.24	0.00	0.00
	-8.00	0.00	0.00	0.00	0.06	-0.00	-0.00	15.8 7	-0.00	-0.00
	$\Sigma=$	0.00	0.00	-0.00	0.05	-0.00	-0.00	10.42	-0.00	-0.00

Niveli	Z [m]	Moda 16			Moda 17			Moda 18		
		Px [kN]	Py [kN]	Pz [kN]	Px [kN]	Py [kN]	Pz [kN]	Px [kN]	Py [kN]	Pz [kN]
	0.00	0.00	0.00	-0.00	0.00	-0.00	0.00	0.00	-0.00	0.00
	-3.00	-0.00	-0.00	-0.00	-0.00	0.00	0.00	-0.00	0.00	0.00
	-8.00	0.00	0.00	0.00	0.01	-0.00	-0.00	0.00	-0.00	-0.00
	$\Sigma=$	0.00	0.00	0.00	0.00	-0.00	-0.00	0.00	-0.00	-0.00

**RAPORT I LLOGARITJEVE STRUKTURORE**

---

Niveli	Z [m]	Moda 19			Moda 20			Moda 21		
		Px [kN]	Py [kN]	Pz [kN]	Px [kN]	Py [kN]	Pz [kN]	Px [kN]	Py [kN]	Pz [kN]
	0.00	0.00	0.00	-0.00	0.00	-0.00	0.00	0.00	-0.00	0.00
	-3.00	-0.00	-0.00	-0.00	0.00	0.00	0.00	-0.00	0.00	0.00
	-8.00	0.00	0.00	0.00	-0.00	-0.00	-0.00	0.00	-0.00	-0.00
	$\Sigma =$	0.00	0.00	0.00	0.00	-0.00	-0.00	0.00	-0.00	-0.00

Niveli	Z [m]	Moda 22		
		Px [kN]	Py [kN]	Pz [kN]
	0.00	0.00	-0.00	0.00
	-3.00	-0.00	0.00	0.00
	-8.00	-0.00	-0.00	-0.00
	$\Sigma =$	0.00	-0.00	-0.00

Faktorët e shpërndarjes - pjesëmarrja relative

Moda \ Emri	1. sx
1	0.565
2	0.000
3	0.017
4	0.354
5	0.000
6	0.000
7	0.000
8	0.000
9	0.000
10	0.000
11	0.000
12	0.000
13	0.000
14	0.000
15	0.064
16	0.000
17	0.000
18	0.000
19	0.000
20	0.000
21	0.000
22	0.000

RAPORT I LLOGARITJEVE STRUKTURORE

---

---

Faktorët e shpërndarjes - përfshirja e masës

Moda	U [ $\alpha=0^\circ$ ]
1	55.67
2	0.00
3	1.69
4	35.54
5	0.00
6	0.00
7	0.00
8	0.00
9	0.00
10	0.00
11	0.00
12	0.00
13	0.00
14	0.03
15	6.46
16	0.00
17	0.00
18	0.00
19	0.00
20	0.00
21	0.00
22	0.00
$\Sigma U (\%)$	99.39

**RAPORT I LLOGARITJEVE STRUKTURORE**

***Analiza strukturore***

Forcat në trarë - Vlerat Ekstreme - Ngarkesa: 1-83

Shenja	LC	x [m]	N1 [kN]	V2 [kN]	M2 [kNm]	M3 [kNm]
(116 - 21)	7	0.500	-31.621	0.000	-26.083	0.000
(116 - 21)	22	0.500	-31.621	0.000	0.000	0.000
(116 - 21)	20	0.500	-31.621	0.000	-8.967	0.000
(116 - 21)	18	0.500	-31.621	0.000	-12.105	0.000
(116 - 21)	83	0.500	-31.621	0.000	-45.684	0.000
(116 - 21)	81	0.500	-31.621	0.000	-33.578	0.000
(116 - 21)	79	0.500	-31.621	0.000	-34.273	0.000
(116 - 21)	77	0.500	-31.621	0.000	-22.168	0.000
(116 - 21)	75	0.500	-31.621	0.000	-30.850	0.000
(116 - 21)	73	0.500	-31.621	0.000	-18.745	0.000
(117 - 187)	7	0.000	-0.243	-8.087	0.000	-0.830
(117 - 187)	22	0.000	-0.243	-8.087	0.000	-0.830
(117 - 187)	20	0.000	-0.243	-8.087	0.000	-0.830
(117 - 187)	18	0.000	-0.243	-8.087	0.000	-0.830
(117 - 187)	83	0.000	-0.243	-8.087	0.000	-0.830
(117 - 187)	81	0.000	-0.243	-8.087	0.000	-0.830
(117 - 187)	79	0.000	-0.243	-8.087	0.000	-0.830
(117 - 187)	77	0.000	-0.243	-8.087	0.000	-0.830
(117 - 187)	75	0.000	-0.243	-8.087	0.000	-0.830
(117 - 187)	73	0.000	-0.243	-8.087	0.000	-0.830
(116 - 21)	83	1.500	-31.245	0.000	-54.638	0.000
(116 - 21)	82	1.500	0.000	0.000	-54.638	0.000
(128 - 29)	83	1.500	-31.198	-0.019	-54.633	0.000
(103 - 15)	82	1.500	0.000	0.000	-54.633	0.000
(103 - 15)	83	1.500	-31.198	0.019	-54.633	0.000
(128 - 29)	82	1.500	0.000	0.000	-54.633	0.000
(90 - 10)	82	1.500	0.000	0.000	-54.617	0.000
(90 - 10)	83	1.500	-31.055	0.038	-54.617	0.000
(139 - 38)	83	1.500	-31.055	-0.038	-54.617	0.000
(139 - 38)	82	1.500	0.000	0.000	-54.617	0.000
(117 - 187)	7	1.600	-0.639	0.664	0.000	1.855
(117 - 187)	22	1.600	-0.639	0.664	0.000	1.855
(117 - 187)	20	1.600	-0.639	0.664	0.000	1.855
(117 - 187)	18	1.600	-0.639	0.664	0.000	1.855
(117 - 187)	83	1.600	-0.639	0.664	-1.431	1.855
(117 - 187)	81	1.600	-0.639	0.664	-1.431	1.855
(117 - 187)	79	1.600	-0.639	0.664	-1.431	1.855
(117 - 187)	77	1.600	-0.639	0.664	-1.431	1.855
(117 - 187)	75	1.600	-0.639	0.664	-1.431	1.855
(117 - 187)	73	1.600	-0.639	0.664	-1.431	1.855

**RAPORT I LLOGARITJEVE STRUKTURORE**

---

Deformimet e trarëve (SLK) - Vlerat Ekstreme - Ngarkesa:  
1-83

Shenja	LC	x [m]	u2 [mm]
(117 - 187)	7	2.800	-0.625
(117 - 187)	22	2.800	-0.625
(117 - 187)	20	2.800	-0.625
(117 - 187)	18	2.800	-0.625
(117 - 187)	83	2.800	-0.625
(117 - 187)	81	2.800	-0.625
(117 - 187)	79	2.800	-0.625
(117 - 187)	77	2.800	-0.625
(117 - 187)	75	2.800	-0.625
(117 - 187)	73	2.800	-0.625

Deformimet e trarëve (Global) - Vlerat Ekstreme -  
Ngarkesa: 1-83

Shenja	LC	x [m]	Zd [mm]
(117 - 187)	69	2.800	-0.625
(117 - 187)	7	3.200	-0.625
(117 - 187)	22	2.800	-0.625
(117 - 187)	20	3.200	-0.625
(117 - 187)	83	3.200	-0.625
(117 - 187)	81	3.200	-0.625
(117 - 187)	79	3.200	-0.625
(117 - 187)	77	3.200	-0.625
(117 - 187)	75	3.200	-0.625
(117 - 187)	73	3.200	-0.625

Vijat Influente në Mbështetjet Lineare - Vlerat Ekstreme - Ngarkesa: 1-83

Shenja	LC	$\sigma$ ,dheu [kN/m <sup>2</sup> ]	s,dheut [m]
(167-116)	83	-27.033	0.000
(167-116)	82	-27.033	0.000
(173-128)	83	-27.031	0.000
(159-103)	82	-27.031	0.000
(159-103)	83	-27.031	0.000
(173-128)	82	-27.031	0.000
(150-90)	82	-27.026	0.000
(150-90)	83	-27.026	0.000
(178-139)	83	-27.026	0.000
(178-139)	82	-27.026	0.000

**RAPORT I LLOGARITJEVE STRUKTURORE**

---

Vijat Influente në Mbështetjet Pikësore - Vlerat Ekstreme - Ngarkesa: 1-83

Shenja		LC	R1 [kN]	R2 [kN]	R3 [kN]	M1 [kNm]	M2 [kNm]	M3 [kNm]
21		7	11.135	0.000	<b>27.913</b>	*	*	*
21		22	0.000	0.000	<b>27.913</b>	*	*	*
21		20	5.037	0.000	<b>27.913</b>	*	*	*
21		18	6.800	0.000	<b>27.913</b>	*	*	*
21		83	13.573	0.000	<b>27.913</b>	*	*	*
21		81	6.773	0.000	<b>27.913</b>	*	*	*
21		79	9.508	0.000	<b>27.913</b>	*	*	*
21		77	2.707	0.000	<b>27.913</b>	*	*	*
21		75	8.288	0.000	<b>27.913</b>	*	*	*
21		73	1.488	0.000	<b>27.913</b>	*	*	*

Deformimi i nyjeve: max. |Zd|

Nyja	LC	Xd [mm]	Yd [mm]	Zd [mm]
167	7	4.748	0.000	<b>-0.625</b>
167	22	0.000	0.000	<b>-0.625</b>
167	20	2.134	0.000	<b>-0.625</b>
167	18	2.881	0.000	<b>-0.625</b>
167	83	6.003	0.000	<b>-0.625</b>

167	81	3.122	0.000	<b>-0.625</b>
167	79	4.260	0.000	<b>-0.625</b>
167	77	1.379	0.000	<b>-0.625</b>
167	75	3.738	0.000	<b>-0.625</b>
167	73	0.857	0.000	<b>-0.625</b>

Deformimi i nyjeve: max. |Xd|

Nyja	LC	Xd [mm]	Yd [mm]	Zd [mm]
167	52	<b>7.775</b>	0.000	-0.625
167	51	<b>7.775</b>	0.000	0.000
173	52	<b>7.774</b>	0.000	-0.624
173	51	<b>7.774</b>	0.000	0.000
159	52	<b>7.774</b>	0.000	-0.624

159	51	<b>7.774</b>	0.000	0.000
178	52	<b>7.773</b>	0.000	-0.623
178	51	<b>7.773</b>	0.000	0.000
150	52	<b>7.773</b>	0.000	-0.623
150	51	<b>7.773</b>	0.000	0.000

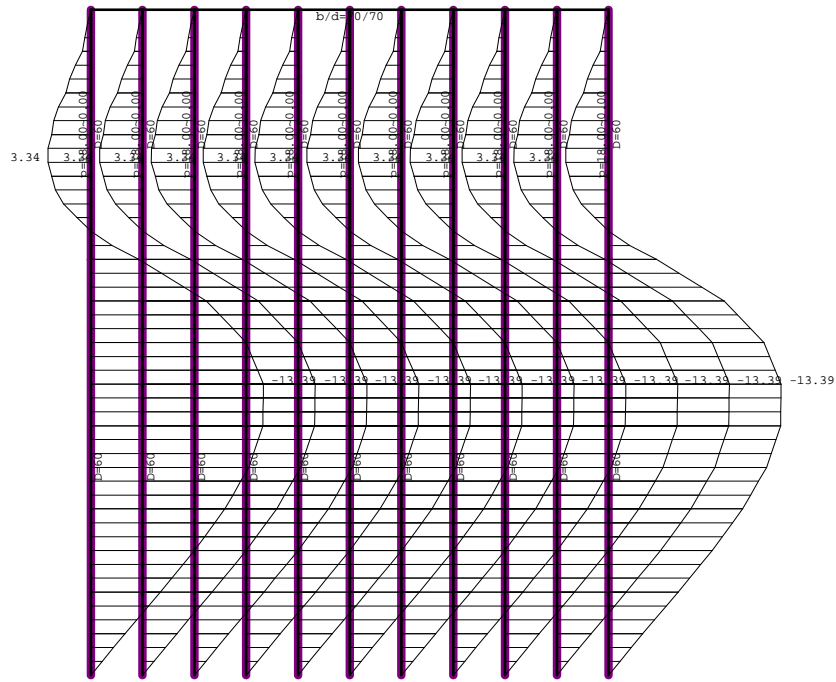
Deformimi i nyjeve: max. |Yd|

Nyja	LC	Xd [mm]	Yd [mm]	Zd [mm]
172	7	2.622	<b>0.006</b>	-0.608
172	22	0.000	<b>0.006</b>	-0.608
172	20	1.258	<b>0.006</b>	-0.608
172	18	1.698	<b>0.006</b>	-0.608
172	83	3.363	<b>0.006</b>	-0.608

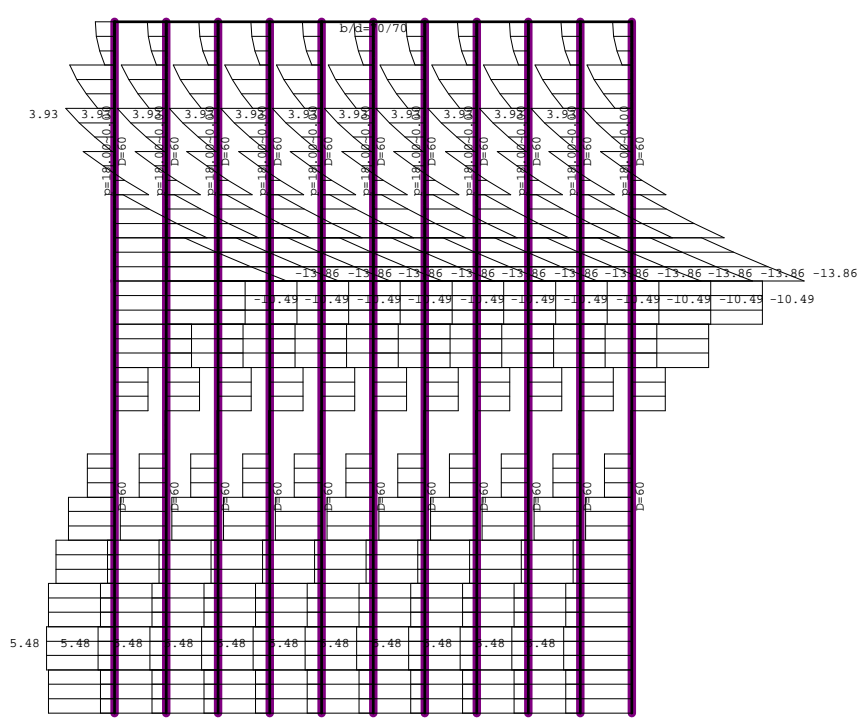
172	81	1.665	<b>0.006</b>	-0.608
172	79	2.454	<b>0.006</b>	-0.608
172	77	0.756	<b>0.006</b>	-0.608
172	75	2.181	<b>0.006</b>	-0.608
172	73	0.483	<b>0.006</b>	-0.608

## RAPORT I LLOGARITJEVE STRUKTURORE

Ngarkesa 2: Presioni i dheut

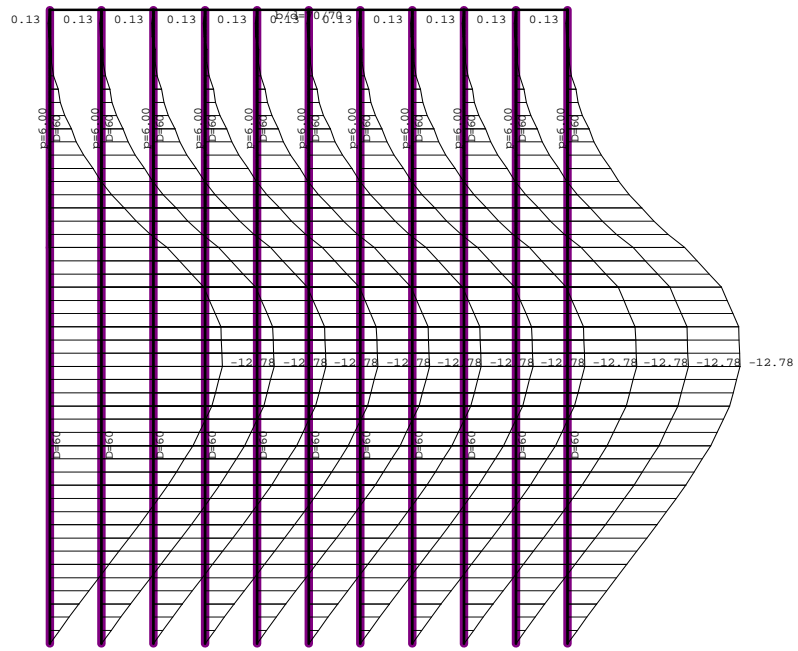


Ngarkesa 2: Presioni i dheut



# RAPORT I LLOGARITJEVE STRUKTURORE

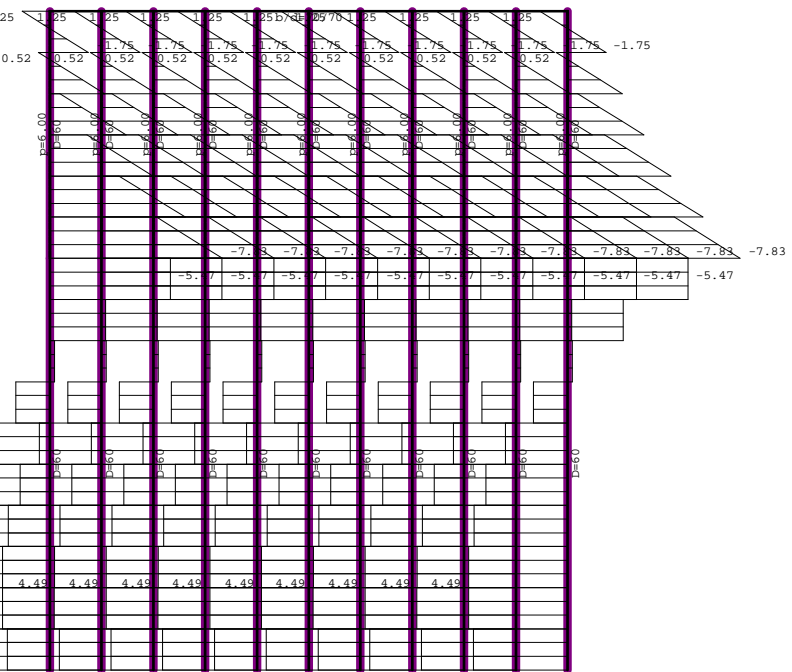
### Ngarkesa 3: Presion mbushjeje



Rama: V\_1

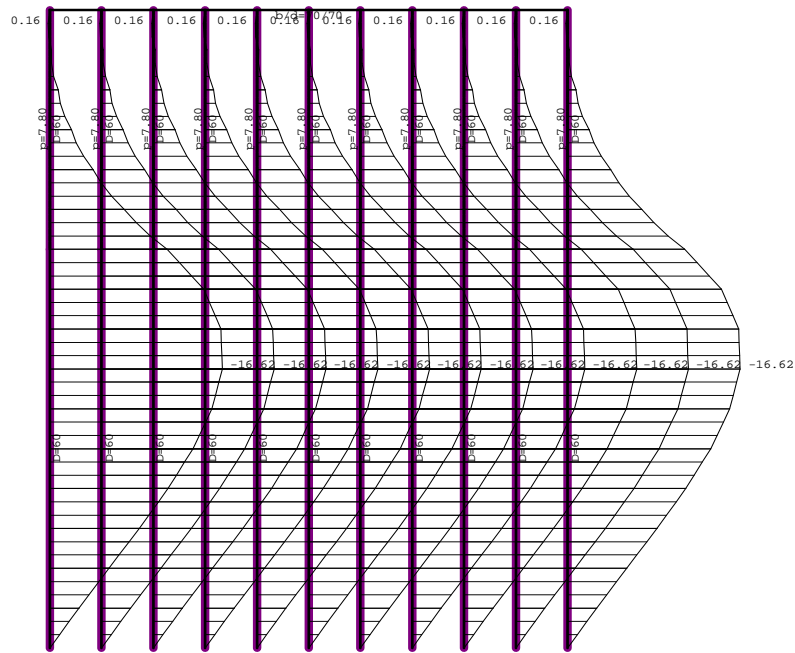
Rezultatet në Tra: max M<sub>2</sub> = 0.13 / min M<sub>2</sub> = -12.78 kNm

### Ngarkesa 3: Presion mbushjeje



## RAPORT I LLOGARITJEVE STRUKTURORE

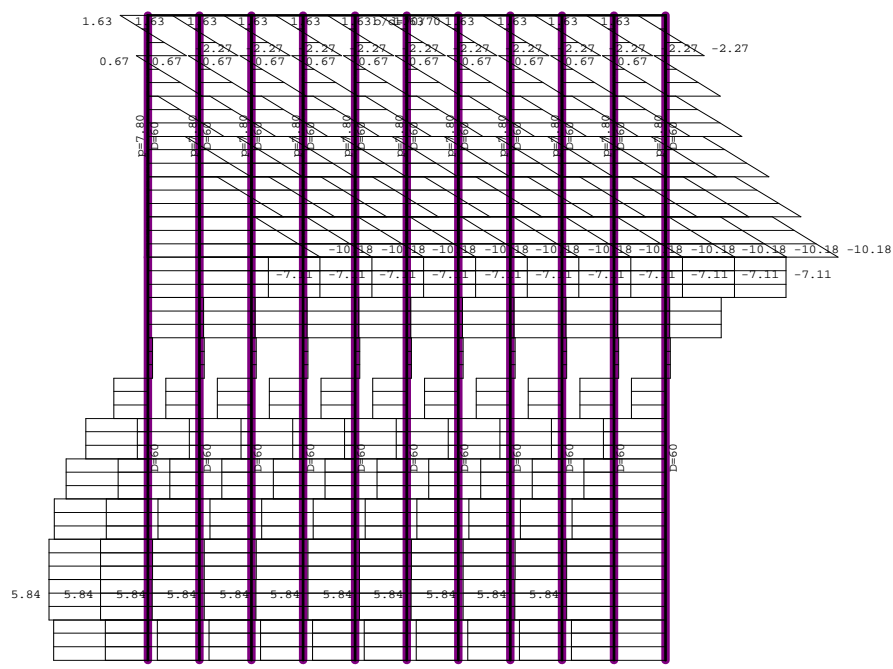
#### Ngarkesa 4: Presioni nga sizmika



Rama: V\_1

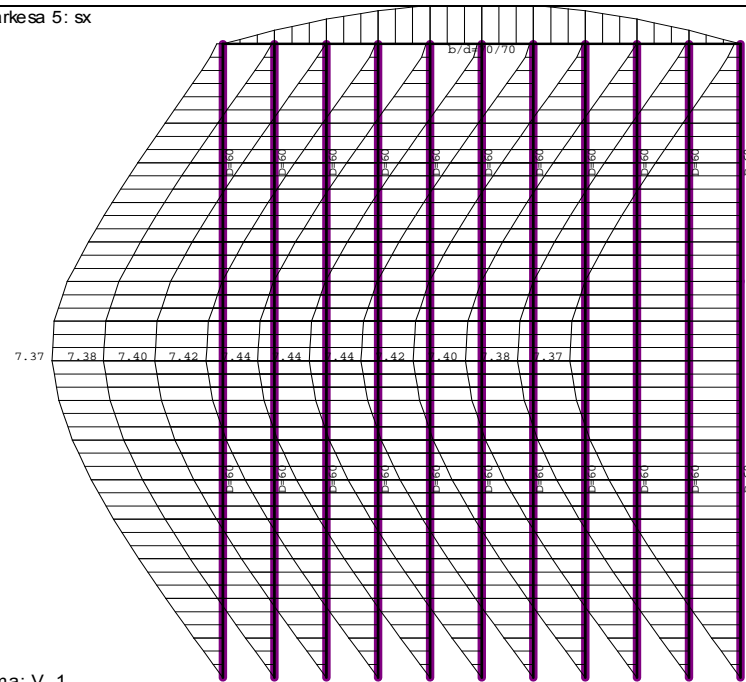
Rezultatet në Tra: max M<sub>2</sub> = 0.16 / min M<sub>2</sub> = -16.62 kNm

#### **Ngarkesa 4: Presioni nga sizmika**



## RAPORT I LLOGARITJEVE STRUKTURORE

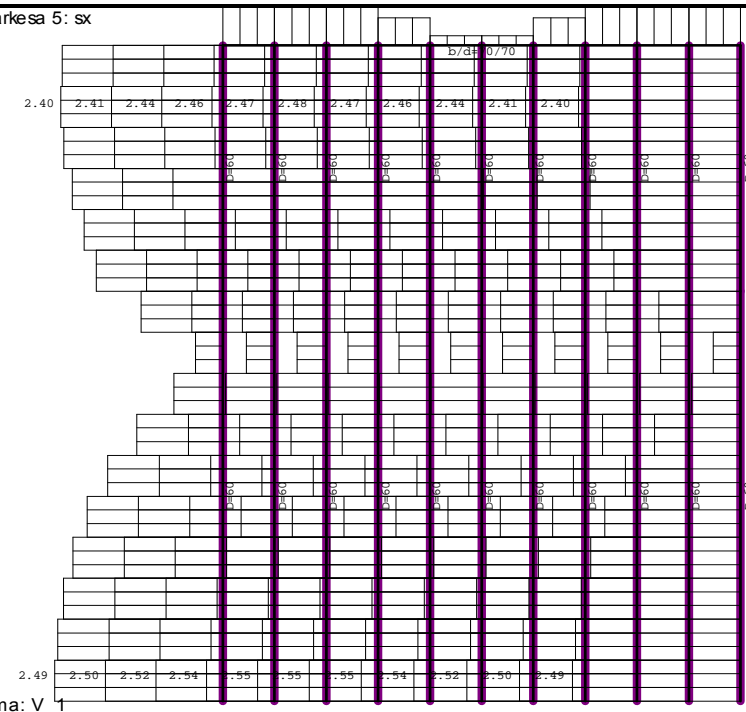
Ngarkesa 5: sx



Rama: V\_1

Rezultatet në Tra: max M2= 7.44 / min M2= 0.00 kNm

Ngarkesa 5: sx

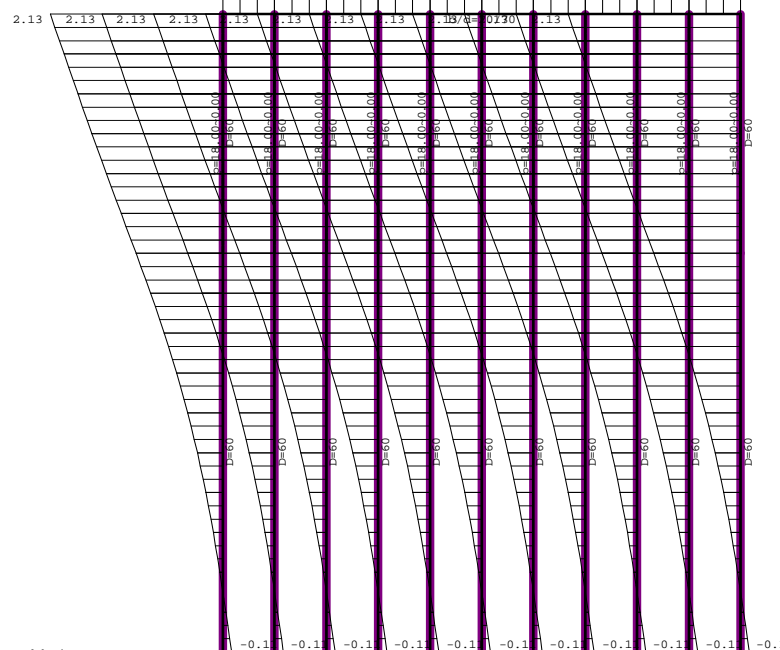


Rama: V\_1

Rezultatet në Tra: max V3= 2.55 / min V3= 0.15 kN

## RAPORT I LLOGARITJEVE STRUKTURORE

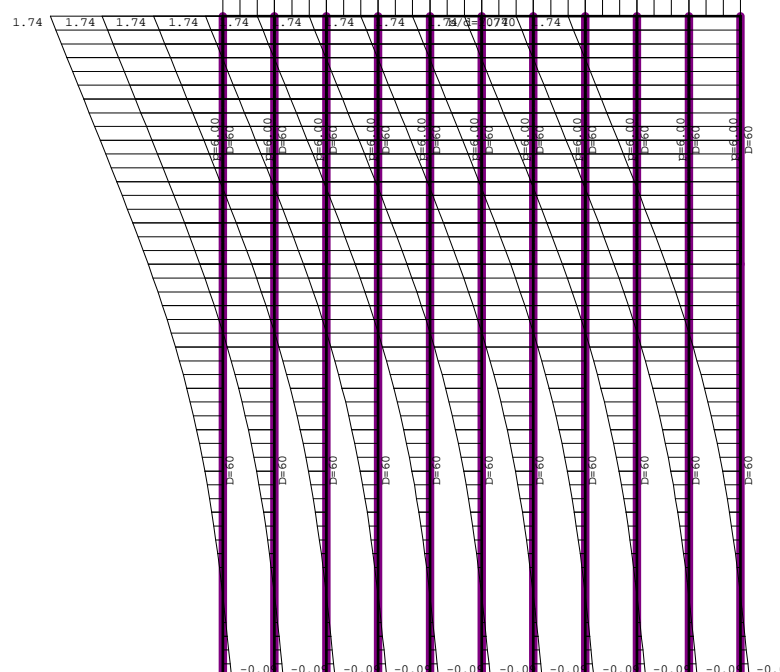
## Ngarkesa 2: Presioni i dheut



Rama: V\_1

Rezultatet në Tra: max Xd= 2.13 / min Xd= -0.11 m / 1000

Ngarkesa 3: Presion mbushjeje

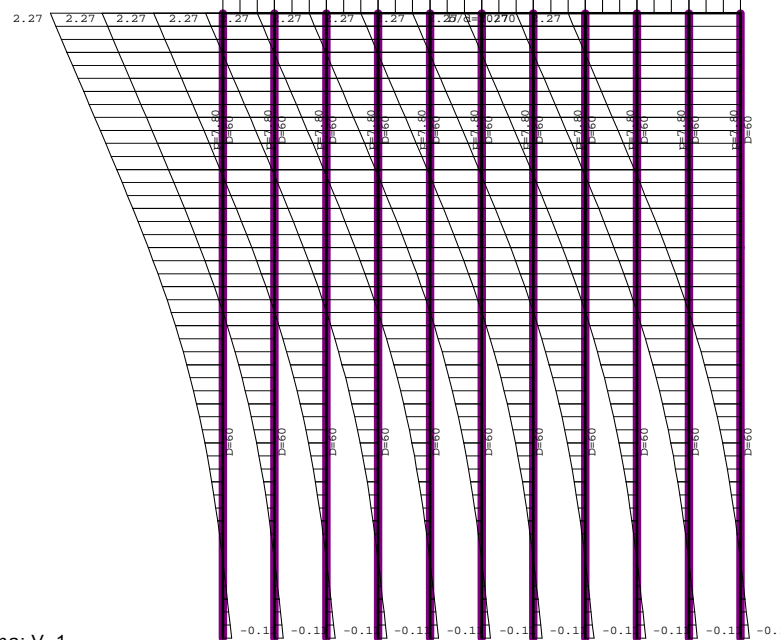


Rama: V\_1

Resultatet n  Tra: max Xd= 1.74 / min Xd= -0.09 m / 1000

# RAPORT I LLOGARITJEVE STRUKTURORE

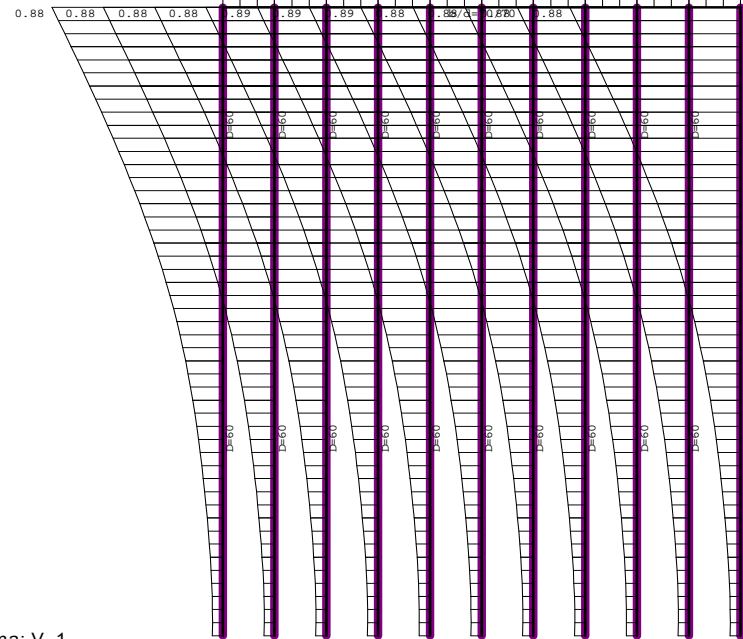
#### **Ngarkesa 4: Presioni nga sizmika**



Rama: V\_1

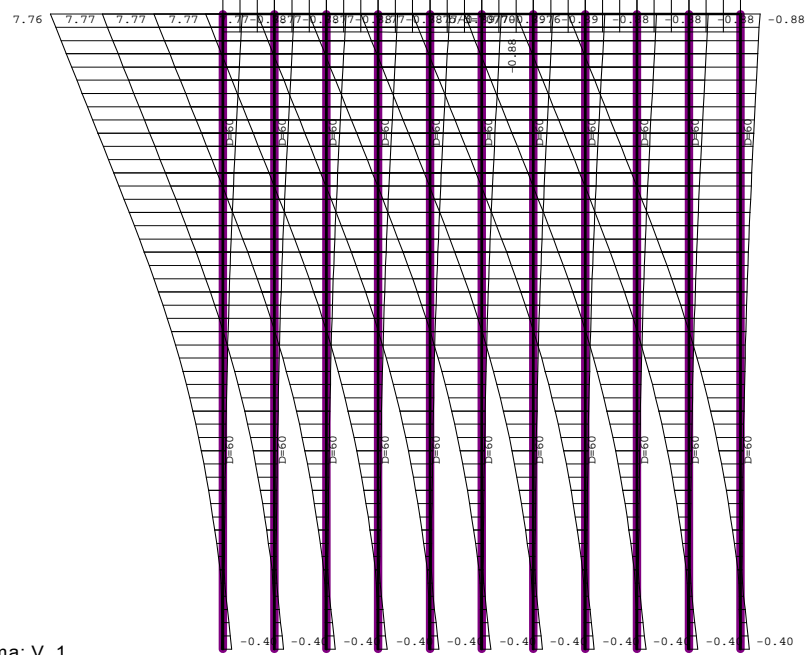
Resultatet n  Tra: max Xd= 2.27 / min Xd= -0.11 m / 1000

Ngarkesa 5: sx



## RAPORT I LLOGARITJEVE STRUKTURORE

Ngarkesa 84: [Zrf] 6-83



Rama: V\_1

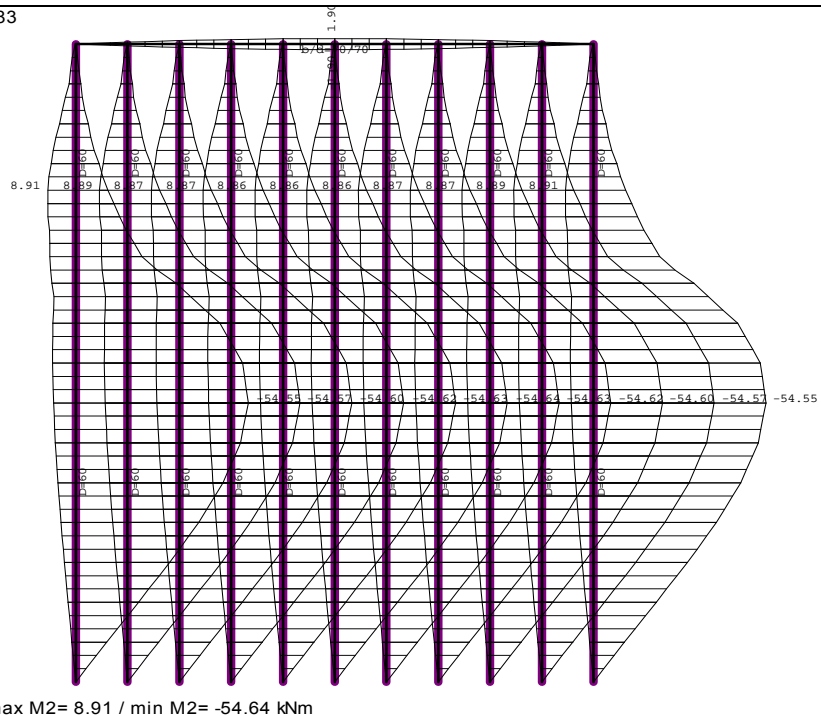
Rezultatet në Tra: max Xd= 7.77 / min Xd= -0.89 m / 1000

Ngarkesa 84: [Zrf] 6-83



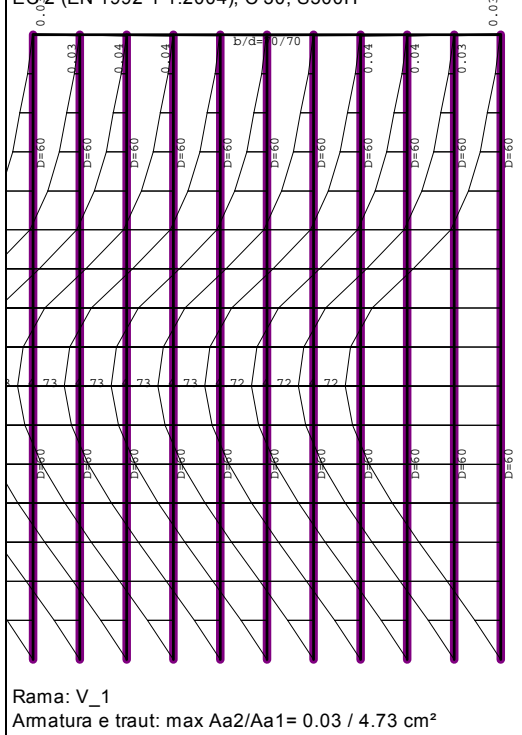
## RAPORT I LLOGARITJEVE STRUKTURORE

Ngarkesa 84: [Zrf] 6-83



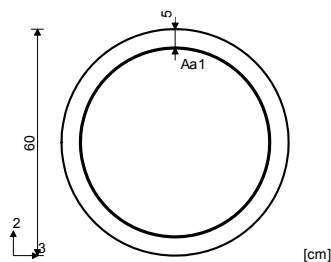
**Projektimi (beton)**

Ngarkesa kryesore: 3-23,26-28,30-36,38-52,68-83  
 EC2 (EN 1992-1-1:2004), C 30, S500H



**Tra 116-21**

EC 2 (EN 1992-1-1:2004)  
 C 30 ( $\gamma_C = 1.50$ ,  $\gamma_S = 1.15$ ) [SP]  
 S500H  
 Projektimi u krye për grupin e  
 selektuar të rasteve të ngarkimit:  
 3  
 -36,38-55,57-59,61-83



li,2 = 5.00 m ( $\lambda_2 = 33.33$ )

li,3 = 5.00 m ( $\lambda_3 = 33.33$ )

Strukturë jo-mekanizëm

Prerja 1-1 x = 1.50m

Ngarkesa kritike për përkuljen:

1.35xII+1.00xIII+1.00xIV-

1.00xV

N1d = 0.00 kN

M2d = -54.64 kNm

M3d = 0.00 kNm

Ngarkesa kritike për prerjen:

1.35xII+1.00xIII+1.00xIV-

1.00xV

V2d = 0.00 kN

V3d = -4.86 kN

M1d = 0.00 kNm

$$\varepsilon_b/\varepsilon_a = -3.006/25.000 \%$$

Aa1 = 4.73 cm<sup>2</sup>

Aa2 = 0.00 cm<sup>2</sup>

Aa3 = 0.00 cm<sup>2</sup>

Aa4 = 0.00 cm<sup>2</sup>

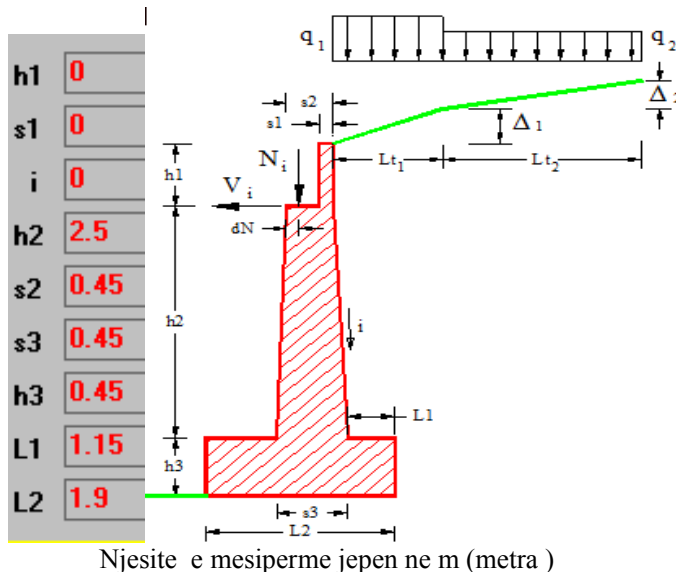
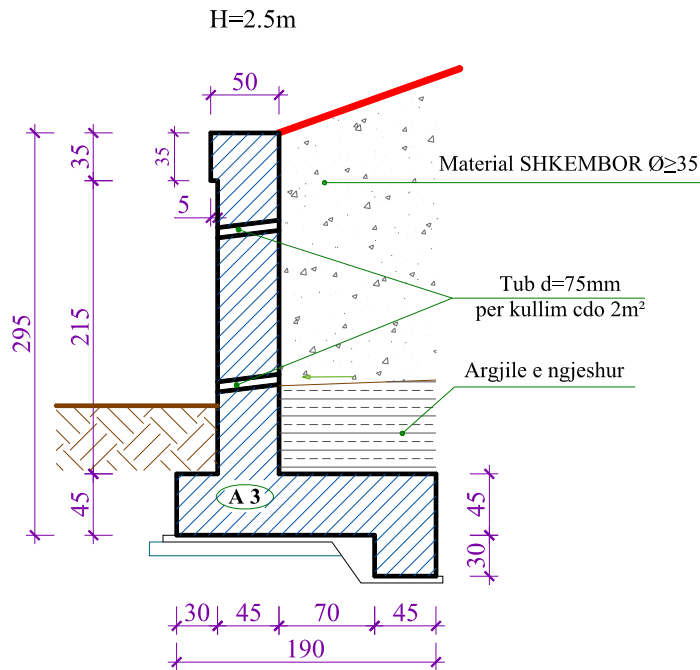
Aa,br = 0.00

$$= \frac{\text{cm}^2 / (\text{m}=2)}{\text{m}}$$

## MURI PRITES, (b/arme) H=2.5 M

➤ Parametrat gjeometrike te murit

Ne skeden llogaritese, jepen dimensionet e murit per te krijuar gjeometrine e tij.



➤ Parametrat fizike-mekanike te materialeteve

Jane paraqitur ne vijim karakteristikat e terrenit, duke u mbeshtetur tek normativa referuese.

$\varphi^o$	30
$\delta^o$	20
$\varphi_f^o$	30
$\gamma_t$	18
$\gamma_m$	25

Ku kemi shenuar :

$\varphi_o$  – kendi i ferkimit te brendshem te materialit te mbushjes ( $^0$ )

$\delta^o$  – kendi i ferkimit te materialit me murin ( $^0$ )

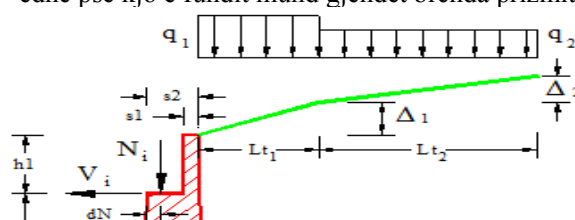
$\varphi_f^o$  – kendi i ferkimit te terrenit ne bazamentin mbeshtetes ( $^0$ )

$\gamma_t$  – pesha volumore e terrenit ( $kN/m^3$ )

$\gamma_m$  – pesha volumore e materialit ndertimor te murit ( $kN/m^3$ )

➤ Ngarkesa mbi mbushje

Ne skeden llogariteze, te ofrohet mundesi te implementohen ngarkesat mbi pjesen e mbushjes (te shenuara ne skicen baze te mesiperme si  $q_1$ ,  $q_2$ ). Ne vijim jane paraqitur futja e ngarkesave mbi mbushje si  $q=5kN/m^2$  edhe pse kjo e fundit mund gjendet brenda prizmit te ndikimit.



	Lungh.	Dislivello	q
Lato 1	6	1.5	5

➤ Parametrat sizmike

Ashtu sic u shtjellua ne paragrafin mbi teorine e llogaritjes se mureve, parametrat dinamike te cilet nevojiten per llogaritjen e mureve jane koeficientet dinamike sipas drejtimeve vertikale dhe horizontale ( $k_v$  dhe  $k_h$ ) te cilat merren ne funksion te parametrave :  $a_{max}$  - nxitimit maksimal horizontal te sheshit;  $a_g$  - nxitimit maksimal horizontal te sheshit ne terren rigid (kategoria A-shkemb);

$S$  - faktorit te spektrit reagimit elastik;  $\beta_m$  - koeficientit te reduktimit per nxitim maksimal dhe kategorive te tokes.

Sipas "Hartës se ripunuar te nxitimeve maksimale referencë në truall të Tipit A per Republiken e Shqiperise", sheshi i ndertimit te perfshihet ne zonen me Intensitet Sizmik te shkalles 7.5-8.0. Kjo do te thote qe nxitimi maksimal horizontal i sheshit dojete  $a_{max}/g = 0.25$ , i cili i perket zones 2 sipas Eurocode 8. Gjithshtu do pranohet qe faktori i spektrit reagimit elastik qe merr parasysh shtresezimin e terrenit, merret  $S = 1.25$ , per kategori trualli C (shiko tabelen e mesiperme).

➤ Percaktimi i koeficienteve dinamike per dy drejtimet

Sipas procedures se dhene mesiper, behet percaktimi i koeficienteve te shtytjes aktive dhe pasive per gjendjen ne situata normale (statike) dhe sizmike. Per situata sizmike do llogaritim gjithashtu edhe koeficientet dinamike per drejtimin horizontal dhe vertikal. Meposhte paraqiten vlerat e keture koeficientave te nxjerra nga relacioni i skedes llogaritese automatike.

per $\varepsilon \leq \varphi' - \theta$	$k_a = \frac{\sin^2(\psi + \varphi' - \theta)}{\cos \theta \cdot \sin^2 \psi \cdot \sin(\psi - \theta - \delta) \left[ 1 + \sqrt{\frac{\sin(\varphi' + \delta) \cdot \sin(\varphi' - \varepsilon - \theta)}{\sin(\psi - \theta - \delta) \cdot \sin(\psi + \varepsilon)}} \right]^2}$	
per $\varepsilon > \varphi' - \theta$	$k_a = \frac{\sin^2(\psi + \varphi' - \theta)}{\cos \theta \cdot \sin^2 \psi \cdot \sin(\psi - \theta - \delta)}$	
$k_p = \frac{\sin^2(\psi + \varphi' - \theta)}{\cos \theta \cdot \sin^2 \psi \cdot \sin(\psi + \theta) \left[ 1 - \sqrt{\frac{\sin \varphi' \cdot \sin(\varphi' + \varepsilon - \theta)}{\sin(\psi + \varepsilon) \cdot \sin(\psi + \theta)}} \right]^2}$		
1. $\theta = \arctan\left(\frac{k_h}{1 \pm k_v}\right)$	2. $\theta = \arctan\left(\frac{\gamma_{sat}}{\gamma_{sat} - \gamma_w} \cdot \frac{k_h}{1 \pm k_v}\right)$	3. $\theta = \arctan\left(\frac{\gamma_d}{\gamma_{sat} - \gamma_w} \cdot \frac{k_h}{1 \pm k_v}\right)$

massima accelerazione al suolo       $a_g/g = 0.25 \quad (-)$   
 coefficiente stratigrafico       $S = 1.25 \quad (-)$

Koeficientat dinamike per veprime horizontale dhe vertikale rezultojne:

Dati Sisma |  $K_v$  **0.0500** |  $K_h$  **0.0999**

Ku:  $K_h = \beta_m * a_g * S_s * S_T = 0.31 * 0.25 * 1.25 * 1 = 0.0999$  (referuar parametrave te mesiperme)

$$K_v = 0.5 * K_h = 0.5 * 0.0999 = 0.050$$

Procedohet me tej me percaktimin e presioneve perkatese qe veprojne ne mur sipas koeficientave te percaktuar mesiper.

➤ Ngarkesat vepruese (presionet) rezultante mbi paretin vertikal te murit

Sipas shprehjeve te dhena mesiper behet (tek aspektet teorike te llogaritjes se mureve), behet percaktimi i presioneve vepruese nga mbushja e dheut ne situata statike, ne situata sizmike, nga ngarkesa mbi mbushje, etj.

Meposhte jepen resultatet e llogaritjeve te rezultateve te keture presioneve, perfituar nga skeda llogaritese automatike (softwar-i).

Parete		
St	<b>28.51</b>	kN
Sq	<b>8.638</b>	kN
Ss	<b>0</b>	kN
Si	<b>0</b>	kN
M	<b>29.61</b>	kNm
N	<b>38.02</b>	kN
V	<b>34.90</b>	kN
	<b>?1</b>	

Parete		
St	<b>25.91</b>	kN
Sq	<b>5.759</b>	kN
Ss	<b>12.43</b>	kN
Si	<b>8.277</b>	kN
M	<b>44.14</b>	kNm
N	<b>44.62</b>	kN
V	<b>49.72</b>	kN
	<b>?2</b>	

Parete		
St	<b>25.91</b>	kN
Sq	<b>5.759</b>	kN
Ss	<b>9.661</b>	kN
Si	<b>8.277</b>	kN
M	<b>42.19</b>	kNm
N	<b>40.86</b>	kN
V	<b>47.12</b>	kN
	<b>?3</b>	

Te dhenat e mesiperme rezultojne per rastet:

- 1- Situata josizmike (situata statike);
- 2- Situata sizmike me  $k_v > 0$  (situata me e pafavorshme);
- 3- Situata sizmike me  $k_v < 0$  ;  
ku:

*St* – Rezultatja e presionit nga mbushja e dheut;

*Sq* – Rezultatja e presionit nga ngarkesa mbi mbushje;

*Ss* – Rezultatja e presionit shtese nga veprimet sizmike

*Si* – Rezultatja e presionit nga forcat inerciale sizmike

➤ **Ngarkesat vepruese (presionet) rezultante mbi themelin e murit**

Ashtu sic u citua tek aspektet teorike te llogaritjes se mureve behet percaktimi i presioneve vepruese nga mbushja e dheut ne situata statike, ne situata sizmike, nga ngarkesa mbi mbushje, etj.

Meposhte jepen rezultatet e llogaritjeve te rezultateve te keture presioneve, perfituar. Vlen te theksohet qe rezultantet e presioneve/ngarkesave te transmetuara ne pjesen e themelit merren per te tre situatat (josizmike, sizmike +kv, sizmike -kv) duke patur parasysh verifikimet perkatese lidhur me permbysjen, rreshqitjen dhe spostimin e murit.

<b>Fondazione</b>					
	<b>Ribaltamento</b>	<b>Scorrimento</b>	<b>Schiacciamento</b>		
<b>St</b>	<b>47.81</b>	<b>?1</b>	<b>St</b>	<b>43.46</b>	<b>?1</b>
<b>Sq</b>	<b>11.19</b>		<b>Sq</b>	<b>9.695</b>	<b>Sq</b>
<b>Ss</b>	<b>0</b>		<b>Ss</b>	<b>0</b>	<b>Ss</b>
<b>Si</b>	<b>0</b>		<b>Si</b>	<b>0</b>	<b>Si</b>

1- Situata josizmike (situata statike);

<b>Fondazione</b>					
	<b>Ribaltamento</b>	<b>Scorrimento</b>	<b>Schiacciamento</b>		
<b>St</b>	<b>43.46</b>	<b>?2</b>	<b>St</b>	<b>43.46</b>	<b>?2</b>
<b>Sq</b>	<b>7.458</b>		<b>Sq</b>	<b>7.458</b>	<b>Sq</b>
<b>Ss</b>	<b>17.93</b>		<b>Ss</b>	<b>17.93</b>	<b>Ss</b>
<b>Si</b>	<b>10.41</b>		<b>Si</b>	<b>10.41</b>	<b>Si</b>

2- Situata sizmike me  $k_v > 0$  ;

<b>Fondazione</b>					
	<b>Ribaltamento</b>	<b>Scorrimento</b>	<b>Schiacciamento</b>		
<b>St</b>	<b>43.46</b>	<b>?3</b>	<b>St</b>	<b>43.46</b>	<b>?3</b>
<b>Sq</b>	<b>7.458</b>		<b>Sq</b>	<b>7.458</b>	<b>Sq</b>
<b>Ss</b>	<b>13.04</b>		<b>Ss</b>	<b>13.04</b>	<b>Ss</b>
<b>Si</b>	<b>10.41</b>		<b>Si</b>	<b>10.41</b>	<b>Si</b>

3- Situata sizmike me  $k_v < 0$ , (situata me e pafavorshme);

ku:

*St* – Rezultatja e presionit nga mbushja e dheut;

*Sq* – Rezultatja e presionit nga ngarkesa mbi mbushje;

*Ss* – Rezultatja e presionit shtese nga veprimet sizmike

*Si – Rezultatja e presionit nga forcat inerciale*

Presioni i mbipresionit dinamik llogaritet nga diferenca midis presionit total sizmik dhe presionit statik te dheut. Shumatorja e presionit total sizmik jepet nga shprehja:

$$S_{s,tot} = \frac{1}{2} \gamma * H^2 * K_a * (1 \pm k_v)$$

ku:  $H$ - lartesia e murit perfshire edhe lartesine e themelit;  $K_a$ - koeficienti i shtytjes aktive;  $k_v$  eshte koeficienti sizmik vertikal, i dhene ne shprehjet e mesiperme.

*Per te marre efektin e vetem presionit dinamik duhet:*

$$S_{sizmike} = S_{s,tot} - S_{statike}, \text{ ku}$$

$$S_{statike} = \frac{1}{2} \gamma * H^2 * K_a \text{ eshte rezultatja e presioni i shtytjes aktive se dheut e cila merret sipas rasteve ne funksion te koeficientit te shtytjes aktive } K_a \text{ ne situata josizmike}$$

➤ **Shtytja e mbingarkeses mbi mbushje**

Shtytja horizontale qe vjen si rezultat i ngarkeses mbi mbushje  $S_q$  (statike dhe dinamike), jepet nga shprehja:

$$S_q = q * H * K_a, \text{ sipas kombinimeve te mesiperme dhe situatave verifikuese,}$$

ku  $q=5kN/m^2$  - ngarkesa mbi prizmin e mbushjes pas murit;

$K_a$ - koeficienti i shtytjes aktive ne situata statike dhe sizmike

➤ **Shtytja pasive mbi themel**

Ky presion nuk perfshihet ne skeden e mesiperme per shkak te rezervave te sigurise. Gjithsesi vlera e ketij presioni eshte thelbesore gjate verifikimeve per spostim (rreshqitje) te murit. Per rastin e kontrolleve ne permbyse, nuk jep efekte te konsiderueshme dhe ne shumicen e rasteve neglizhohet.

Presioni pasiv dinamik (statik+dinamik) qe kundershton veprimin e presioneve aktive dhe qe vepron ne pjesen e themeleve, jepet nga shprehja:

$$S_{p,tot} = 0.5 * \frac{1}{2} \gamma * D^2 * K_p * (1 \pm k_v)$$

ku:  $D$ - thellisia e zhytjes se murit perfshire lartesine e themelit dhe dhembin poshte saj;  $K_p$ - koeficienti i shtytjes pasive;  $k_v$  eshte koeficienti sizmik vertikal i dhene ne shprehjet e mesiperme

Behet reduktimi me 50% te efektit per arsyte te kushteve jo te favorshme gjate realizimit te punimeve, rekomanduar kjo nga normativa.

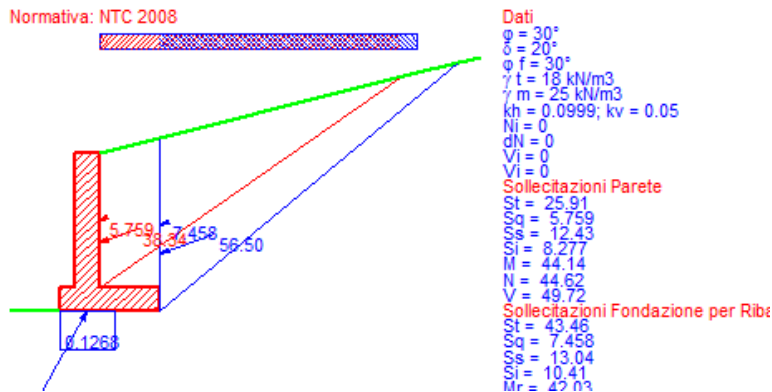
Per te marre efektin e vetem presionit dinamik pasiv, mund te perdoret e njejtta llogjike si ajo e dhene mesiperme

$$S_{p,sizmike} = S_{p,tot} - S_{p,statike}, \text{ ku}$$

$$S_{p,statike} = \frac{1}{2} \gamma * D^2 * K_p \text{ eshte rezultatja e presioni i shtytjes se dheut pasiv, e cila merret sipas rasteve ne funksion te koeficientit te shtytjes pasive } K_p \text{ ne situata josizmike}$$

➤ **Realizimi i llogaritjes se murit**

Ne vijim eshte paraqitur grafikisht llogaritja e murit, ku perfshin vlerat e presioneve vepruese, pozicionimin i presioneve rezultante, vlerat e sforcimeve ne taban, etj; per situata me te pafavorshme



➤ **Kontrolli ne permbyse**

Kontrolli ne permbyse vleresohet sipas faktorit  $F_{s,permbyse}$ , i cili merret nga rapporti mes momentit stabilizues dhe momentit permbyses. Keto momente merren perkundrejt pikes "O" te pozicionuar ne skajin jashtem te themelit (shiko fig. e mesiperme).

Sipas normave te vjetra (tensioneve te lejuara), koeficienti i sigurise (F) duhet te jete  $\geq 1.5$ ; ndersa sipas gjendjes kufitare te fundme, mbi te cilet mbeshtetet EC7, ky koeficient duhet te jete  $\geq 1.0$ :

$$F_{s,permbyse} = \frac{M_{stab,O}}{M_{perm,O}} \geq 1.5 \text{ - per metoden sipas tensioneve te lejuara (metoda klasike)}$$

ose  $F_{s,permbyse} > 1.0$ , per rastin e gjendjes kufitare te fundme (referuar Ec7 ose NTC 2008), e cila merret per rastet kur kemi efektin e  $-k_v$ .

Nga rezultatet e nxjerra nga programmi per situata me te disfavorshme, referuar EC7 , shihet:

Mr	42.03
Ms	102.7
Ms/Mr	2.445

Mr - momenti permbyses (kN\*m)  
Ms - momenti mbajtes (kN\*m)

$F_{s,permbyse} = 2.445$ , dmth  $> 1.0$ , Verifikimi rezulton pozitiv!.

➤ **Kontrolli ne rreshqite**

Kontrolli ne rreshqite vleresohet sipas faktorit  $F_{s,rreshqite}$ , i cili merret nga rapporti mes veprimit te ngarkesave stabilizuese dhe ngarkesave shtytese.

$$F_{s,rreshqite} = \frac{H_{resistuese}}{H_{aktyve}} \geq 1.3 \text{ - per metoden sipas tensioneve te lejuara (metoda klasike)}$$

ose  $F_{s,rreshqite} > 1.0$ , per rastin e gjendjes kufitare te fundme (referuar Ec7 ose NTC 2008), e cila merret per rastet kur kemi efektin sizmik.

Nga rezultatet e nxjerra nga programmi per situata me te disfavorshme, referuar EC7 , shihet:

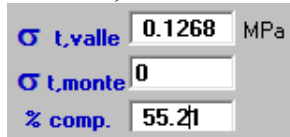
c.scor. 1.132

$F_s$ , rreshqite (situata statike, pa perfshire 50% Pres.pasiv te themelit))=1.13, dmth >1.0,  
 $F_s$ , rreshqite (situata sizmike + 50% Pres.pasiv te themelit) =1.07, dmth >1.0,

Verifikimi rezulton pozitiv!.

#### ➤ Llogaritia e sforcimeve ne tabanin e themelit

Sic shikohet edhe ne figuren e mesiperme ku jepen grafikisht presionet, ne figure paraqiten gjithshtu edhe diagrama e sforcimeve ne taban, e cila rezulton sa meposhte:



$$\sigma_{\max} = 0.1268 \text{ N/mm}^2$$

$$\sigma_{\min} = 0.0 \text{ N/mm}^2$$

#### ➤ Llogaritia e sasise se armatures

Ne vijim eshte paraqitur ne trajte tabelare llogaritja e sasise se armatures per seksione te caktuara te murit.

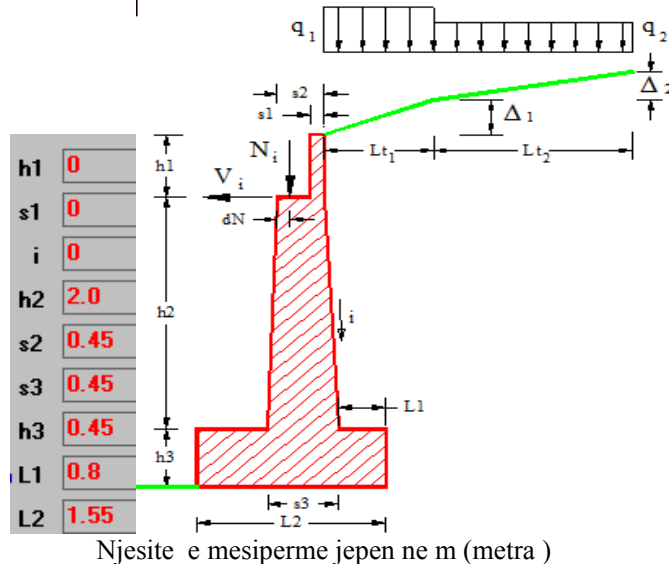
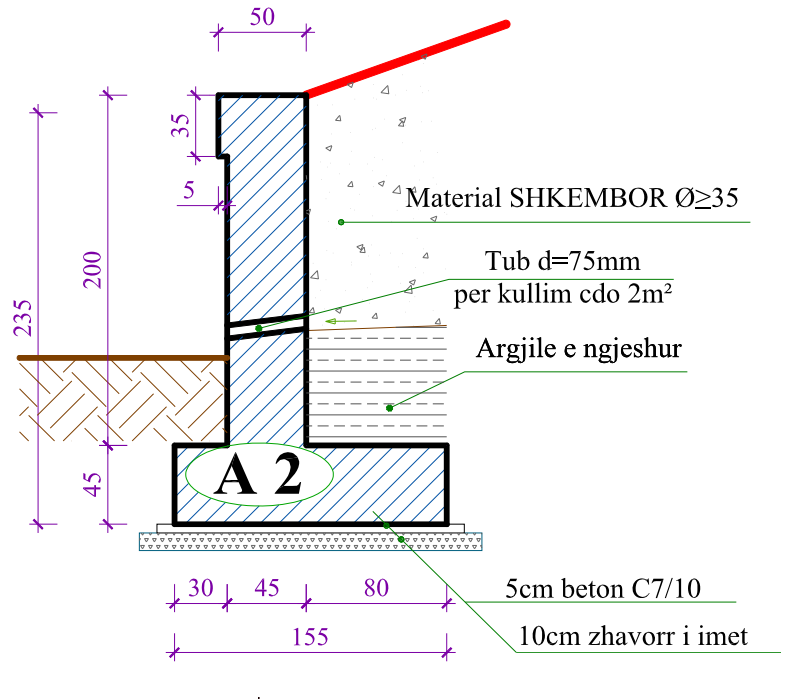
Distanza fra le sezioni	0.5	m	$f_yd$	391	$\text{N/mm}^2$
Copriferro	3	cm	$E_s/E_c$	15	<input type="button" value="Ricalcola"/>
<b>PARETE (d=distanza sezione da base paraghiaia)</b>					
d [m]	M [kNm]	N [kN]	V [kN]	As [cm <sup>2</sup> ]	sig c [MPa]
2.5	44.14	44.62	49.72	2.24	4.38
2	24.66	33.72	34.41	1.11	3.29
1.5	11.87	23.81	21.81	0.43	2.34
1	4.404	14.88	11.93	0.07	1.53
0.5	0.9090	6.948	4.756	0.00	0.05
<b>SUOLA A VALLE (d=distanza sezione da filo parete. As positiva per armatura inferiore)</b>					
d [m]	M [kNm]	V [kN]	As [cm <sup>2</sup> ]	sig c [MPa]	tau c [MPa]
0	5.198	34.65	0.32	1.28	0.09
<b>SUOLA A MONTE (d=distanza sezione da filo parete. As positiva per armatura superiore)</b>					
d [m]	M [kNm]	V [kN]	As [cm <sup>2</sup> ]	sig c [MPa]	tau c [MPa]
0	33.81	29.75	2.14	3.43	0.08
0.5	12.77	38.98	0.80	2.04	0.10
1	0.6885	9.163	0.04	0.46	0.02

## + MURI PRITES, (b/armi) H=2.0 M

➤ Parametrit gjeometrike te murit

Ne skeden llogaritese, jepen dimensionet e murit per te krijuar gjeometrine e tij.

H=2m



Njesite e mesiperme jepen ne m (metra)

➤ Parametrat fizike-mekanike te materialeve

Jane paraqitur ne vijim karakteristikat e terrenit, duke u mbeshtetur tek normativa referuese.

$\varphi_o$	30
$\delta^o$	20
$\varphi_f$	30
$\gamma_t$	18
$\gamma_m$	25

Ku kemi shenuar :

$\varphi_o$  – kendi i ferkimit te brendshem te materialit te mbushjes ( $^0$ )

$\delta^o$  – kendi i ferkimit te materialit me murin ( $^0$ )

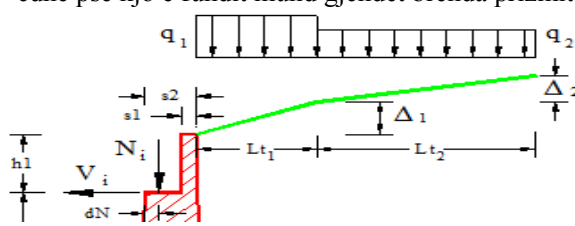
$\varphi_f$  – kendi i ferkimit te terrenit ne bazamentin mbeshtetes ( $^0$ )

$\gamma_t$  – pesha volumore e terrenit ( $\text{kN/m}^3$ )

$\gamma_m$  – pesha volumore e materialit ndertimor te murit ( $\text{kN/m}^3$ )

➤ Ngarkesa mbi mbushje

Ne skeden llogariteze, te ofrohet mundesi te implementohen ngarkesat mbi pjesen e mbushjes (te shenuara ne skicen baze te mesiperme si  $q_1$ ,  $q_2$ ). Ne vijim jane paraqitur futja e ngarkesave mbi mbushje si  $q=5\text{kN/m}^2$  edhe pse kjo e fundit mund gjendet brenda prizmit te ndikimit.



	Lungh.	Dislivello	q
Lato 1	6	1.5	5

➤ Parametrat sizmike

Ashtu sic u shtjellua ne paragrafin mbi teorine e llogaritjes se mureve, parametrat dinamike te cilet nevojiten per llogaritjen e mureve jane koeficientet dinamike sipas drejtimeve vertikale dhe horizontale ( $k_v$  dhe  $k_h$ ) te cilat merren ne funksion te parametrave :  $a_{max}$  - nxitimit maksimal horizontal te sheshit;  $a_g$  - nxitimit maksimal horizontal te sheshit ne terren rigid (kategoria A-shkemb);

$S$  - faktorit te spektrit reagimit elastik;  $\beta_m$  - koeficientit te reduktimit per nxitimini maksimal dhe kategorive te tokes.

Sipas "Hartës se ripunuar te nxitimeve maksimale referencë në truall të Tipit A per Republiken e Shqiperise", sheshi i ndertimit te perfshihet ne zonen me Intensitet Sizmik te shkalles 7.5-8.0 . Kjo do te thote qe nxitimi maksimal horizontal i sheshit dojete  $a_{max}/g = 0.25$ , i cili i perket zones 2 sipas

Eurocode 8. Gjithshtu do pranohet qe faktori i spektrit reagimit elastik qe merr parasysh shtresezimin e terrenit, merret  $S=1.25$ , per kategorin trualli C (shiko tabelen e mesiperme).

#### ➤ Percaktimi i koeficienteve dinamike per dy drejtimet

Sipas procedures se dhene mesiper, behet percaktimi i koeficienteve te shtytjes aktive dhe pasive per gjendjen ne situata normale (statike) dhe sizmike. Per situata sizmike do llogaritim gjithashtu edhe koeficientet dinamike per drejtimin horizontal dhe vertikal. Meposhte paraqiten vlerat e keture koeficientave te nxjerra nga relacioni i skedes llogaritese automatike.

per $\varepsilon \leq \varphi' - \theta$	$k_a = \frac{\sin^2(\psi + \varphi' - \theta)}{\cos \theta \cdot \sin^2 \psi \cdot \sin(\psi - \theta - \delta) \left[ 1 + \sqrt{\frac{\sin(\varphi' + \delta) \cdot \sin(\varphi' - \varepsilon - \theta)}{\sin(\psi - \theta - \delta) \cdot \sin(\psi + \varepsilon)}} \right]^2}$	
per $\varepsilon > \varphi' - \theta$	$k_a = \frac{\sin^2(\psi + \varphi' - \theta)}{\cos \theta \cdot \sin^2 \psi \cdot \sin(\psi - \theta - \delta)}$	
$k_p = \frac{\sin^2(\psi + \varphi' - \theta)}{\cos \theta \cdot \sin^2 \psi \cdot \sin(\psi + \theta) \left[ 1 - \sqrt{\frac{\sin \varphi' \cdot \sin(\varphi' + \varepsilon - \theta)}{\sin(\psi + \varepsilon) \cdot \sin(\psi + \theta)}} \right]^2}$		
1. $\theta = \arctan\left(\frac{k_h}{1 \pm k_v}\right)$	2. $\theta = \arctan\left(\frac{\gamma_{sat}}{\gamma_{sat} - \gamma_w} \frac{k_h}{1 \pm k_v}\right)$	3. $\theta = \arctan\left(\frac{\gamma_d}{\gamma_{sat} - \gamma_w} \frac{k_h}{1 \pm k_v}\right)$
massima accelerazione al suolo		$a_g/g = 0.25 \quad (-)$
coefficiente stratigrafico		$S = 1.25 \quad (-)$

Koeficientat dinamike per veprime horizontale dhe vertikale rezultojne:

Dati Sisma |  $K_v$  **0.0500** |  $K_h$  **0.0999**

Ku:  $K_h = \beta_m * a_g * S_s * S_T = 0.31 * 0.25 * 1.25 * 1 = 0.0999$  (referuar parametrave te mesiperme)

$$K_v = 0.5 * K_h = 0.5 * 0.0999 = 0.050$$

Procedohet me tej me percaktimin e presioneve perkatese qe veprojne ne mur sipas koeficientave te percaktuar mesiper.

#### ➤ Ngarkesat vepruese (presionet) rezultante mbi paretin vertikal te murit

Sipas shprehjeve te dhena mesiper behet (tek aspektet teorike te llogaritjes se mureve), behet percaktimi i presioneve vepruese nga mbushja e dheut ne situata statike, ne situata sizmike, nga ngarkesa mbi mbushje, etj.

Meposhte jepen resultatet e llogaritjeve te rezultateve te keture presioneve, perfituar nga skeda llogaritese automatike (softwar-i).

Parete		
St	<b>18.24</b>	kN
Sq	<b>6.911</b>	kN
Ss	<b>0</b>	kN
Si	<b>0</b>	kN
M	<b>15.99</b>	kNm
N	<b>28.85</b>	kN
V	<b>23.64</b>	kN
	[?1]	
	[?2]	
	[?3]	

Parete		
St	<b>16.59</b>	kN
Sq	<b>4.607</b>	kN
Ss	<b>8.316</b>	kN
Si	<b>5.269</b>	kN
M	<b>23.08</b>	kNm
N	<b>33.72</b>	kN
V	<b>33.00</b>	kN
	[?1]	
	[?2]	
	[?3]	

Parete		
St	<b>16.59</b>	kN
Sq	<b>4.607</b>	kN
Ss	<b>6.464</b>	kN
Si	<b>5.269</b>	kN
M	<b>22.06</b>	kNm
N	<b>30.83</b>	kN
V	<b>31.26</b>	kN
	[?1]	
	[?2]	
	[?3]	

Te dhenat e mesiperme rezultojne per rastet:

- 1- Situata josizmike (situata statike);
- 2- Situata sizmike me  $k_v > 0$  (situata me e pafavorshme);
- 3- Situata sizmike me  $k_v < 0$  ;  
ku:

*St* – Rezultatja e presionit nga mbushja e dheut;

*Sq* – Rezultatja e presionit nga ngarkesa mbi mbushje;

*Ss* – Rezultatja e presionit shtese nga veprimet sizmike

*Si* – Rezultatja e presionit nga forcat inerciale sizmike

➤ **Ngarkesat vepruese (presionet) rezultante mbi themelin e murit**

Ashtu sic u citua tek aspektet teorike te llogaritjes se mureve behet percaktimi i presioneve vepruese nga mbushja e dheut ne situata statike, ne situata sizmike, nga ngarkesa mbi mbushje, etj.

Meposhte jepen rezultatet e llogaritjeve te rezultateve te keture presioneve, perfituar. Vlen te theksohet qe rezultantet e presioneve/ngarkesave te transmetuara ne pjesen e themelit merren per te tre situatat (josizmike, sizmike +kv, sizmike -kv) duke patur parasysh verifikimet perkatese lidhur me permbysjen, rreshqitjen dhe spostimin e murit.

Fondazione		
Ribaltamento	Scorrimento	Schiacciamento
St 32.03	?1 St 29.12	?1 St 29.12 ?1
Sq 9.157	Sq 7.936	Sq 7.936
Ss 0	Ss 0	Ss 0
Si 0	Si 0	Si 0

1- Situata josizmike (situata statike);

Fondazione		
Ribaltamento	Scorrimento	Schiacciamento
St 29.12	?2 St 29.12	?2 St 29.12 ?2
Sq 6.104	Sq 6.104	Sq 6.104
Ss 13.74	Ss 13.74	Ss 13.74
Si 7.011	Si 7.011	Si 7.011

2- Situata sizmike me  $k_v > 0$  ;

Fondazione		
Ribaltamento	Scorrimento	Schiacciamento
St 29.12	?3 St 29.12	?3 St 29.12 ?3
Sq 6.104	Sq 6.104	Sq 6.104
Ss 10.48	Ss 10.48	Ss 10.48
Si 7.011	Si 7.011	Si 7.011

3- Situata sizmike me  $k_v < 0$ , (situata me e pafavorshme);

ku:

*St* – Rezultatja e presionit nga mbushja e dheut;

*Sq* – Rezultatja e presionit nga ngarkesa mbi mbushje;

*Ss* – Rezultatja e presionit shtese nga veprimet sizmike

*Si – Rezultatja e presionit nga forcat inerciale*

Presioni i mbipresionit dinamik llogaritet nga diferenca midis presionit total sizmik dhe presionit statik te dheut. Shumatorja e presionit total sizmik jepet nga shprehja:

$$S_{s,tot} = \frac{1}{2} \gamma * H^2 * K_a * (1 \pm k_v)$$

ku:  $H$ - lartesia e murit perfshire edhe lartesine e themelit;  $K_a$ - koeficienti i shtytjes aktive;  $k_v$  eshte koeficienti sizmik vertikal, i dhene ne shprehjet e mesiperme.

*Per te marre efektin e vetem presionit dinamik duhet:*

$$S_{sizmike} = S_{s,tot} - S_{statike}, \text{ ku}$$

$$S_{statike} = \frac{1}{2} \gamma * H^2 * K_a \text{ eshte rezultatja e presioni i shtytjes aktive se dheut e cila merret sipas rasteve ne funksion te koeficientit te shtytjes aktive } K_a \text{ ne situata josizmike}$$

➤ **Shtytja e mbingarkeses mbi mbushje**

Shtytja horizontale qe vjen si rezultat i ngarkeses mbi mbushje  $S_q$  (statike dhe dinamike), jepet nga shprehja:

$$S_q = q * H * K_a, \text{ sipas kombinimeve te mesiperme dhe situatave verifikuese,}$$

ku  $q=5kN/m^2$  - ngarkesa mbi prizmin e mbushjes pas murit;

$K_a$ - koeficienti i shtytjes aktive ne situata statike dhe sizmike

➤ **Shtytja pasive mbi themel**

Ky presion nuk perfshihet ne skeden e mesiperme per shkak te rezervave te sigurise. Gjithsesi vlera e ketij presioni eshte thelbesore gjate verifikimeve per spostim (rreshqitje) te murit. Per rastin e kontrolleve ne permbyse, nuk jep efekte te konsiderueshme dhe ne shumicen e rasteve neglizhohet.

Presioni pasiv dinamik (statik+dinamik) qe kundershton veprimin e presioneve aktive dhe qe vepron ne pjesen e themeleve, jepet nga shprehja:

$$S_{p,tot} = 0.5 * \frac{1}{2} \gamma * D^2 * K_p * (1 \pm k_v)$$

ku:  $D$ - thellisia e zhytjes se murit perfshire lartesine e themelit dhe dhembin poshte saj (nese ka);  $K_p$ - koeficienti i shtytjes pasive;  $k_v$  eshte koeficienti sizmik vertikal i dhene ne shprehjet e mesiperme.

Behet reduktimi me 50% te efektit per arsyte te kushteve jo te favorshme gjate realizimit te punimeve, rekomanduar kjo nga normativa.

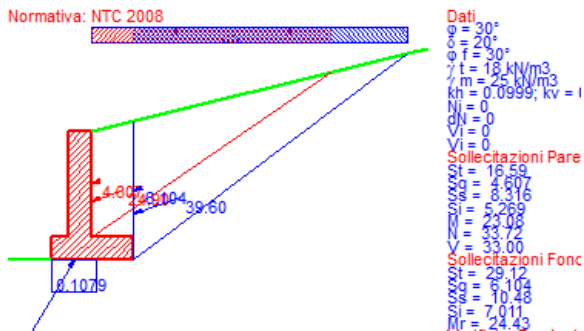
Per te marre efektin e vetem presionit dinamik pasiv, mund te perdoret e njejtë llogjike si ajo e dhene mesiperme

$$S_{p,sizmike} = S_{p,tot} - S_{p,statike}, \text{ ku}$$

$$S_{p,statike} = \frac{1}{2} \gamma * D^2 * K_p \text{ eshte rezultatja e presioni i shtytjes se dheut pasiv, e cila merret sipas rasteve ne funksion te koeficientit te shtytjes pasive } K_p \text{ ne situata josizmike}$$

### ➤ Realizimi i llogaritjes se murit

Ne vijim eshte paraqitur grafikisht llogaritja e murit, ku perfshin vlerat e presioneve vepruese, pozicionimin i presioneve rezultante, vlerat e sforcimeve ne taban, etj; per situata me te pafavorshme



### ➤ Kontrolli ne permbyse

Kontrolli ne permbyse vleresohet sipas faktorit  $F_{s,permbyse}$ , i cili merret nga raporti mes momentit stabilizues dhe momentit permbyses. Keto momente merren perkundrejt pikes "O" te pozicionuar ne skajin jashtem te themelit (shiko fig. e mesiperme).

Sipas normave te vjetra (tensioneve te lejuara), koeficienti i sigurise (F) duhet te jetë  $\geq 1.5$ ; ndersa sipas gjendjes kufitare te fundme, mbi te cilet mbeshtetet EC7, ky koeficient duhet te jetë  $\geq 1.0$ ;

$$F_{s,permbyse} = \frac{M_{stab,O}}{M_{perm,O}} \geq 1.5 - \text{per metoden sipas tensioneve te lejuara (metoda klasike)}$$

ose  $F_{s,permbyse} > 1.0$ , per rastin e gjendjes kufitare te fundme (referuar Ec7 ose NTC 2008), e cila merret per rastet kur kemi efektin e  $-k_v$ .

Nga rezultatet e nxjerra nga programmi per situata me te disfavorshme, referuar EC7 , shihet:

$M_r$	24.43
$M_s$	57.28
$M_s/M_r$	2.345

$M_r$ - momenti permbyses ( $\text{kN}\cdot\text{m}$ )  
 $M_s$ - momenti mbajtes ( $\text{kN}\cdot\text{m}$ )

$F_{s,permbyse} = 2.345, dmth > 1.0$ , Verifikimi rezulton pozitiv!.

### ➤ Kontrolli ne rreshqitje

Kontrolli ne rreshqitje vleresohet sipas faktorit  $F_{s,rreshqitje}$ , i cili merret nga raporti mes veprimit te ngarkesave stabilizuese dhe ngarkesave shtytese.

$$F_{s,rreshqitje} = \frac{H_{rezistuese}}{H_{aktive}} \geq 1.3 - \text{per metoden sipas tensioneve te lejuara (metoda klasike)}$$

ose  $F_{s,rreshqitje} > 1.0$ , per rastin e gjendjes kufitare te fundme (referuar Ec7 ose NTC 2008), e cila merret per rastet kur kemi efektin sizmik.

Nga rezultatet e nxjerra nga programmi per situata me te disfavorshme, referuar EC7 , shihet

**c.scor. 1.099**

$F_s$ , rreshqite (situata statike, pa perfshire 50% Pres.pasiv te themelit))=1.09, dmth >1.0,  
 $F_s$ , rreshqite (situata sizmike + 50% Pres.pasiv te themelit) =1.02, dmth >1.0,

Verifikimi rezulton pozitiv!.

➤ **Llogaritia e sforcimeve ne tabanin e themelit**

Sic shikohet edhe ne figuren e mesiperme ku jepen grafikisht presionet, ne figure paraqiten gjithshtu edhe diagrama e sforcimeve ne taban, e cila rezulton sa meposhte:



$$\sigma_{\max} = 0.1079 \text{ N/mm}^2$$

$$\sigma_{\min} = 0.0 \text{ N/mm}^2$$

➤ **Llogaritia e sasise se armatures**

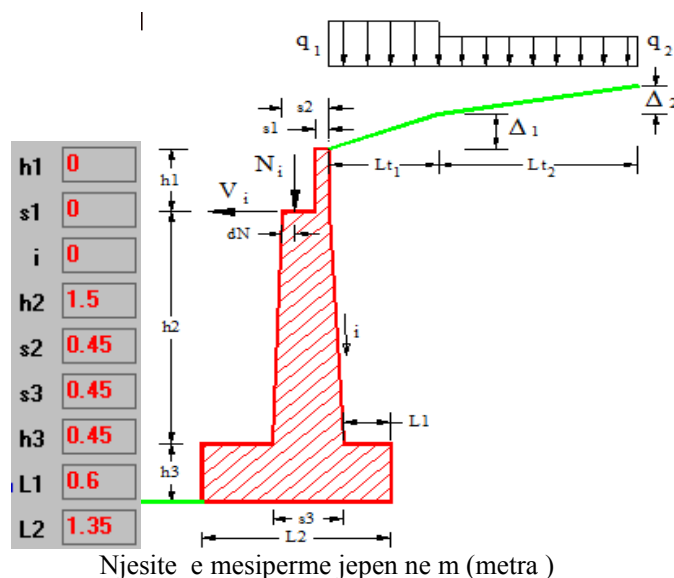
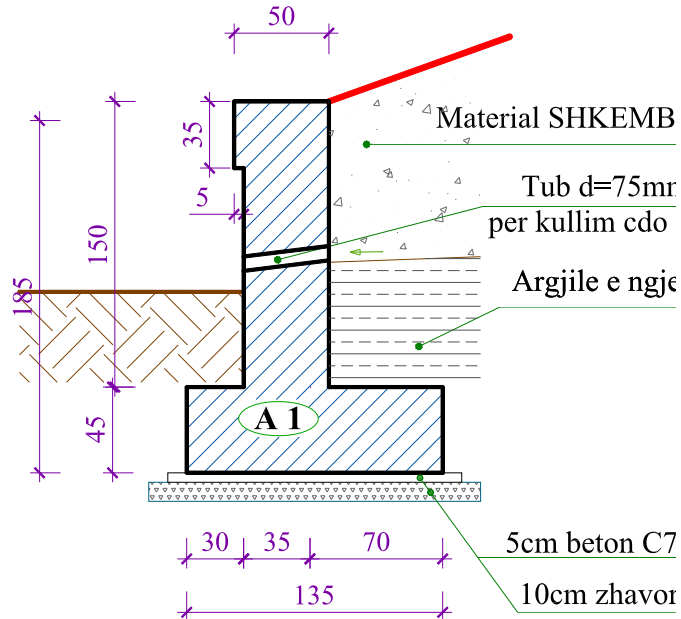
Ne vijim eshte paraqitur ne trajte tabelare llogaritja e sasise se armatures per seksione te caktuara te murit.

Distanza fra le sezioni	0.5	m	$f_yd$	391	$\text{N/mm}^2$	Ricalcola
Copriferro	3	cm	Es/Ec	15		
<b>PARETE (d=distanza sezione da base paraghiaia)</b>						
d [m]	M [kNm]	N [kN]	V [kN]	As [cm <sup>2</sup> ]	sig c [MPa]	tau c [MPa]
2	23.08	33.72	33.00	1.01	3.20	0.09
1.5	10.91	23.81	20.72	0.36	2.27	0.05
1	3.917	14.88	11.15	0.04	1.47	0.03
0.5	0.7347	6.948	4.288	0.00	0.04	0.01
<b>SUOLA A VALLE (d=distanza sezione da filo parete. As positiva per armatura inferiore)</b>						
d [m]	M [kNm]	V [kN]	As [cm <sup>2</sup> ]	sig c [MPa]	tau c [MPa]	
0	4.348	28.99	0.27	1.17	0.08	
<b>SUOLA A MONTE (d=distanza sezione da filo parete. As positiva per armatura superiore)</b>						
d [m]	M [kNm]	V [kN]	As [cm <sup>2</sup> ]	sig c [MPa]	tau c [MPa]	
0	15.47	29.71	0.97	2.26	0.08	
0.5	2.268	15.05	0.14	0.84	0.04	

## MURI PRITES, (b/armë) H=1.5 M

➤ Parametrat gjeometrike te murit

Ne skeden llogaritese, jepen dimensionet e murit per te krijuar gjeometrine e tij.



➤ **Parametrat fizike-mekanike te materialeve**

Jane paraqitur ne vijim karakteristikat e terrenit, duke u mbeshtetur tek normativa referuese.

$\varphi_o$	30
$\delta^o$	20
$\varphi_f^o$	30
$\gamma_t$	18
$\gamma_m$	25

Ku kemi shenuar :

$\varphi_o$  – kendi i ferkimit te brendshem te materialit te mbushjes ( $^0$ )

$\delta^o$  – kendi i ferkimit te materialit me murin ( $^0$ )

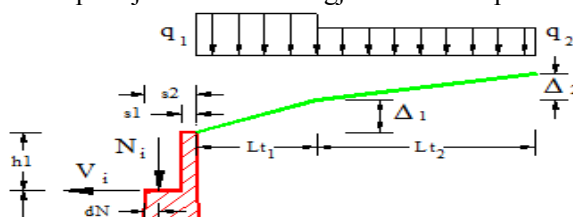
$\varphi_f^o$  – kendi i ferkimit te terrenit ne bazamentin mbeshtetes ( $^0$ )

$\gamma_t$  – pesha volumore e terrenit ( $\text{kN/m}^3$ )

$\gamma_m$  – pesha volumore e materialit ndertimor te murit ( $\text{kN/m}^3$ )

➤ **Ngarkesa mbi mbushje**

Ne skeden llogariteze, te ofrohet mundesi te implementohen ngarkesat mbi pjesen e mbushjes (te shenuara ne skicen baze te mesiperme si  $q_1, q_2$ ). Ne vijim jane paraqitur futja e ngarkesave mbi mbushje si  $q=5\text{kN/m}^2$  edhe pse kjo e fundit mund gjendet brenda prizmit te ndikimit.



	Lungh.	Dislivello	q
Lato 1	6	1.5	5

➤ **Parametrat sizmike**

Ashtu sic u shtjellua ne paragrafin mbi teorine e llogaritjes se mureve, parametrat dinamike te cilet nevojiten per llogaritjen e mureve jane koeficientet dinamike sipas drejtimeve vertikale dhe horizontale ( $k_v$  dhe  $k_h$ ) te cilat merren ne funksion te parametrave :  $a_{\max}$  - nxitimit maksimal horizontal te sheshit;  $a_g$  - nxitimit maksimal horizontal te sheshit ne terren rigid (kategoria A-shkemb);

$S$  - faktorit te spektrit reagimit elastik;  $\beta_m$  - koeficientit te reduktimit per nxitim maksimal dhe kategorive te tokes.

Sipas “Hartës se ripunuar te nxitimeve maksimale referencë në truall të Tipit A per Republiken e Shqiperise”, sheshi i ndertimit te perfshihet ne zonen me Intensitet Sizmik te shkalles 7.5-8.0 . Kjo do te thote qe nxitimi maksimal horizontal i sheshit dojete  $a_{\max}/g = 0.25$ , i cili i perket zones 2 sipas Eurocode 8. Gjithshtu do pranohet qe faktori i spektrit reagimit elastik qe merr parasysh shtresezimin e terrenit, merret  $S = 1.25$ , per kategori trualli C (shiko tabelen e mesiperme).

➤ **Percaktimi i koeficienteve dinamike per dy drejtimet**

Sipas procedures se dhene mesiper, behet percaktimi i koeficienteve te shtytes aktive dhe pasive per gjendjen ne situata normale (statike) dhe sizmike. Per situata sizmike do llogaritim gjithashtu edhe koeficientet dinamike per drejtimin horizontal dhe vertikal. Meposhte paraqiten vlerat e keture koeficientave te nxjerra nga relacioni i skedes llogaritese automatike.

per $\varepsilon \leq \phi' - \theta$	$k_a = \frac{\sin^2(\psi + \phi' - \theta)}{\cos \theta \cdot \sin^2 \psi \cdot \sin(\psi - \theta - \delta) \left[ 1 + \sqrt{\frac{\sin(\phi' + \delta) \cdot \sin(\phi' - \varepsilon - \theta)}{\sin(\psi - \theta - \delta) \cdot \sin(\psi + \varepsilon)}} \right]^2}$
per $\varepsilon > \phi' - \theta$	$k_a = \frac{\sin^2(\psi + \phi' - \theta)}{\cos \theta \cdot \sin^2 \psi \cdot \sin(\psi - \theta - \delta)}$
$k_p = \frac{\sin^2(\psi + \phi' - \theta)}{\cos \theta \cdot \sin^2 \psi \cdot \sin(\psi + \theta) \left[ 1 - \sqrt{\frac{\sin \phi' \cdot \sin(\phi' + \varepsilon - \theta)}{\sin(\psi + \varepsilon) \cdot \sin(\psi + \theta)}} \right]^2}$	
1. $\theta = \arctan\left(\frac{k_h}{1 \pm k_v}\right)$ 2. $\theta = \arctan\left(\frac{\gamma_{sat}}{\gamma_{sat} - \gamma_w} \frac{k_h}{1 \pm k_v}\right)$ 3. $\theta = \arctan\left(\frac{\gamma_d}{\gamma_{sat} - \gamma_w} \frac{k_h}{1 \pm k_v}\right)$	

massima accelerazione al suolo       $a_g/g = 0.25 \quad (-)$   
 coefficiente stratigrafico       $S = 1.25 \quad (-)$

Koeficientat dinamike per veprime horizontale dhe vertikale rezultojne:

**Dati Sisma** **K<sub>v</sub>** **0.0500** **K<sub>h</sub>** **0.0999**

Ku:  $K_h = \beta_m * a_g * S_s * S_T = 0.31 * 0.25 * 1.25 * 1 = 0.0999$  (referuar parametrave te mesiperme)

$$K_v = 0.5 * K_h = 0.5 * 0.0999 = 0.050$$

Procedohet me tej me percaktimin e presioneve perkatese qe veprojne ne mur sipas koeficientave te percaktuar mesiper.

➤ **Ngarkesat vepruese (presionet) rezultante mbi paretin vertikal te murit**

Sipas shprehjeve te dhena mesiper behet (tek aspektet teorike te llogaritjes se mureve), behet percaktimi i presioneve vepruese nga mbushja e dheut ne situata statike, ne situata sizmike, nga ngarkesa mbi mbushje, etj.

Meposhte jepen resultatet e llogaritjeve te rezultateve te keture presioneve, perfituar nga skeda llogaritese automatike (softwar-i).

Parete	
St	10.26
Sq	5.183
Ss	0
Si	0
M	7.286
N	20.47
V	14.51
?	

Parete	
St	9.329
Sq	3.455
Ss	5.016
Si	3.385
M	10.41
N	23.81
V	20.11
?	

Parete	
St	9.329
Sq	3.455
Ss	3.899
Si	3.385
M	9.970
N	21.74
V	19.06
?	

Te dhenat e mesiperme rezultojne per rastet:

- 1- Situata josizmike (situata statike);
- 2- Situata sizmike me  $k_v > 0$  (situata me e pafavorshme);
- 3- Situata sizmike me  $k_v < 0$  ;

ku:

- St* – Rezultatja e presionit nga mbushja e dheut;  
*Sq* – Rezultatja e presionit nga ngarkesa mbi mbushje;  
*Ss* – Rezultatja e presionit shtese nga veprimet sizmike  
*Si* – Rezultatja e presionit nga forcat inerciale sizmike

➤ **Ngarkesat vepruese (presionet) rezultante mbi themelin e murit**

Ashtu sic u citua tek aspektet teorike te llogaritjes se mureve behet percaktimi i presioneve vepruese nga mbushja e dheut ne situata statike, ne situata sizmike, nga ngarkesa mbi mbushje, etj.

Meposhte jepen rezultatet e llogaritjeve te rezultateve te keture presioneve, perfituar. Vlen te theksohet qe rezultantet e presioneve/ngarkesave te transmetuara ne pjesen e themelit merren per te tre situatat (josizmike, sizmike +kv, sizmike -kv) duke patur parasysh verifikimet perkatese lidhur me permbysjen, rreshqitjen dhe spostimin e murit.

<b>Fondazione</b>					
<b>Ribalamento</b>		<b>Scorrimento</b>		<b>Schiacciamento</b>	
<b>St</b>	20.11	?1	<b>St</b>	18.29	?1
<b>Sq</b>	7.256		<b>Sq</b>	6.289	<b>Sq</b>
<b>Ss</b>	0		<b>Ss</b>	0	<b>Ss</b>
<b>Si</b>	0		<b>Si</b>	0	<b>Si</b>

1- Situata josizmike (situata statike);

<b>Fondazione</b>					
<b>Ribalamento</b>		<b>Scorrimento</b>		<b>Schiacciamento</b>	
<b>St</b>	18.29	?2	<b>St</b>	18.29	?2
<b>Sq</b>	4.837		<b>Sq</b>	4.837	<b>Sq</b>
<b>Ss</b>	9.073		<b>Ss</b>	9.073	<b>Ss</b>
<b>Si</b>	4.902		<b>Si</b>	4.902	<b>Si</b>

2- Situata sizmike me  $k_v > 0$  ;

<b>Fondazione</b>					
<b>Ribalamento</b>		<b>Scorrimento</b>		<b>Schiacciamento</b>	
<b>St</b>	18.29	?3	<b>St</b>	18.29	?3
<b>Sq</b>	4.837		<b>Sq</b>	4.837	<b>Sq</b>
<b>Ss</b>	7.053		<b>Ss</b>	7.053	<b>Ss</b>
<b>Si</b>	4.902		<b>Si</b>	4.902	<b>Si</b>

3- Situata sizmike me  $k_v < 0$ , (situata me e pafavorshme);

ku:

- St* – Rezultatja e presionit nga mbushja e dheut;  
*Sq* – Rezultatja e presionit nga ngarkesa mbi mbushje;  
*Ss* – Rezultatja e presionit shtese nga veprimet sizmike  
*Si* – Rezultatja e presionit nga forcat inerciale

Presioni i mbipresionit dinamik llogaritet nga diferenca midis presionit total sizmik dhe presionit statik te dheut. Shumatorja e presionit total sizmik jepet nga shprehja:

$$S_{s,tot} = \frac{1}{2} \gamma * H^2 * K_a * (1 \pm k_v)$$

ku:  $H$ - lartesia e murit perfshire edhe lartesine e themelit;  $K_a$ - koeficienti i shtyqes aktive;  $k_v$  eshte koeficienti sizmik vertikal, i dhene ne shprehjet e mesiperme.

*Per te marre efektin e vetem presionit dinamik duhet:*

$$S_{sizmike} = S_{s,tot} - S_{statike}, \text{ ku}$$

$S_{statike} = \frac{1}{2} \gamma * H^2 * K_a$  eshte rezultatja e presioni i shtyqes aktive se dheut e cila merret sipas rasteve ne funksion te koeficientit te shtyqes aktive  $K_a$  ne situata josizmike

#### ➤ Shtyja e mbingarkeses mbi mbushje

Shtyja horizontale qe vjen si rezultat i ngarkeses mbi mbushje  $S_q$  (statike dhe dinamike), jepet nga shprehja:

$$S_q = q * H * K_a, \text{ sipas kombinimeve te mesiperme dhe situatave verifikuese,}$$

ku  $q=5kN/m^2$ - ngarkesa mbi prizmin e mbushjes pas murit ;  
 $K_a$ - koeficienti i shtyqes aktive ne situata statike dhe sizmike

#### ➤ Shtyja pasive mbi themel

Ky presion nuk perfshihet ne skeden e mesiperme per shkak te rezervave te sigurise. Gjithsesi vlera e ketij presioni eshte thelbesore gjate verifikimeve per spostim (rreshqitje) te murit. Per rastin e kontrolleve ne permbyse, nuk jep efekte te konsiderueshme dhe ne shumicen e rasteve neglizhohet.

Presioni pasiv dinamik (statik+dinamik) qe kundershton veprimin e presioneve aktive dhe qe vepron ne pjesen e themeleve, jepet nga shprehja:

$$S_{p,tot} = 0.5 * \frac{1}{2} \gamma * D^2 * K_p * (1 \pm k_v)$$

ku:  $D$ - thelllesia e zhytjes se murit perfshire lartesine e themelit dhe dhembin poshte saj (nese ka);  $K_p$ - koeficienti i shtyqes pasive;  $k_v$  eshte koeficienti sizmik vertikal i dhene ne shprehjet e mesiperme.

Behet reduktimi me 50% te efektit per arsyte te kushteve jo te favorshme gjate realizimit te punimeve, rekomanduar kjo nga normativa.

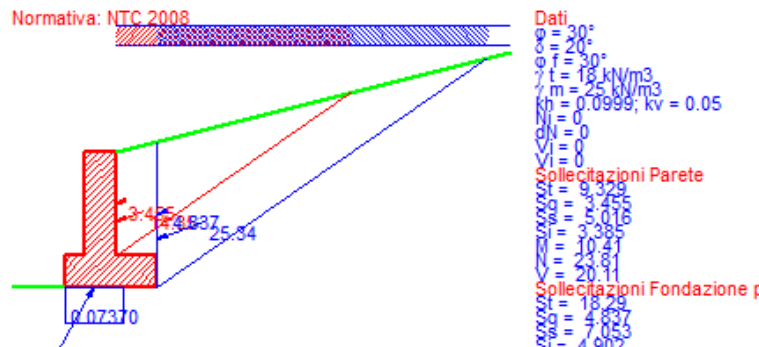
Per te marre efektin e vetem presionit dinamik pasiv, mund te perdoret e njejtta llogjike si ajo e dhene mesiperme

$$S_{p,sizmike} = S_{p,tot} - S_{p,statike}, \text{ ku}$$

$S_{p,statike} = \frac{1}{2} \gamma * D^2 * K_p$  eshte rezultatja e presioni i shtyqes se dheut pasiv, e cila merret sipas rasteve ne funksion te koeficientit te shtyqes pasive  $K_p$  ne situata josizmike

#### ➤ Realizimi i llogaritjes se murit

*Ne vijim eshte paraqitur grafikisht llogaritia e murit, ku perfshin vlerat e presioneve vepruese, pozicionimin i presioneve rezultante, vlerat e sforcimeve ne taban, etj; per situata me te pafavorshme*



### ➤ Kontrolli ne permbyse

Kontrolli ne permbyse vleresohet sipas faktorit  $F_{s,permbyse}$ , i cili merret nga rapporti mes momentit stabilizues dhe momentit permbyses. Keto momente merren perkundrejt pikes "O" te pozicionuar ne skajin jashtem te themelit (shiko fig. e mesiperme).

Sipas normave te vjetra (tensioneve te lejuara), koeficienti i sigurise (F) duhet te jetë  $\geq 1.5$ ; ndersa sipas gjendjes kufitare te fundme, mbi te cilet mbeshtetet EC7, ky koeficient duhet te jetë  $\geq 1.0$ :

$$F_{s,permbyse} = \frac{M_{stab,O}}{M_{permbyse}} \geq 1.5 - \text{per metoden sipas tensioneve te lejuara (metoda klasike)}$$

ose  $F_{s,permbyse} > 1.0$ , per rastin e gjendjes kufitare te fundme (referuar Ec7 ose NTC 2008), e cila merret per rastet kur kemi efektin e  $-k_v$ .

Nga rezultatet e nxjerra nga programmi per situata me te disfavorshme, referuar EC7 , shihet:

M <sub>r</sub>	11.98
M <sub>s</sub>	35.20
M <sub>s</sub> /M <sub>r</sub>	2.939

M<sub>r</sub>- momenti permbyses (kN\*m)  
M<sub>s</sub>- momenti mbajtes (kN\*m)

$F_{s,permbyse} = 2.939$ , dmth > 1.0, Verifikimi rezulton pozitiv!.

### ➤ Kontrolli ne rreshqite

Kontrolli ne rreshqite vleresohet sipas faktorit  $F_{s,rreshqite}$ , i cili merret nga rapporti mes veprimit te ngarkesave stabilizuese dhe ngarkesave shtytese.

$$F_{s,rreshqite} = \frac{H_{rezistuese}}{H_{aktyve}} \geq 1.3 - \text{per metoden sipas tensioneve te lejuara (metoda klasike)}$$

ose  $F_{s,rreshqite} > 1.0$ , per rastin e gjendjes kufitare te fundme (referuar Ec7 ose NTC 2008), e cila merret per rastet kur kemi efektin sizmik.

Nga rezultatet e nxjerra nga programmi per situata me te disfavorshme, referuar EC7 , shihet

c.scor.	1.150
---------	-------

$F_{s,rreshqite}$  (situata statike, pa perfshire 50% Pres.pasiv te themelit))=1.15, dmth > 1.0,  
 $F_{s,rreshqite}$  (situata sizmike + 50% Pres.pasiv te themelit) =1.07, dmth > 1.0,

Verifikimi rezulton pozitiv!.

➤ Llogaritja e sforcimeve ne tabanin e themelit

Sic shikohet edhe ne figuren e mesiperme ku jepen grafikisht presionet, ne figure paraqiten gjithshu edhe diagrama e sforcimeve ne taban, e cila rezulton sa meposhte:



$$\sigma_{\max} = 0.0737 \text{ N/mm}^2$$

$$\sigma_{\min} = 0.0 \text{ N/mm}^2$$

➤ Llogaritja e sasise se armatures

Ne vijim eshte paraqitur ne trajte tabelare llogaritja e sasise se armatures per seksione te caktuara te murit.

Armature e Verifiche						
Distanza fra le sezioni	0.5	m	$f_yd$	391	N/mm <sup>2</sup>	
Copriferro	3	cm	Es/Ec	15		Ricalcola
PARETE (d=distanza sezione da base paraghiaia)						
d [m]	M [kNm]	N [kN]	V [kN]	As [cm <sup>2</sup> ]	sig c [MPa]	tau c [MPa]
1.5	10.41	23.81	20.11	0.33	2.23	0.05
1	3.669	14.88	10.72	0.03	1.44	0.03
0.5	0.6528	6.948	4.046	0.00	0.04	0.01
SUOLA A VALLE (d=distanza sezione da filo parete. As positiva per armatura inferiore)						
d [m]	M [kNm]	V [kN]	As [cm <sup>2</sup> ]	sig c [MPa]	tau c [MPa]	
0	2.810	18.73	0.17	0.93	0.05	
SUOLA A MONTE (d=distanza sezione da filo parete. As positiva per armatura superiore)						
d [m]	M [kNm]	V [kN]	As [cm <sup>2</sup> ]	sig c [MPa]	tau c [MPa]	
0	6.851	16.50	0.42	1.48	0.04	
0.5	0.2040	4.073	0.01	0.25	0.01	

Raporti u pergatit nga:

Ing.Xhevahir Aliu \_\_\_\_\_

Ing.Erenata Fraholli \_\_\_\_\_

**Klodioda shpk**

\_\_\_\_\_  
Ing.Ylli Karapici